

**KONJUGASI MOLEKUL ADHESI PILI *Vibrio cholerae* BM 37,8 kDa
dengan CHOLERAE TOXIN B (CTB) BEREFEK PROTEKTIF
TERHADAP INFEKSI *Shigella flexneri***

THESIS

**Untuk Memenuhi Persyaratan
Memperoleh Gelar Magister**



Oleh :

Elsa Larissa Widyani

166070122011007

PROGRAM STUDI MAGISTER

ILMU BIOMEDIK

FAKULTAS KEDOKTERAN

UNIVERSITAS BRAWIJAYA

MALANG

2019

Assalamualaikum wr. wb.

KATA PENGANTAR

Alhamdulillahirrobbil'alamin. Segala puji hanya bagi Allah SWT atas semua kasih sayang-Nya. Atas semua petunjuk dan hidayah-Nya sehingga penulis dapat menyelesaikan Thesis yang berjudul "Konjugasi Molekul Adhesi Pili *Vibrio cholerae* Berat Molekul 37,8 kDa dengan *Cholerae Toxin B* (CTB) Berefek Protektif terhadap Infeksi *Shigella flexneri*" dengan lancar.

Dalam tesis ini ditunjukkan efek protektif dari Molekul Adhesi Pili *Vibrio cholerae* Berat Molekul 37,8 kDa dengan *Cholerae Toxin B* (CTB) dalam meningkatkan respon imun β -defensin dan menghambat diare. Tesis ini masih jauh dari kesempurnaan, sehingga saran dan kritik yang membangun akan sangat diterima oleh penulis. Selesainya Thesis ini adalah karena adanya dorongan, bantuan, dan motivasi dari berbagai pihak. Untuk itu, penyusun ingin mengucapkan banyak terima kasih kepada :

1. Allah SWT
2. Papa, Mama, dan Adik
3. Prof. Dr. dr. Sumarno, DMM, Sp. MK (K)
4. Dr. dr. Sri Poeranto, M. Kes, Sp. ParK
5. Prof. Dr. dr. Teguh Wahju Sardjono, DTM&H, M.Sc, Sp.ParK
6. dr. Happy Kurnia Permatasari, Ph. D
7. dr. Exgha Dwi Putra Manggala
8. Tim molekul adhesi : dr. Septha Rully D.P., dr. Merika Soraya, dr. Genitri Indraswari, dr. Aisyah Amalia, dr. Adrian Prasetya
9. Mas Yayan sebagai admin S2 biomedik
10. Mas Memet dan Mas Slamet
11. Semua teman-teman dan pihak yang tidak sempat saya sebutkan satu persatu.

Semoga thesis ini bermanfaat bagi yang ingin melakukan pendalaman ilmu dan penelitian di bidang serupa

Malang, 5 Februari 2020

Penulis



IDENTITAS KOMITE PEMBIMBING DAN PENGUJI TESIS

Judul Tesis: Konjugasi Molekul Adhesi Pili *Vibrio cholerae* BM 37,8 kDa dengan *cholerae toxin B* (CTB) Berfek Protektif Terhadap Infeksi *Shigella flexneri*

Nama : Elsa Larissa Widyani

NIM : 166070122011007

PS : Ilmu Biomedik

Komite Pembimbing

Ketua : Dr. dr. Sri Poeranto, M.Kes., Sp.ParK

Anggota : Prof. Dr. dr. Sumarno, DMM, SpMK(K)

Komite Penguji

Penguji 1 : Prof. Dr. dr. Teguh Wahju Sardjono, DTM&H, M.Sc, Sp.ParK

Penguji 2 : dr. Happy Kurnia Permatasari, Ph. D

Komite Monitoring dan Evaluasi

Dr. dr. Endang Sriwahyuni, MS

Tanggal Ujian : 5 Februari 2020

RINGKASAN

Elsa Larissa Widyan, NIM. 166070122011007. Program Studi Magister Ilmu Biomedik Fakultas Kedokteran Universitas Brawijaya Malang, 9 Januari 2020. Konjugasi Molekul Adhesi Pili *Vibrio cholerae* BM 37,8 kDa dengan *Cholerae Toxin B* (CTB) Berefek Protektif terhadap Infeksi *Shigella flexneri*. Pembimbing : (1) Dr. dr. Sri Poeranto, M. Kes, Sp. ParK, (2) Prof. Dr. dr. Sumarno, DMM, Sp. MK (K).

Diare adalah penyakit endemis di Indonesia yang memiliki angka prevalensi sebesar 8% pada Rikesdas 2018. Penyebab terbanyak diare adalah *Vibrio cholerae* dan *Shigella flexneri* sehingga dibutuhkan intervensi yang dapat menurunkan penyakit shigella dan kolera berupa vaksinasi. Vaksinasi yang telah ada hanya memberikan efek proteksi sebesar 2% pada anak usia <5 tahun terhadap kolera saja. Vaksin yang ada untuk mengatasi kolera dan shigella belum ada. Diketahui bahwa vaksin molekul adhesi *Vibrio cholerae* pada subunit pili dengan berat molekul 37,8 kDa yang dikonjugasikan dengan *cholerae toxin subunit B* (CTB) dapat menghambat proses *attachment* dan diare pada kolera. Molekul adhesi memiliki sifat yaitu saling bereaksi silang. Terdapat informasi bahwa terjadi reaksi silang antigenik antara molekul adhesi *Vibrio cholerae* dan *Shigella flexneri*. Sehingga dibuatlah penelitian untuk mengevaluasi apakah vaksinasi konjugasi molekul adhesi pili *Vibrio cholerae* BM 37,8 kDa dengan CTB dapat memberikan efek protektif terhadap infeksi *Shigella flexneri*. Penelitian dilakukan secara *in vivo* pada mencit balb/c yang diberikan vaksinasi oral dengan dosis 250 μ g pada hari ke-7, 14, 21, dan 28. Selanjutnya mencit dibedah dan *scrapping* mukosa ususnya untuk dilakukan pengukuran kadar protein β -defensin menggunakan metode ELISA. Didapatkan hasil kadar β -defensin meningkat secara signifikan pada mencit yang divaksinasi. Penelitian dilanjutkan dengan mengevaluasi progresifitas diare menggunakan metode *mice ligated ileal loop* (MIL) secara *ex vivo* untuk selanjutnya dilakukan pengukuran massa usus. Didapatkan hasil bahwa mencit yang tidak divaksinasi namun diinfeksikan oleh *Shigella flexneri* atau *Vibrio cholerae*, terdapat peningkatan massa usus hingga menit ke-60 tanpa ada penurunan massa usus. Sedangkan mencit yang divaksinasi lalu diinfeksikan dengan *Shigella flexneri* atau *Vibrio cholerae*, massa usus meningkat namun dengan cepat kembali turun ke massa awal. Hasil ini menunjukkan adanya hambatan progresifitas diare selama infeksi *Vibrio cholerae* dan *Shigella flexneri*. Kesimpulannya, vaksinasi molekul adhesi *Vibrio cholerae* pada subunit pili dengan berat molekul 37,8 kDa yang dikonjugasikan dengan CTB memberikan efek protektif terhadap infeksi *Vibrio cholerae* dan *Shigella flexneri*.

SUMMARY

Elsa Larissa Widyan, NIM. 166070122011007. Magister of Biomedical Science Faculty of Medicine University of Brawijaya, Malang, Indonesia 9th January 2020. Conjugation of Adhesion Molecule of Pili Subunit *Vibrio cholerae* MW 37,8 kDa with *Cholerae Toxin B* (CTB) Has Protective Effect against *Shigella flexneri*'s infection. Supervisors : (1) Dr. dr. Sri Poeranto, M. Kes, Sp. ParK, (2) Prof. Dr. dr. Sumarno, DMM, Sp. MK (K).

Diarrhea is an endemic disease in Indonesia which has prevalence 8% in Rikesdas 2018. The most common causes of diarrhea is *Vibrio cholerae* and *Shigella flexneri*, which needs intervention in the form of vaccination. Existing vaccination only provides 2% protective effect against cholerae in children <5 years old. There is no vaccine available to treat both cholerae and shigellae. It is known that the *Vibrio cholerae*'s adhesion molecule in pili subunit with molecular weight of 37.8 kDa conjugated with cholerae toxin subunit B (CTB) can inhibit the process of attachment and diarrhea in cholera. Adhesion molecules have the property of cross-reacting with each other. There is information that antigenic cross-reactivity occurs between the adhesion molecule of *Vibrio cholerae* and *Shigella flexneri*. So this study was conducted to evaluate whether the conjugated vaccine of *Vibrio cholerae*'s adhesion molecule MW 37.8 kDa with CTB can have a protective effect against *Shigella flexneri*'s infection. The study was conducted *in vivo* on balb/c mice given vaccination orally 250 µg on day 7, 14, 21, and 28. Furthermore, mice were sacrificed and their intestinal mucosa was scrapped for measurement of β-defensin protein levels using the ELISA method. The results showed that β-defensin levels increased significantly in vaccinated mice. The study was continued by evaluating the progression of diarrhea using the mice ligated ileal loop (MLIL) method *ex vivo* for subsequent measurement of intestinal mass. The results showed that mice that were not vaccinated but were infected with *Shigella flexneri* or *Vibrio cholerae*, had an increase in intestinal mass up to the 60th minute without further decrease in intestinal mass. Whereas the vaccinated mice that were infected with *Shigella flexneri* or *Vibrio cholerae*, the intestinal mass increased but quickly returned to the initial mass. These results indicate the inhibition of diarrhea's progression during infection of *Vibrio cholerae* and *Shigella flexneri*. In conclusion, vaccination of *Vibrio cholerae*'s adhesion molecule in pili subunit with molecular weight 37.8 kDa conjugated with CTB has a protective effect against infections of *Vibrio cholerae* and *Shigella flexneri*.



DAFTAR ISI

Halaman Judul	i
Kata Pengantar	iv
Identitas Komite Pembimbing dan Pengaji Tesis	v
Ringkasan	vi
Summary	vii
Daftar Isi	viii
Daftar Gambar	xii
Daftar Tabel	xiii
Daftar Lampiran	xiv
Daftar Singkatan	xv
BAB I. PENDAHULUAN	1
1.1. Latar Belakang	1
1.2. Rumusan Masalah	6
1.3. Tujuan Penelitian	6
1.4. Manfaat Penelitian	6
BAB II. TINJAUAN PUSTAKA	8
2.1. Diare	8
2.1.1. Definisi Diare	8
2.1.2. Epidemiologi Diare	9
2.1.3. Etiologi Diare	11
2.1.4. Patogenesis Diare	11
2.1.5. Tanda dan Gejala Diare	13
2.1.6. Diagnosis Diare	14
2.1.7. Tatalaksana Diare secara Umum	14
2.1.8. Tatalaksana Diare yang Berkaitan dengan Dehidrasi	15
2.1.9. Pencegahan Diare secara Umum	18
2.2. Penyakit Kolera	19
2.2.1. Definisi dan Epidemiologi Kolera	19
2.2.2. Etiologi Penyakit Kolera	21
2.2.3. Patogenesis Kolera	23
2.2.4. Tanda dan Gejala Kolera	26



2.2.5.	Diagnosis Kolera	26
2.2.6.	Tatalaksana Kolera	27
2.2.7.	Perkembangan Vaksin Kolera	28
2.3.	Shigellosis	32
2.3.1.	Definisi dan Epidemiologi Shigellosis	32
2.3.2.	Etiologi Shigellosis	34
2.3.3.	Patogenesis Shigellosis	36
2.3.4.	Tanda dan Gejala Shigellosis	38
2.3.5.	Diagnosis Shigellosis	38
2.3.6.	Tatalaksana Shigellosis	39
2.3.7.	Perkembangan Vaksin Shigella	41
2.4.	Molekul Adhesi	43
2.4.1.	Definisi Molekul Adhesi	43
2.4.2.	Peran Molekul Adhesi dalam Menginduksi Respon Imun	44
2.4.3.	Reaksi Silang antar Molekul Adhesi	45
2.5.	Cholerae toxin subunit B (CTB)	47
2.5.1.	Definisi CTB	47
2.5.2.	Peran CTB dalam Menginduksi Respon Imun	48
2.5.3.	Peran CTB sebagai Adjuvan	48
2.6.	Defensin	49
2.6.1.	Definisi Defensin	49
2.6.2.	Struktur Defensin	50
2.6.3.	Tempat Diproduksinya Defensin	52
2.6.4.	Saat Diproduksinya Defensin	52
2.6.5.	Cara Kerja Defensin dalam Membunuh Bakteri	53
2.7.	Ligated Ileal Loop	55
2.7.1.	Definisi <i>Ligated Ileal Loop</i>	55
2.7.2.	Metode <i>Ligated Ileal Loop</i> dengan <i>Vibrio cholerae</i>	55
2.7.3.	<i>Mice Ligated Ileal Loop</i> oleh Sumarno et. al.	57
2.8.	Kerangka Teori dan Deskripsi Kerangka Teori	58
2.8.1.	Kerangka Teori	58
2.8.2.	Deskripsi Kerangka Teori	59
BAB III. KERANGKA KONSEP DAN HIPOTESIS PENELITIAN	60
3.1.	Kerangka <i>Grand Desain</i> Penelitian Besar	60
3.2.	Kerangka Konsep Desain Penelitian secara Khusus	61
3.3.	Deskripsi Kerangka Konsep	62



3.4. Hipotesis.....64

BAB IV. METODE PENELITIAN.....65

4.1. Rancangan Penelitian.....65

4.2. Populasi dan Jumlah Sampel66

4.3. Lokasi dan Waktu Penelitian67

4.4. Variabel Penelitian.....67

4.4.1. Variabel Bebas.....67

4.4.2. Variabel Terikat.....68

4.5. Definisi Operasional.....68

4.5.1. Mencit balb/c

4.5.2. Bakteri *Vibrio cholerae* O1

4.5.3. Bakteri *Shigella flexneri*

4.5.4. Vaksin Konjugasi.....68

4.5.5. Protein adhesi pili 37,8 kDa

4.5.6. CTB

4.5.7. Vaksinasi protein adhesi konjugasi CTB

4.5.8. B-defensin

4.5.9. Massa usus

4.5.10. Metode MLIL

4.6. Alat dan Bahan Penelitian.....71

4.6.1. Perawatan Hewan Coba

4.6.2. Kultur *Shigella flexneri*

4.6.3. Kultur *Vibrio cholerae*

4.6.4. Isolasi Protein Pili *Vibrio cholerae*

4.6.5. SDS PAGE

4.6.6. Elektroelusi dan Dialisis

4.6.7. Konjugasi Vaksin dan Pemberian Vaksinasi

4.6.8. Pembedahan Mencit dan MLIL.....73

4.6.9. Pengukuran β -defensin dengan Metode ELISA.....73

4.6.10. Pengukuran Massa Usus

4.7. Prosedur Penelitian.....74

4.7.1. Perawatan Hewan Coba

4.7.2. Kultur *Shigella flexneri*

4.7.3. Kultur *Vibrio cholerae*

4.7.4. Isolasi Pili *Vibrio cholerae*

4.7.5. SDS-PAGE

4.7.6. Elektroelusi dan Dialisis



4.7.7.	Konjugasi Vaksin dan Pemberian Vaksin.....	80
4.7.8.	Pembedahan Mencit.....	81
4.7.9.	Pengukuran Kadar β -defensin (ELISA)	82
4.7.10.	MLIL dan Pengukuran Massa Usus	84
4.8.	Alur Penelitian	85
4.8.1.	Alur Penelitian Parameter β -defensin	85
4.8.2.	Alur Penelitian Parameter Massa Usus	86
4.8.3.	Deskripsi Alur Penelitian	87
4.9.	Analisis Data	88
BAB V. HASIL PENELITIAN DAN ANALISIS DATA.....		90
5.1.	Hasil Penelitian	90
5.1.1.	Hasil Identifikasi Pili Vibrio cholerae dengan Menggunakan SDS-PAGE	90
5.1.2.	Hasil Pengukuran Kadar β -defensin pada Mukosa Usus Mencit.....	91
5.1.3.	Hasil Pengukuran Berat Usus Mencit menggunakan Metode MLIL	92
5.2.	Hasil Analisis Data	95
5.2.1.	Hasil Analisis Data Kadar β -defensin	95
5.2.2.	Hasil Analisis Data Massa Usus	95
BAB VI. PEMBAHASAN		98
6.1.	Pemberian Vaksinasi Meningkatkan Kadar β -defensin	98
6.2.	Pemberian Vaksinasi Menurunkan Massa Usus Mencit	100
BAB VII. KESIMPULAN DAN SARAN		102
7.1.	Kesimpulan.....	102
7.2.	Saran.....	102
DAFTAR PUSTAKA		103
LAMPIRAN		118

**DAFTAR GAMBAR**

2.1. Rencana Terapi C Diare Dehidrasi Berat.....	17
2.2. Rencana Terapi B Diare Dehidrasi Ringan-Sedang.....	17
2.3. Rencana Terapi A Diare Tanpa Dehidrasi	18
2.4. Hasil pewarnaan gram pada <i>Vibrio cholerae</i>	21
2.5. Koloni <i>Vibrio cholerae</i> yang terbentuk pada media agar TCBS.....	22
2.6. Patogenesis dari infeksi <i>Vibrio cholerae</i> pada enterosit.....	25
2.7. Struktur antigenik <i>Enterobacteriaceae</i> secara umum.....	35
2.8. Spesies <i>Shigelle</i> pada media kultur	39
2.9. Struktur <i>crystalography</i> dari <i>cholera toxin</i> (CT).....	47
2.10. Struktur dari <i>defensin</i>	50
2.11. Ekspresi peptida antimikroba <i>defensin</i> pada tubuh	51
2.12. Peningkatan massa usus yang dilakukan induksi toksin <i>Vibrio cholerae</i> dengan metode MLIL	57
2.13. Bagan Kerangka Teori.....	58
3.1. Bagan Kerangka Konsep <i>Grand Design</i> Penelitian	60
3.2. Bagan Kerangka Konsep <i>Grand Design</i>	61
4.1. Bagan Alur Penelitian Parameter β - <i>defensin</i>	85
4.2. Bagan Alur Penelitian Parameter Massa Usus	86
5.1. Hasil SDS PAGE protein pili <i>Vibrio cholerae</i>	90
5.2. Diagram kolom rerata kadar β - <i>defensin</i> pada kelompok kontrol dan kelompok yang divaksinasi	91
5.3. Temuan makroskopik metode MLIL.....	92
5.4. Grafik rerata keseluruhan hasil penimbangan massa usus	93
5.5. Grafik perbedaan hasil analisis <i>Tukey</i>	94



DAFTAR TABEL

2.1. Tabel Insidens dan Mortalitas akibat diare pada anak usia 0-4 tahun di daerah yang dinaungi WHO tahun 2010.....	10
2.2. Tabel Diagnosis Diare	14
2.3. Tabel Klasifikasi Diare berdasarkan Derajat Dehidrasi	16
2.4. Tabel efek vaksinasi <i>whole cell-cholerae toxin B</i> (WC-CTB) dan <i>whole cell</i> (WC).	29
2.5. Tabel Perbedaan keempat tipe <i>Shigella sp.</i> dalam sifat memfermentasi manitol dan <i>ornithine decarboxylase</i>	36
2.6. Reaksi <i>Ileal Loop</i> Hewan Coba terhadap <i>Vibrio cholerae 569B</i>	56
2.7. Reaksi <i>Ileal Loop</i> Hewan Coba terhadap crude toxin <i>Vibrio cholerae</i>	56
4.1. Tabel jumlah sampel tiap perlakuan.	67
5.2. Tabel Rerata Massa Usus Mencit	93

DAFTAR LAMPIRAN

Lampiran 1. Lembar Keterangan Kelalikan Etik	118
Lampiran 2. Surat Keterangan Bebas Plagiasi	119
Lampiran 3. Hasil Uji Statistik Parameter β -defensin	120
Lampiran 4. Statistik Parameter Massa Usus	121
Lampiran 5. Dokumentasi	128
Lampiran 6. Hasil Uji Nanodrop dan rerata beta defensin	131
Lampiran 7. <i>Letter of Submission</i>	132
Riwayat Hidup	133

DAFTAR SINGKATAN

CDC	: <i>Centers of Disease Control and Prevention</i>
CTA	: <i>Cholerae Toxin Sub-unit A</i>
CTB	: <i>Cholerae Toxin Subunit B</i>
WC-rBS	: <i>Whole cell – recombinant cholerae toxin B subunit</i>
UNICEF	: <i>The United Nations Children's Fund</i>
WHO	: <i>World Health Organization</i>
Oag	: <i>O antigen</i>
LPS	: <i>Lipopolisakarida / Lipopolysaccharide</i>
GM1	: <i>monosialotetrahexosylganglioside</i>
c-AMP	: <i>cyclic adenosine monophosphate</i>
kDa	: <i>kilo dalton</i>
s-IgA	: <i>secretory Immunoglobulin A</i>
IgA	: <i>Immunoglobulin A</i>
OMP	: <i>Outer Membrane Protein</i>
IL-17	: <i>Interleukin-17</i>
Th17	: <i>T helper 17</i>
Treg	: <i>T regulatory</i>
balb/c	: <i>B albino clone</i>
Rikesdas	: <i>Riset Kesehatan Dasar</i>
TCBS	: <i>Thiosulfate Citrate Bile Salts Sucrose</i>
BM	: <i>Berat Molekul</i>
Gs	: <i>G stimulatory</i>
AC	: <i>Adenylat cyclase</i>
WC-CTB	: <i>Whole cell – cholera toxin subunit B</i>
WC	: <i>Whole cell</i>



LT-ETEC	: <i>heat-labile toxin enterotoxigenic Escherichia coli</i>
ETEC	: <i>enterotoxigenic Escherichia coli</i>
IHME	: <i>Institute for Health Metrics and Evaluation</i>
EMB	: <i>Eosin methylene blue</i>
HE	: <i>Hektoen enteric</i>
TSI	: <i>Triple Sugar Iron</i>
IV	: <i>Intravena</i>
hBD	: <i>human beta defensin</i>
HD	: <i>human alfa defensin</i>
mRNA	: <i>messanger ribonucleic acid</i>
MLIL	: <i>mice ligated ileal loop</i>
EGTA	: <i>ethylene glycol-bis(β-aminoethyl ether)-N,N,N',N'-tetraacetic acid</i>
TCG	: <i>Thioproline Carbonate Glutamate</i>
PBS	: <i>Phosphate buffered saline</i>
FKUB	: Fakultas Kedokteran Universitas Brawijaya
SDS-PAGE	: <i>sodium dodecyl(lauryl) sulfate-polyacrylamide gel electrophoresis</i>
ELISA	: <i>enzyme-linked immunosorbent assay</i>
CFU	: <i>colony forming unit</i>
RPMI	: <i>Roswell Park Memorial Institute</i>
SPSS	: <i>Statistical Package for Social Sciences</i>
OD	: <i>optical density</i>
TCA	: <i>Trichloroacetic acid</i>

1.1. Latar Belakang

Diare adalah kondisi saat tinja atau feses menjadi lembek atau cair yang terjadi setidaknya tiga kali per hari, atau lebih sebagai akibat dari infeksi gastrointestinal yang disebabkan oleh pathogen berupa bakteri, virus, atau parasit (UNICEF, 2009). Di dunia, setiap tahunnya diare menyumbang angka mortalitas sebesar 525.000 jiwa pada populasi anak di bawah lima tahun (WHO, 2017). Diare yang disebabkan oleh *Vibrio cholerae* menyebabkan 21.000-143.000 kematian per tahun (WHO, 2019) dan yang disebabkan oleh *Shigella flexneri* menyebabkan 600.000 kematian per tahun (CDC, 2019).

Studi surveilans di Indonesia pada tahun 2002 menjelaskan bahwa dari 587 pasien yang terkena diare, 39% disebabkan oleh *Shigella flexneri* dan 17% disebabkan oleh *Vibrio cholerae*, dan sisanya disebabkan oleh patogen lainnya (Oyofo *et al.*, 2002). Diare merupakan penyakit endemis di Indonesia yang menyebabkan kematian nomor tiga pada anak dan dewasa dengan prevalensi sebesar 9% serta merupakan penyebab kematian nomor satu bagi bayi usia 29 hari-11 bulan dan 12-59 bulan (Rikesdas, 2007). Puspandari *et al.*, (2010) menyatakan bahwa pada periode Mei-Agustus 2008 terdapat kejadian luar biasa penyakit kolera dan shigella yang menyebabkan 105 orang meninggal di Nabire dan Paniai. Data terbaru dari Rikesdas (2018) juga menunjukkan bahwa dari seluruh penyakit infeksi, prevalensi diare di Indonesia mencapai angka 8%, 18,5% terjadi di antaranya terjadi pada bayi.

Melihat besarnya angka kejadian diare, pemerintah telah melakukan

upaya untuk mengendalikan diare di Indonesia berupa upaya preventif dan

kuratif. Upaya kuratif dikenal dengan LINTAS DIARE (Lima Langkah Tuntaskan

Diare) yang telah tersusun di Bulein Diare tahun 2011. LINTAS DIARE terdiri dari

pemberian oralit, zinc, ASI/makanan, antibiotika selektif (jika dibutuhkan), dan

nasehat (komunikasi informasi edukasi/KIE untuk kembali bila diare semakin

parah). Upaya kuratif ini sudah dilaksanakan dengan baik oleh tenaga kesehatan

di seluruh Indonesia, namun upaya preventif masih belum maksimal. Hal ini

terlihat dari masih buruknya tingkat sanitasi di Indonesia yang mana Indonesia

menempati peringkat ke-3 negara yang memiliki sanitasi terburuk setelah

Tiongkok dan India (WHO & UNICEF, 2015). Tingkat prevalensi diare pada

Rikesdas tahun 2018 juga masih tinggi dengan penurunan prevalensi hanya

sebesar 1% dibandingkan dengan data dari 11 tahun yang lalu pada Rikesdas

tahun 2007. Dari informasi tersebut, diperlukan upaya preventif lain untuk

mencegah terjadinya infeksi yang menyebabkan diare. Mengingat tingginya

angka kejadian yang disebabkan oleh *Shigella flexneri* dan kejadian luar biasa

yang disebabkan *Vibrio cholerae* sangat penting untuk di kemudian hari

dikembangkan adanya vaksinasi yang dapat mengeradikasi *Shigella flexneri* dan

Vibrio cholerae.

Terdapat beberapa vaksinasi berlisensi untuk kolera namun vaksinasi

yang ada mengandung *whole cell* sehingga dapat menyebabkan demam dan

rewel pada anak. Vaksinasi untuk shigella saat ini belum tersedia. Vaksinasi

untuk penyakit kolera, yang berkembang saat ini di seluruh dunia yang terkenal

adalah Sanchol dan Dukoral. Sanchol merupakan vaksinasi yang berisi

inactivated whole cell bivalen yang mengandung *Vibrio cholerae* serotipe O1 dan

O139 (dengan dosis vaksinasi dua kali dengan jarak vaksinasi antara vaksinasi

pertama dan kedua adalah 14 hari (Akter et al., 2019)). Dukoral merupakan

vaksinasi yang berisi *inactivated whole cell* yang dikonjugasikan dengan *cholerae*

toxin subunit B rekombinan atau *whole cell recombinant B subunit toxin* (WC-

rBS) dan merupakan vaksinasi pilihan utama yang digunakan di negara endemis

kolera seperti Bangladesh dan Haiti (Akter et al., 2019). Kedua vaksin tersebut

memiliki efektivitas yang cukup baik bagi anak >2 tahun dan dewasa. Namun

dikarenakan kedua vaksin ini menggunakan *whole cell* maka kedua vaksin ini

menghasilkan reaksi lokal yang signifikan di tempat injeksi serta dapat

menyebabkan demam tinggi (Akter et al., 2019). Selain itu, dibuat vaksin WC-rBS

yang dikombinasikan dengan CVD 103HgR yang dikenal dengan Vaxchora. CVD

103 HgR yang terkandung dalam vaksin tersebut merupakan *Vibrio cholerae*

dengan penghapusan gen *cholerae toxin subunit A* sebesar 93%. Vaksin ini

pernah diterapkan penggunaannya di Jakarta, namun hasilnya masih kurang

memuaskan (Sumarno et al., 2011; Ryan & Calderwood, 2000). Dalam

perkembangan vaksin untuk Shigellosis, meskipun telah dilakukan penelitian

selama 60 tahun, hingga saat ini belum ditemukan vaksin berlisensi untuk

shigellosis (Ashkenazi & Cohen, 2013; Kim et al., 2018). Hal ini dikarenakan

Shigella sp. memiliki struktur dari O-antigen (Oag) yang berbeda-beda sehingga

sulit mengembangkan vaksin dengan LPS (lipopolisakarida) sebagai target

spesifik (Kim et al., 2018).

Selain vaksinasi usaha berupa pemberian CTB, yang imunogenik, telah

diteliti dan telah terbukti secara kuat menginduksi respon imun (Tokuhara et al.,

2010). CTB merupakan protein yang berfungsi untuk mengikat *ganglioside GM1*

pada sel mamalia dengan afinitas yang tinggi. Ditemukan bahwa dengan

menggabungkan antigen ke CTB dan diberikan via oral, respons imun yang

terjadi jauh lebih kuat (Guo *et al.*, 2012). Adapun penggunaan CTB yang telah

ada saat ini adalah sebagai adjuvan pada vaksin Dukoral dimana CTB yang

digunakan adalah CTB yang diproduksi secara rekombinan (Akter *et al.*, 2019).

Dari rangkuman perkembangan vaksin kolera dan shigella ini, dapat

dinyatakan bahwa diperlukan pengembangan vaksin baru yang lebih efektif di

masa mendatang. Untuk mengembangkan vaksin tersebut, diperlukan

pemahaman yang baik dari patogenesis penyakit kolera dan shigella.

Patogenesis diawali dengan proses *attachment* (perlekatan antara molekul

adhesi pada bakteri dengan reseptor pada enterosit), yang selanjutnya diikuti

dengan proses kolonisasi bakteri, pengeluaran produk metabolismik, lalu terjadilah

diare. Dalam hal ini peneliti melihat potensi untuk mengintervensi pada tahap

awal patogenesis yaitu pada proses *attachment* dengan mengembangkan vaksin

dari molekul adhesi yang merupakan molekul yang penting dalam proses

attachment. Sebelumnya telah dibuktikan bahwa pili *Vibrio cholerae* dengan

berat molekul 37,8 kDa merupakan molekul adhesi dan terkonfirmasi dengan uji

hemagglutinin (Sumarno, 2000, 2003). Pada penelitian oleh Rabbi *et. al.* (2008)

dinyatakan bahwa terdapat reaksi silang antigenik secara serologis pada

komponen permukaan bakteri *Vibrio cholera* O1, *Shigella flexneri* 2a dan

Haemophilus influenzae b. Namun pada penelitian tersebut tidak diketahui

apakah komponen permukaan yang dimaksud adalah *outer membrane protein*

atau pili. Molekul adhesi pada pili *Vibrio cholerae* yang dikonjugasikan dengan

CTB telah terbukti berhasil menginduksi s-IgA pada usus mencit dan

menghambat sekresi cairan akibat infeksi *Vibrio cholerae* (Sumarno *et al.*, 2011).

Dari penelitian Sumarno *et. al.* (2011) dan Rabbi *et. al.* (2008), kemudian

dikembangkan lagi penelitian yang lebih besar dengan tujuan untuk mengetahui

apakah terjadi reaksi silang antara *Vibrio cholerae* dan *Shigella flexneri*. Lanjutan

dari penelitian Sumarno *et. al.* tahun 2011 akan dilakukan pada mencit balb/c

dengan menganalisa sifat hemaglutinin dan anti-hemaglutinin antara molekul

adhesi *Vibrio cholerae* dengan berat molekul 37,8 kDa dan *Shigella flexneri*

dengan berat molekul 49,8 kDa/ Selain itu, dilakukan juga analisa efek dari

kedua molekul adhesi ini dalam kemampuannya untuk menginduksi respon imun.

Adapun parameter yang diukur dalam lanjutan penelitian ini adalah kadar

secretory IgA (s-IgA) pada darah, IL-17 pada darah; Th17; dan Treg pada lien

mencit dan β-defensin pada usus mencit. s-IgA diukur untuk melihat efek respon

imun humoral adaptif terhadap vaksinasi. IL-17, Th-17, dan Treg dianalisa untuk

melihat efek respon imun seluler adaptif terhadap vaksinasi. β-defensin diukur

untuk melihat respon imun innate terhadap vaksinasi. Vaksinasi dilakukan

selama 4 kali yang diberikan setiap minggu selama 28 hari. Selain itu dilakukan

juga analisa efek dari penyilangan pada perlakuan yang mana vaksinasi pili

Vibrio cholerae 37,8 kDa akan diinfeksi dengan *Shigella flexneri*. Dilakukan juga

analisa efek vaksinasi pili *Shigella flexneri* 49,8 kDa akan diinfeksi oleh *Vibrio*

cholerae. Dari penyilangan perlakuan tersebut, dilihat hasilnya dalam

menghambat kolonisasi bakteri dan massa usus. Dari penelitian tersebut, peneliti

tertarik untuk meneliti efek molekul adhesi pili *Vibrio cholerae* BM 37,8 kDa

dalam membangkitkan respon imun humoral berupa β-defensin dan efek

vaksinasi terhadap massa usus mencit balb/c yang diinfeksi *Shigella flexneri*

maupun *Vibrio cholerae* dikarenakan belum ada penelitian mengenai hal

tersebut.

Parameter β -defensin dipilih karena β -defensin adalah molekul yang diproduksi selama infeksi natural akut oleh *Vibrio cholerae* (Borque et. al., 2018) dan merupakan respon imun host yang dominan diproduksi ketika infeksi *Vibrio cholerae* (Destoumieux-Garzón, 2014). Begitu juga dengan massa usus merupakan parameter yang digunakan untuk merepresentasikan akumulasi cairan dari hewan coba yang diinfeksikan dengan suatu bakteri sehingga dapat digunakan untuk mengevaluasi hasil dari pemberian vaksinasi.

1.2. Rumusan Masalah

- 1.2.1. Apakah vaksinasi dengan molekul adhesi pada pili *Vibrio cholerae* dengan berat molekul 37,8 kDa yang dikonjugasikan dengan CTB dapat meningkatkan kadar β -defensin mencit?
- 1.2.2. Apakah vaksinasi dengan molekul adhesi pada pili *Vibrio cholerae* dengan berat molekul 37,8 kDa yang dikonjugasikan dengan CTB dapat menurunkan massa usus (menghambat progresifitas keluarnya cairan) pada mencit yang diinfeksi *Vibrio cholerae* dan *Shigella flexneri*?

1.3. Tujuan Penelitian

- 1.3.1. Membuktikan bahwa vaksinasi dengan molekul adhesi pada pili *Vibrio cholerae* dengan berat molekul 37,8 kDa yang dikonjugasikan dengan CTB dapat meningkatkan kadar β -defensin mencit
- 1.3.2. Membuktikan bahwa vaksinasi dengan molekul adhesi pada pili *Vibrio cholerae* dengan berat molekul 37,8 kDa yang dikonjugasikan dengan CTB dapat menurunkan massa usus (menghambat progresifitas

keluarnya cairan), mencit yang diinfeksi *Vibrio cholerae* dan *Shigella flexneri*

1.4. Manfaat Penelitian

1.4.1. Menambah khasanah tentang molekul adhesi pili *Vibrio cholerae* dengan

berat molekul 37,8 kDa yang dikonjugasikan dengan CTB dalam peranannya untuk membangkitkan respon imun dan menghambat progresifitas keluarnya cairan pada mencit.

1.4.2. Menambah sudut pandang baru bahwa molekul adhesi pada pili *Vibrio cholerae* dengan berat molekul 37,8 kDa yang dikonjugasikan dengan CTB dapat dijadikan sebagai vaksin yang homolog di masa mendatang.



2.1. Diare

2.1.1. Definisi Diare

Diare secara umum didefinisikan sebagai kondisi keluarnya feses

berwujud cair (tidak normal) yang berhubungan dengan peningkatan frekuensi

buang air besar sebanyak tiga kali atau lebih dalam sehari (Navaneethan &

Giannella, 2014). Sebagian besar pasien lebih mendasarkan istilah diare pada

konsistensi tinja yang cair dibandingkan dengan jumlah frekuensi buang air besar

yang meningkat. Pada diet normal berat feses seharusnya 100-200 gram per hari

dan pada vegetarian (atau diet tinggi serat) berat feses 300 gram per hari masih

termasuk normal (Navaneethan & Giannella, 2014). Apabila berat feses melebihi

kriteria tersebut, maka dapat dikatakan diare. Namun kombinasi antara informasi

frekuensi, konsistensi feses, dan berat feses harus diperhitungkan untuk

menentukan diagnosis diare (Navaneethan & Giannella, 2010, Navaneethan &

Giannella ,2014).

Diare dapat diklasifikasikan lebih lanjut secara klinis sebagai diare akut

bila memiliki durasi kurang dari 2 minggu, persisten jika memiliki durasi 2-4

minggu, dan kronis jika memiliki durasi >4 minggu. Perbedaan ini penting karena

etiology masing-masing diare berbeda dan pendekatan klinis serta intervensi

bervariasi (Navaneethan & Giannella, 2010, 2014).

Diare dapat juga diklasifikasikan sesuai penyebabnya yang terdiri dari

diare osmotik dan diare sekretorik. Diare osmotik adalah diare yang disebabkan

karena malabsorbsi makanan yang dimakan, contohnya pada intoleransi laktosa yang menimbulkan malabsorbsi laktosa sehingga menimbulkan gas, nyeri perut, dan feses yang asam (Marcdante *et al.*, 2014). Diare sekretorik terjadi karena sekresi cairan dan elektrolit oleh enterosit yang disebabkan oleh inflamasi karena mikroorganisme (Marcdante *et al.*, 2014). Sejumlah mikroorganisme dapat menyebabkan diare sekretorik. Salah satu mikroorganisme menyebabkan diare dengan memproduksi enterotoksin yang memengaruhi proses penyerapan atau sekresi enterosit tanpa menyebabkan peradangan akut yang hebat atau kerusakan mukosa. Penyebab mikroba untuk diare yang diinduksi enterotoksin salah satu contohnya adalah *Vibrio cholerae* (Navaneethan & Giannella, 2010; Dowling & Yap, 2014).

2.1.2. Epidemiologi Diare

Jumlah kematian anak-anak diperkirakan oleh WHO sekitar 12 juta per tahun pada tahun 1990, yang turun menjadi sekitar tujuh juta pada per tahun 2011 sementara kematian ibu turun dari sekitar 500.000 pada tahun 1990 menjadi di bawah 300.000 pada tahun 2010. Walker *et al.* melakukan penelitian pada tahun 2013 tentang kejadian diare di negara-negara berpenghasilan rendah dan menengah dan memperkirakan bahwa kejadian diare pada anak telah menurun sangat lambat dari 3,4 episode per tahun pada tahun 1990 menjadi 2,9 episode per tahun pada tahun 2010. Kelompok yang paling rentan adalah bayi berusia antara 6 hingga 11 bulan yang mana bisa menderita hingga 4,5 episode per tahun pada 2010 (Walker *et al.*, 2013). Pada tabel 2.1 terlihat bahwa angka mortalitas akibat diare di Asia Tenggara merupakan yang tertinggi kedua setelah

Afrika. Angka kematian dapat diturunkan terjadi karena berhasilnya penyebaran informasi tatalaksana berupa rehidrasi oral (Dowling & Yap, 2014). Namun

meskipun terdapat penurunan kematian pada diare, diare tetap penting untuk diwaspadai karena dapat terjadi kapan saja.

Tabel 2.1. Tabel Insidens dan Mortalitas akibat diare pada anak usia 0-4 tahun di daerah yang dinaungi WHO tahun 2010. (Walker et al., 2013)

Universitas B	Incidence*	Total deaths ('000)
African region	3.3	353.3
American region	3.2	11.0
Eastern Mediterranean region	2.9	96.6
European region	2.8	6.3
Southeast Asian region	2.4	227.7
Western Pacific region	2.2	16.9
World	2.7	711.8

Diare tetap menjadi salah satu penyebab utama kematian anak di bawah usia lima tahun. Namun tidak menutup kemungkinan bahwa usia dewasa juga terkena diare. Secara global, diperkirakan 1,8 juta jiwa yang meninggal karena penyakit diare setiap tahunnya (untuk semua umur), dengan lebih dari 80% adalah anak-anak di bawah usia lima tahun (Dowling & Yap, 2014). Beban penyakit diare sangat berat pada bayi terutama di negara berkembang, yaitu pada keluarga yang berpenghasilan rendah dan menengah. Kematian akibat diare terjadi sebesar 525.000 kematian setiap tahun pada anak di bawah lima tahun (WHO, 2017).

Di Indonesia, diare merupakan penyebab kematian nomor tiga bagi bayi dan balita dengan prevalensi diare sebesar 9% (Rikesdas, 2007). Dari data tersebut, diare merupakan penyebab kematian nomor satu bagi bayi berusia 29 hari-11 bulan dan bayi berusia 1 tahun-5 tahun. Prevalensi diare pada tahun 2018 mencapai angka 8% dari seluruh penyakit infeksi dengan 18,5% terjadi pada bayi (Rikesdas, 2018).

2.1.3. Etiologi Diare

Semua agent dapat berkontribusi dalam menyebabkan diare baik itu

bakteri, jamur, virus maupun parasit. Patogen penyebab diare tersering di

seluruh dunia diantaranya adalah : *Rotavirus* (40%), *E. coli* (25%),

Campylobacter jejuni (10-18%), dan *Shigella* sp. serta *Salmonella* sp. (5%).

Studi surveilans di Indonesia pada tahun 2002, menjelaskan bahwa dari 587

pasien yang terkena diare, 39% disebabkan oleh *Shigella flexneri* dan 17%

disebabkan oleh *Vibrio cholerae*, dan sisanya disebabkan oleh patogen lainnya

(Oyofo et al., 2002). Di Indonesia pada periode Mei-Agustus 2008 terdapat

kejadian luar biasa penyakit kolera dan shigella yang menyebabkan 105 orang

meninggal di Nabire dan Paniai (Puspandari et al., 2010). Hal ini membuktikan

bahwa diare yang disebabkan oleh kolera dan shigella sangat perlu diwaspadai

serta perlu dieradikasi.

2.1.4. Patogenesis Diare

Semua bakteri yang menyebabkan diare memulai patogenesisisnya

dengan melakukan proses perlekatan (adhesi) yang terjadi antara molekul

adhesi pada permukaan mikroorganisme dan reseptor pada usus. Setelah terjadi

perlekatan, terjadi kolonisasi dari patogen yang dilanjutkan dengan sekresi toksin

atau produksi metabolit dan terjadilah diare (Navaneethan & Giannella, 2014).

Patogenesis penyakit kolera dan shigella dimulai dengan proses

patogenesis yang sama, yaitu dengan proses attachment (perlekatan antara

molekul adhesi pada bakteri dengan reseptor pada enterosit), yang selanjutnya

diikuti dengan proses kolonisasi bakteri. Tahap selanjutnya berbeda antara *Vibrio*

cholerae dan *Shigella flexneri*. *Vibrio cholerae* akan mengeluarkan toksin yang

mengaktifasi adenilat siklase yang menghasilkan *cyclic adenosine monophosphate* (c-AMP). Selanjutnya c-AMP menyebabkan keluarnya natrium, klorida, dan air ke lumen usus. Hal ini menyebabkan diare disertai air sehingga feses akan terlihat seperti air cucian beras (*watery diarrhea* atau *water rice diarrhea*) yang apabila terjadi terus menerus akan menyebabkan dehidrasi dan lebih fatalnya kematian akibat syok hipovolemik (Akingbade, 2018; Zeeshan Zafar & Gulzar, 2016). Tidak seperti patogen yang menginvasi jaringan mukosa usus, *Vibrio cholerae* tidak dominan dalam menimbulkan inflamasi, namun lebih dominan dalam menimbulkan respon imun *innate* seperti laktoferin, defensin, dan oxidase (Bourque *et al.*, 2018). *Shigella flexneri* dari awal sudah menginvasi enterosit, lalu memicu inflamasi dengan akumulasi neutrofil yang menyebabkan kerusakan pada jaringan usus (Perez-Lopez *et al.*, 2016). Dalam hal ini peneliti melihat potensi untuk mengintervensi pada tahap awal patogenesis yaitu pada proses *attachment* dengan mengembangkan vaksin dari molekul adhesi yang merupakan molekul yang penting dalam proses *attachment*.

Selain penyebab suatu mikroorganisme, diare dapat disebabkan oleh intoleransi laktosa, alergi susu sapi atau makanan tertentu, imunodefisiensi, dan terapi obat. Intoleransi laktosa terjadi karena kurangnya enzim laktase pada tubuh (Marcdante *et al.*, 2014). Enzim laktase merupakan enzim yang memecah laktosa menjadi glukosa dan galaktosa. Bila laktosa tidak terpecah, maka laktosa akan dipecah oleh bakteri pada usus halus melalui proses fermentasi. Proses fermentasi yang ada menimbulkan gas yang menyebabkan kembung dan rasa nyeri pada perut (Marcdante *et al.*, 2014). Selain itu penyebab diare lainnya adalah alergi jasusu sapi (ASS) yang terjadi dikarenakan terjadinya hipersensitivitas tipe I yang diperantarai oleh IgE dan hal ini menimbulkan

manifestasi klinis berupa diare (50-60%) (Marcdante *et al.*, 2014). Selanjutnya,

diare karena imunodefisiensi terjadi karena tubuh gagal untuk menjaga

keseimbangan antara supresi dan toleransi ketika terdapat benda asing masuk

ke dalam tubuh. Kegagalan ini menyebabkan inflamasi mukosa dan kerusakan

jaringan gastrointestinal yang ditandai dengan manifestasi diare (Marcdante *et*

al., 2014).

2.1.5. Tanda dan Gejala Diare

Dalam menentukan diagnosis diare, diperlukan anamnesis yang tepat

mengenai tanda dan gejala terjadinya diare. Tanda dan gejala dari diare secara

umum adalah sebagai berikut (ICHRC, 2016).

- Konsistensi tinja lembek atau cair
- sakit perut/ kram perut
- frekuensi BAB >3x dalam sehari
- dapat disertai mual muntah
- dapat disertai dehidrasi
- dapat disertai darah pada feses
- dapat berupa diare berair atau seperti air cucian beras
- pusing, lemas, kulit kering

Pada anak, melakukan anamnesis sangat sulit sehingga perlu diwaspadai

mengenai terjadinya dehidrasi apabila terjadi diare. Berikut adalah tanda dan

gejala dehidrasi pada anak (ICHRC, 2016).

- Rewel atau gelisah

- Letargis/ kesadaran berkurang

- Mata cekung
- Cubitan perut kembali lambat atau sangat lambat
- haus/minum dengan lahap
- Bila dehidrasi berat anak menjadi malas minum.

2.1.6. Diagnosis Diare

Diare secara umum dapat terjadi oleh karena berbagai hal mulai dari infeksi hingga non-infeksi. Berikut adalah tabel mengenai kemungkinan diagnosis diare (ICHRC, 2016).

Tabel. 2.2. Tabel Diagnosis Diare

Tanda dan Gejala	Diagnosis
<ul style="list-style-type: none"> • Diare lebih dari 3 kali sehari berlangsung kurang dari 14 hari • Tidak mengandung darah 	Diare Cair Akut
<ul style="list-style-type: none"> • Diare air cucian beras yang sering dan banyak dan cepat menimbulkan dehidrasi berat, atau <ul style="list-style-type: none"> • Diare dengan dehidrasi berat selama terjadi KLB kolera, atau • Diare dengan hasil kultur tinja positif untuk <i>V. cholerae</i> O1 atau O139 	Kolera
Diare berdarah	Disentri
Diare berlangsung \geq 14 hari	Diare persisten
Diare setelah mendapatkan pengobatan antibiotik oral spektrum luas	Diare terkait antibiotik
<ul style="list-style-type: none"> • Dominan darah dan lendir dalam tinja • Massa intrabdominal • Tangisan keras dan keputihan pada bayi 	Invaginasi

2.1.7. Tata laksana Diare secara Umum

Tatalaksana diare secara umum yang digalakkan oleh Kementerian

Kesehatan Indonesia dikenal dengan LINTAS DIARE (Lima langkah tuntaskan diare). Lima langkah tuntaskan diare terdiri dari (Soepardi, 2011):

- Pemberian oralit untuk mencegah terjadinya dehidrasi. Pemberian dapat dilakukan di rumah dengan memberikan oralit osmolaritas rendah.
- Pemberian zinc untuk mengurangi lama dan tingkat keparahan diare, mengurangi frekuensi buang air besar, mengurangi volume tinja, serta menurunkan kekambuhan kejadian diare pada 3 bulan berikutnya.
- Pemberian ASI (air susu ibu) atau makanan yang bertujuan untuk memberikan gizi pada penderita terutama pada anak agar tetap kuat dan mencegah menurunnya berat badan.
- Pemberian antibiotika yang hanya diberikan pada diare berdarah (*shigellosis*) dan diare karena *Vibrio cholerae*.
- Pemberian nasehat yaitu berupa kontrol segera diare lebih sering, terdapat muntah berulang, kondisi sangat haus, makan/minum semakin malas/sedikit, demam, tinja berdarah, tidak membaik dalam 3 hari.

2.1.8. Tatalaksana Diare yang Berkaitan dengan Dehidrasi

Terjadinya diare sangat erat kaitannya dengan dehidrasi. Semua anak dengan diare harus diklasifikasikan status dehidrasinya apakah mengalami dehidrasi berat, dehidrasi ringan-sedang, atau tanpa dehidrasi. Klasifikasi diare dan tatalaksana diare tersebut terdapat pada tabel 2.3.

Klasifikasi	Tanda dan Gejala	Tatalaksana
Dehidrasi berat	<p>Terdapat dua atau lebih tanda di bawah ini :</p> <ul style="list-style-type: none"> • Letargis/tidak sadar • Mata cekung • Tidak bisa minum atau malas minum • Cubitan kulit perut kembali sangat lambat (≥ 2 detik) 	Beri cairan untuk diare dengan dehidrasi berat (Rencana Terapi C)
Dehidrasi Ringan-Sedang	<p>Terdapat dua atau lebih tanda di bawah ini :</p> <ul style="list-style-type: none"> • Rewel/gelisah • Mata cekung • Minum dengan lahap, haus • Cubitan kulit kembali lambat 	Beri cairan dan makanan untuk dehidrasi ringan sedang (Rencana Terapi B). Kunjungan ulang dalam waktu 5 hari bila tidak membaik.
Tanpa dehidrasi	Tidak terdapat cukup tanda untuk diklasifikasikan sebagai dehidrasi ringan atau berat	Beri cairan dan makanan untuk menangani diare di rumah (Rencana Terapi A. Kunjungan ulang dalam waktu 5 hari bila tidak membaik.)

**Diare dehidrasi Berat****Bila terdapat dua tanda atau lebih**

Lesu, lunglai / tidak sadar

Mata cekung

Malas minum

Cubitam kulit perut / turgor kembali sangat lambat

C

RENCANA TERAPI C
UNTUK TERAPI DIARE DEHIDRASI BERAT DI SARANA KESEHATAN
IKUTI TANDA PANAH.

Jika jawaban

"YA", lanjutkan ke KANAN.

Jika

"TIDAK", lanjutkan ke BAWAH.

Dapatkan Saudara
memberikan cairan Intravena?

TIDAK

- Beri cairan Intravena segera.

Ringer Laktat atau NaCl 0,9% (bila RL tidak tersedia) 100 ml/kg BB, dibagi sebagai berikut:

UMUR	Pemberian I 30ml/kg BB	Kemudian 70ml/kg BB
Bayi < 1 tahun	1 jam*	5 jam
Anak ≥ 1 tahun	30 menit*	2 1/2 jam

* Diluang lagi bila denyut nadi masih lemah atau tidak teraba

* Nilai kembali tiap 15-30 menit. Bila nadi belum teraba, beri tetesan lebih cepat.

* Juga beri oralit (5 ml/kg/jam) bila penderita bisa minum; biasanya setelah 3-4 jam (bayi) atau 1-2 jam (anak).

* Berikan obat Zinc selama 10 hari berturut-turut

Gambar 2.1. Rencana Terapi C Diare Dehidrasi Berat. Pada gambar telah dijelaskan bahwa apabila menemui dua atau lebih dari empat kriteria diare dehidrasi berat maka akan dilakukan rencana terapi C berupa pemberian cairan untuk rehidrasi secara IV sesuai usia serta memberikan oralit dan zinc.

Diare dehidrasi Ringan/ Sedang**Bila terdapat dua tanda atau lebih**

Gelisah, rewel

Mata cekung

Ingin minum terus, ada rasa haus

Cubitam kulit perut / turgor kembali lambat

B

RENCANA TERAPI B
UNTUK TERAPI DIARE DEHIDRASI RINGAN/SEDANG
JUMLAH ORALIT YANG DIBERIKAN DALAM 3 JAM PERTAMA DI SARANA KESEHATAN

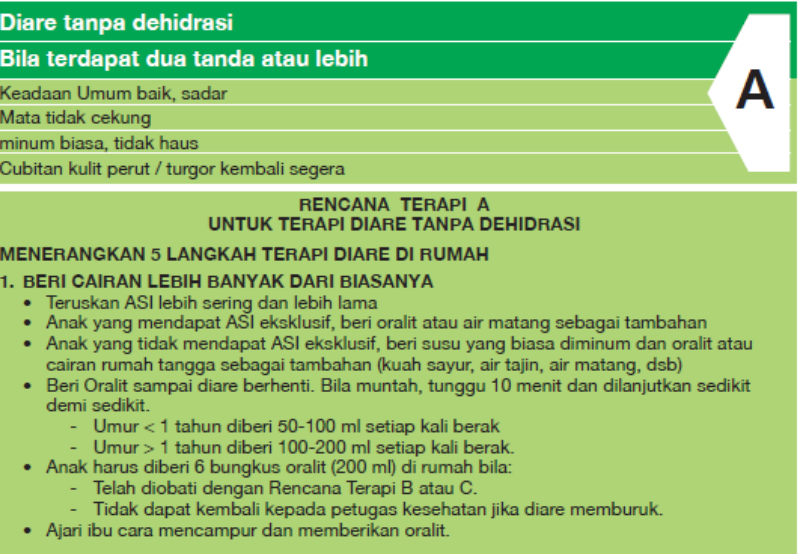
ORALIT yang diberikan =
75 ml x BERAT BADAN anak

- Bila BB tidak diketahui berikan oralit sesuai tabel di bawah ini:

Umur Sampai	4 bulan	4 -12 bulan	12-24 bulan	2-5 tahun
Berat Badan	< 6 kg	6-10 kg	10-12 kg	12-19 kg
Jumlah cairan	200-400	400-700	700-900	900-1400

- Bila anak menginginkan lebih banyak oralit, berikanlah.
- Bujuk ibu untuk meneruskan ASI.
- Untuk bayi < 6 bulan yang tidak mendapat ASI berikan juga 100-200 ml air masak selama masa ini.
- Untuk anak > 6 bulan, tunda pemberian makan selama 3 jam kecuali ASI dan oralit
- Beri obat Zinc selama 10 hari berturut-turut

Gambar 2.2. Rencana Terapi B Diare Dehidrasi Ringan-Sedang. Pada gambar telah dijelaskan bahwa apabila menemui dua atau lebih dari empat kriteria diare dehidrasi ringan maka akan dilakukan rencana terapi B berupa pemberian oralit sesuai dosis di atas, meneruska ASI/makanan, serta memberikan zinc.



Gambar 2.3. Rencana Terapi A Diare Tanpa Dehidrasi. Pada gambar telah dijelaskan bahwa apabila menemui dua atau lebih dari empat kriteria diare tanpa dehidrasi maka akan dilakukan rencana terapi A berupa pemberian cairan, pemberian ASI lebih sering, dan pemberian oralit sesuai usia.

2.1.9. Pencegahan Diare secara Umum

Pencegahan diare secara umum sesuai dengan buletin diare yang dibuat

oleh Kementerian Kesehatan Indonesia pada tahun 2011 dilakukan dengan
(Soepardi, 2011):

- Menghindari makanan dan minuman yang tidak bersih
 - Mencuci tangan dengan air dan sabun sebelum makan dan sesudah buang air besar.
 - Merebus air minum
 - Menggunakan air bersih untuk memasak
 - Buang air besar di jamban
- Selain itu, untuk mencegah terjadinya penyakit yang dapat ditularkan melalui air, maka penyediaan air bersih baik secara kualitas maupun kuantitas

diperlukan untuk memenuhi kebutuhan sehari-hari baik untuk menjaga kebersihan diri sendiri (*hygiene*) maupun kebersihan lingkungan (*sanitation*).

Disamping itu, perilaku hidup bersih dan sehat (PHBS) harus tetap dilaksanakan (Soepardi, 2011).

2.2. Penyakit Kolera

2.2.1. Definisi dan Epidemiologi Kolera

Definisi dari kolera adalah penyakit yang ditandai dengan diare berair yang disebabkan oleh *Vibrio cholerae*. merupakan penyakit yang endemis di

negara berkembang dengan kepadatan penduduk yang tinggi (Penrose *et al.*, 2010). Kolera endemik di lebih dari 50 negara dan juga dapat bermanifestasi

sebagai epidemi, seperti yang baru-baru ini terjadi di Haiti (2010-sekarang) yang merupakan sebuah negara yang sebelumnya tidak pernah terkena kolera (Leung

et al., 2012; Orata *et al.*, 2014; Piarroux & Faucher, 2012). Epidemi kolera

disebarluaskan terutama oleh air yang terkontaminasi dalam kondisi sanitasi yang buruk, terutama di mana tidak terdapat atau rusaknya pengolahan limbah (Orata

et al., 2014). Bencana alam (mis., banjir, angin musim, dan gempa bumi) juga berperan dalam penyebaran epidemi kolera (Orata *et al.*, 2014). Kolera pandemik

di anak benua India dan Afrika dan selama dua abad terakhir penyebarannya ke luar daerah ke bagian lain di Asia, Indonesia, dan Eropa telah digambarkan

dalam delapan pandemi besar, masing-masing berlangsung selama 5 hingga 25 tahun (Moore *et al.*, 2014). Insiden kolera di dunia dilaporkan meningkat dari

tahun 2007 hingga mencapai puncaknya sekitar 600.000 kasus pada tahun 2011 (Baldauf *et al.*, 2015). Pada tahun 2012, jumlah kasus yang dilaporkan menurun

menjadi sekitar 245.000 dengan 49% dari kasus yang disebabkan oleh wabah

yang sedang berlangsung di Haiti dan Republik Dominika. Namun, WHO

memperkirakan jumlah kejadian secara global sebenarnya dari kolera yaitu

antara 3-5 juta kasus per tahun dengan angka kematian sekitar 100.000 hingga

130.000 kematian per tahunnya (Baldauf *et al.*, 2015). Meskipun penyakit kolera

yang simptomatik dapat terjadi pada semua umur, namun penyakit ini lebih

banyak mengenai anak-anak (Ashkenazi *et al.*, 2016). Berdasarkan data di

laman WHO, diare yang disebabkan oleh *Vibrio cholerae* memiliki angka kejadian

sekitar 1,3 juta hingga 4 juta dan angka kematian adalah sebesar 21.000-

143.000 jiwa per tahun (WHO, 2019).

Adapun strain dominan abad ke-20 adalah biotipe *El Tor*, yang pertama

kali diisolasi dari jemaah haji di perkemahan karantina *El Tor* pada tahun 1905.

Strain ini bertahan sedikit lebih lama di alam dan menghasilkan kasus kolera

subklinis. Pada tahun 1992, kasus kolera pertama karena serotipe selain O1

terdeteksi di India dan Bangladesh. Serotipe baru (O139 Bengal) sangat virulen

dengan kemampuan untuk menghasilkan penyakit pada orang yang telah

terpapar oleh serotipe lama. Perkembangan ini penting untuk mengetahui

persebaran kolera secara global dan untuk membentuk strategi vaksin yang

dirancang untuk mencegah terjadinya kolera (Moore *et al.*, 2014). WHO

mengingatkan perlunya kesadaran akan penyebaran strain resisten antibiotik

Vibrio cholerae. Hal ini telah ditunjukkan dengan *Vibrio cholerae* O139 dan

beberapa isolat dari *Vibrio cholerae* O1 *El Tor*, yang telah resisten terhadap

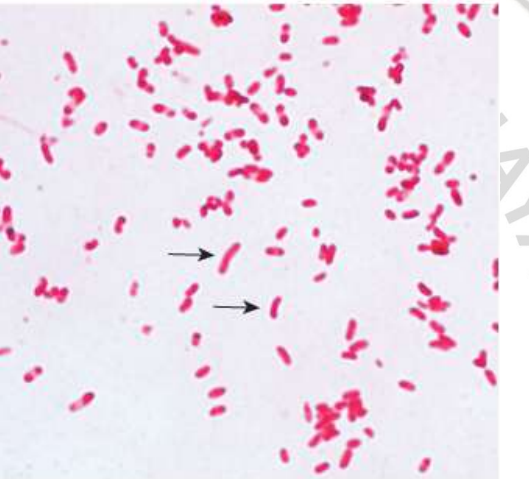
antibiotik kotrimoksazol dan streptomisin (Harris *et al.*, 2012). Hal ini

menunjukkan bahwa kolera merupakan penyakit yang masih muncul dan

memerlukan adanya usaha dalam eradicasi.

2.2. Etiologi Penyakit Kolera

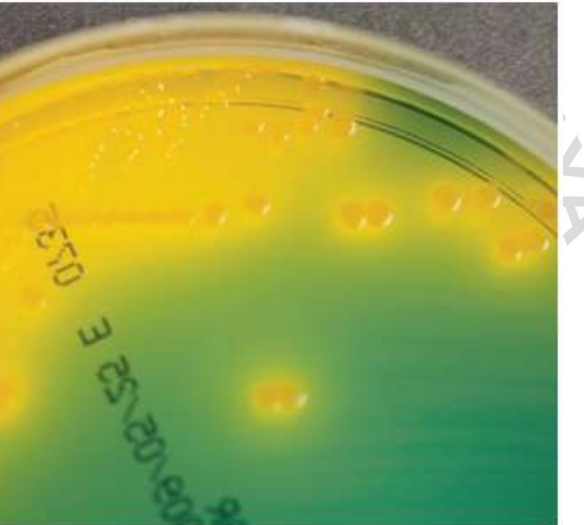
Etiologi dari penyakit kolera adalah *Vibrio cholerae*. *Vibrio cholerae* merupakan pathogen gram negatif akuatik fakultatif yang *straight* anaerob berbentuk koma dengan ukuran 2-4 μm . *Vibrio cholerae* aktif bergerak dengan menggunakan flagellum polar (Ryan & Ray, 2003). *Vibrio* adalah salah satu bakteri paling umum yang terisolasi di perairan laut dan muara seluruh dunia (Riedel et al., 2019).



Gambar 2.4. Hasil pewarnaan gram pada *Vibrio cholerae*. Terlihat bakteri batang yang sedikit bengkok (berbentuk koma) berwarna merah yang menandakan bakteri gram negatif (Riedel et al., 2019).

Vibrio cholerae dapat tumbuh dalam kisaran suhu yang luas (14–40°C) dan semua spesies membutuhkan natrium klorida (NaCl) untuk tumbuh (Riedel et al., 2019). *Vibrio cholerae* menghasilkan koloni dengan permukaan cembung, halus, bulat serta opaque dan granuler. *Vibrio cholerae* tumbuh dengan baik pada suhu 37°C pada media agar rutin (misalnya, agar darah dan agar MacConkey). Agar selektif untuk spesies *Vibrio* yaitu media agar *thiosulfate-citrate-bile salts-sucrose* (TCBS) dan *enrichment broth* (misalnya *alkaline peptone broth*) digunakan terutama apabila spesimen (misalnya tinja) diperoleh

dari spesimen yang mengandung banyak campuran bakteri. *Vibrio cholerae* tumbuh dengan baik pada media TCBS. *Vibrio cholerae* menghasilkan koloni berwarna kuning (yang tandanya memfermentasi sukrosa) pada agar TCBS yang mudah terlihat karena kontras dengan warna hijau-gelap dari agar TCBS. *Vibrio cholerae* tumbuh pada pH yang sangat tinggi (pH 8,5-9,5) dan mudah terbunuh oleh suasana asam. *Vibrio cholerae* memfermentasi sukrosa dan manosa tetapi tidak memfermentasi arabinosa dan positif pada test oksidase. (Riedel et al., 2019).



Gambar. 2.5. Koloni *Vibrio cholerae* yang terbentuk pada media agar TCBS. *Vibrio cholerae* adalah koloni yang berwarna kuning. Koloni memiliki diameter 2-3 mm dan plate berukuran diameter 10 cm. (Riedel et al., 2019).

Struktur antigenik *Vibrio cholerae* terdiri dari H antigen dan O antigen. H antigen terdapat pada flagella, yang labil terhadap suhu panas. *Vibrio cholerae* dan spesies *Vibrio* lainnya saling berbagi H antigen. *Vibrio cholerae* memiliki O lipopolysaccharides yang memberikan spesifikasi secara serologis. Antibodi terhadap antigen O cenderung melindungi hewan coba dari infeksi *Vibrio cholerae*. Berdasarkan antigen O, ada lebih dari 200 serogrup *Vibrio cholerae*.

Namun, hanya *strain Vibrio cholerae* dari serogroup O1 dan O139 yang menyebabkan epidemi dan pandemi kolera. *Strain O139* sendiri sudah jarang ditemukan pada kasus penyakit kolera dan O1 lebih banyak dijumpai. *Strain O1* terbagi dalam tiga serotipe, yaitu Ogawa, Inaba, dan Hikojima (Riedel *et al.*, 2019). *Strain O1* juga terbagi dalam dua biotipe, yaitu *El tor* dan klasik. *El tor* merupakan biotipe penyebab pandemi kolera ketujuh, menggantikan biotipe klasik yang merupakan penyebab pandemi ke-enam sejak tahun 1961 (Leung *et al.*, 2012). Biotipe *El tor* menghasilkan hemolisin yang memberikan hasil positif pada tes *Voges-Proskauer* dan resisten terhadap *Polimyxin B*. Biotipe *El tor* ini mirip dengan *Vibrio cholerae strain O139*. *Vibrio cholerae strain O139* tidak memproduksi lipopolisakarida O1 namun memproduksi kapsul polisakarida. *Vibrio cholerae O1* tidak memproduksi kapsul polisakarida (Riedel *et al.*, 2019).

2.2.3. Patogenesis Kolera

Menelan 5 µg toksin kolera sudah cukup untuk menyebabkan gejala kolera (Levine *et al.*, 1983; Harris, 2018). Dan menelan 10^{10} *Vibrio cholerae* dapat menyebabkan seseorang dengan asiditas lambung yang normal terinfeksi kolera (Riedel *et al.*, 2019). Kolera lebih mungkin menginfeksi pada makanan atau minuman yang terkontaminasi dibandingkan dengan kontak langsung dari orang ke orang (Leung *et al.*, 2012; Riedel *et al.*, 2019). Setelah *Vibrio cholerae* masuk ke dalam tubuh, bakteri lalu berikatan (*attachment*) dengan enterosit. Proses *attachment* merupakan tahap awal yang dilakukan oleh pili *Vibrio cholerae* (Sumarno *et al.*, 2011) *Vibrio cholerae* selanjutnya melakukan penetrasi pada permukaan mukosa usus halus (Millet *et al.*, 2014). Proses selanjutnya adalah proses kolonisasi oleh bakteri. *Vibrio cholerae* lalu menghasilkan enterotoksin yang labil terhadap panas dengan berat molekul (BM) sekitar 84.000 yang terdiri

dari subunit A (BM 28.000) dan subunit B (CTB). CTB berikatan dengan reseptor

ganglioside GM1 yang terdapat pada permukaan mukosa usus yang

memfasilitasi masuknya toksin sub-unit A. Aktivasi dari sub-unit A akan

mengaktifkan protein regulator Gs (*G stimulatory*) yang merubah adenilat siklase

yang inaktiv menjadi aktiv. Enzim adenilat siklase menyebabkan *adenosine*

triphosphate (ATP) menjadi *cyclic AMP* (c-AMP). Meningkatnya c-AMP

intraseluler akan menyebabkan hipersekresi dari air dan elektrolit seperti natrium

(Na^+), klorida (Cl^-), kalium (K^+), dan bikarbonat (HCO_3^-) ke lumen usus (Ryan &

Ray, 2003; Riedel *et al.*, 2019). Proses inilah yang menyebabkan terjadinya diare

berair dengan volume 20-30 L per hari (Sumarno *et al.*, 2011; Gill, 1976; Epstein

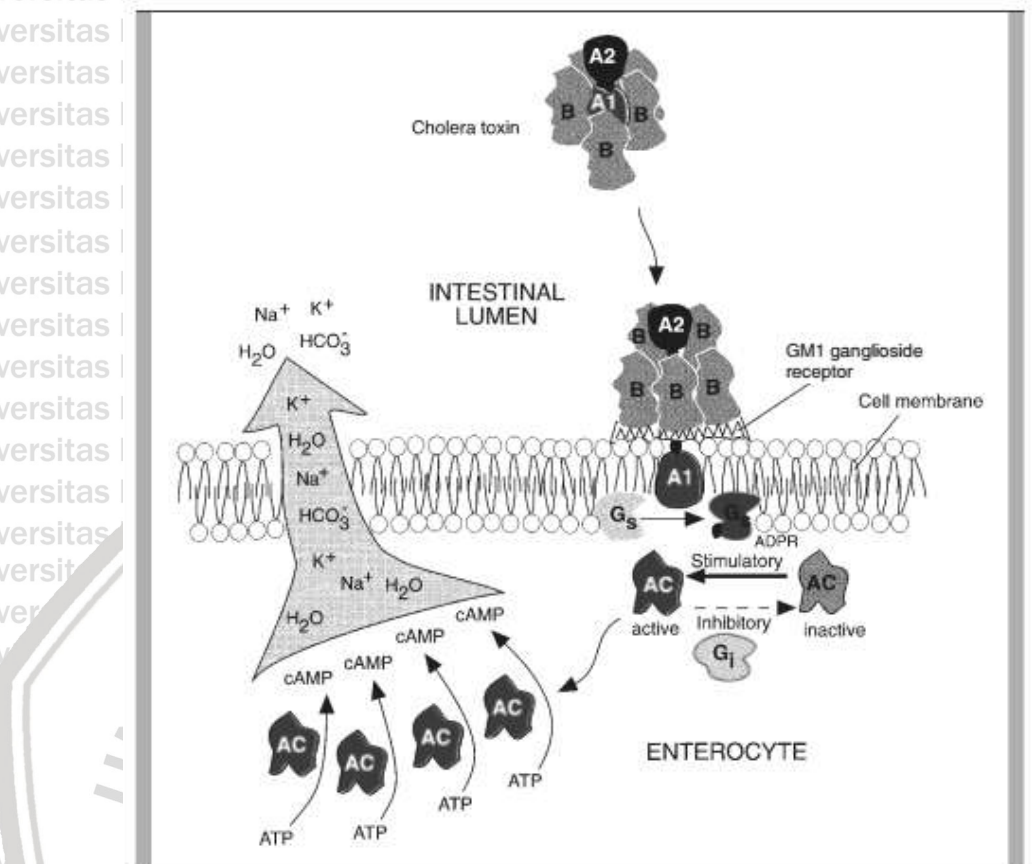
et al., 1989; Janicot *et al.*, 1991; Riedel *et al.*, 2019). Selain itu elektrolit yang

telah keluar tidak bisa masuk kembali karena terdapat inhibisi absorpsi natrium

dan klorida, sehingga diare selain mengandung banyak air, juga mengandung

banyak elektrolit yang dapat menyebabkan dehidrasi, syok hipovolemik, asidosis,

dan kematian (Riedel *et al.*, 2019).



Gambar 2.6. Patogenesis dari infeksi *Vibrio cholerae* pada enterosit. Dimulai dari ikatan antara cholerae toxin sub-unit B (CTB) dengan ganglioside responer GM1 yang selanjutnya mengaktifkan cholerae toxin subunit A (A1) dan memicu katalisis ADP-ribosylation dari G_s (protein regulator G *stimulatory*) yang selanjutnya mengaktifasi adenilat siklase (AC) sehingga menyebabkan akumulasi cAMP. Akumulasi cAMP menyebabkan keluarnya air dan elektrolit (Ryan et al., 2004).

Tidak seperti patogen yang menginvasi jaringan mukosa usus, *Vibrio cholerae* tidak menyebabkan inflamasi yang dominan, namun menimbulkan respon imun innate seperti laktoferin, defensin, dan oxidase (Bourque et al., 2018). *Vibrio cholerae* menginduksi kekebalan jangka panjang pada sebagian besar orang yang sembuh dari infeksi (Harris, 2018).



2.2.4. Tanda dan Gejala Kolera

Vibrio cholerae membentuk kolonisasi pada usus halus dan menyebabkan diare profus akut yang berair (*watery diarrhea*) atau diare “air cucian beras” (*water-rice-stool*) (Nguyen *et al.*, 2017). Diare yang disebabkan kolera dapat disertai dengan dehidrasi berat yang dapat mengakibatkan kematian (Zuckerman, Rombo dan Fisch, 2007). Gejala yang dialami orang terinfeksi oleh *Vibrio cholerae* dapat bervariasi mulai dari asimtotik, diare berair dalam jumlah banyak, hingga kematian dalam beberapa jam sejak onset terjadinya diare berair dalam jumlah besar. Kematian yang terjadi merupakan akibat dari adanya syok hipovolemik karena menurunnya volume cairan tubuh (Nguyen *et al.*, 2017). Adapun pasien dengan diare yang diinduksi enterotoksik umumnya memiliki beberapa tanda atau gejala sistemik seperti kram perut, mual, muntah, dan biasanya tidak demam (Navaneethan & Giannella, 2014).

2.2.5. Diagnosis Kolera

Untuk mendiagnosis penyakit kolera, dibutuhkan pengetahuan yang memadai mengenai tanda dan gejala kolera serta pemeriksaan fisik yang benar untuk menyingkirkan *differential diagnosis*. Kultur feses merupakan *gold standard* dalam mendiagnosis kolera (CDC, 2019).

Dalam mendiagnosis kolera dengan kultur sebagai *gold standard*, spesimen berupa feses diambil saat tahap awal terjadinya kolera dan harus diinokulasikan 2-4 jam pasca pengambilan spesimen ke agar yang tepat. Apabila dalam memproses spesimen tidak bisa sesegera mungkin, spesimen harus dicampur dengan medium transpor *Cary Blair*. Selain itu *Vibrio cholerae* juga dapat langsung diamati (dari spesimen atau dari *enrichment broth*) dengan

menggunakan *dark field* mikroskop. Pada *Vibrio cholerae* O1 akan didapatkan

gambaran *shooting star* setelah diberikan antiserum O1. Apabila tidak terdapat

motilitas setelah pemberian antiserum O1, maka merupakan *Vibrio cholerae*

selain O1 (Riedel et al., 2019).

Lalu seperti yang sudah dijelaskan sebelumnya, *Vibrio cholerae* dapat

ditumbuhkan pada media *MacConkey*, agar darah, TCBS, dan *alkaline peptone*

broth. Namun beberapa *strain Vibrio cholerae* juga dapat terinhibisi di media

MacConkey. Pertumbuhan akan cepat pada agar TCBS atau pada *alkaline*

peptone broth atau di air, yang mengandung 1% NaCl dengan pH 8,5 (Riedel et

al., 2019).

Adapun deteksi cepat pada *Vibrio cholerae* dapat dilakukan dengan

immunofluorescence, *latex agglutination*, dan analisis koagulasi. *Vibrio cholerae*

lalu diidentifikasi dengan menggunakan *slide agglutination test* menggunakan

antisera *anti-O* grup 1 atau *anti-O* grup 139 dan menggunakan pola reaksi

biokimia. Terdapat juga *rapid immunochromatographic dipstick test* yang sensitif

dan spesifik namun penggunaannya dilaporkan masih kurang akurat (Riedel et

al., 2019; CDC, 2019).

2.2.6. Tatalaksana Kolera

Penanganan pada penyakit kolera adalah dengan mengganti cairan yang

keluar dan mengkoreksi ketidakseimbangan elektrolit dengan cairan yang

mengandung air, garam, gula yang diberikan per oral atau cairan infus isotonis

yang diberikan secara intravena untuk mencegah atau mengatasi syok

hipovolemik (Sack et al., 2004). Antibiotik penting diberikan pada diare berat

untuk mengurangi masa rawat inap rumah sakit dan mengatasi patogen (Leung

et al., 2012). Pemilihan antibiotik harus didasarkan pada profil resistensi

antimikroba kesehatan setempat. Terapi yang disarankan adalah

Doksisiklin 300 mg dosis tunggal (Guerrant *et al.*, 2001). Tetrasiklin 4x500 mg

telah terbukti sebagai obat yang sangat efektif untuk kolera (Guerrant *et al.*,

2001), dan umumnya memiliki kemanjuran yang lebih baik dibandingkan dengan

klorampenikol. Eritromisin atau azitromisin adalah pilihan terapi antibiotik yang

tepat untuk digunakan pada anak-anak dan wanita hamil. Adapun agen

antimikroba lain yang juga efektif adalah trimetoprim-sulfametoksazol 2x960mg

(Guerrant *et al.*, 2001), fluorokuinolon, dan doksisiklin (Riedel *et al.*, 2019).

Peningkatan resistensi antimikroba pada *Vibrio cholerae* telah dilaporkan secara

global secara khusus di daerah-daerah di mana kolera endemik atau epidemi

terjadi. Resistensi terhadap tetrasiklin telah dilaporkan meningkat. Gen resistansi

terhadap tetrasiklin tersebut dibawa oleh plasmid yang dapat diturunkan (Riedel

et al., 2019).

2.2.7 Perkembangan Vaksin Kolera

Vaksin kolera pertama dibuat oleh Robert Koch. Robert Koch melaporkan

penemuan dan isolasi kolera basil pada tahun 1884. Dalam satu tahun vaksin

kolera pertama, yaitu injeksi *Vibrio cholerae* yang telah dikultur namun tidak

dilemahkan (*cultured unattenuated*), diuji selama wabah di Valencia, Spanyol.

Vaksin ini memiliki efek perlindungan 80% (Bornside, 1981). Selanjutnya beberapa

vaksin sel utuh yang tidak aktif (*whole cell inactivated*) dikembangkan, yang

menghasilkan perlindungan jangka pendek serta reaksi lokal yang signifikan di

tempat injeksi. Vaksin ini juga menyebabkan tingginya tingkat demam dan

malaise pada orang yang melakukan vaksinasi (Ryan & Calderwood, 2000).

Pada tahun 1985 digelar uji coba lapangan besar di Bangladesh

mengenai efek vaksinasi *whole cell-cholerae toxin B* (WC-CTB) dimana subunit B

diproduksi oleh ekstraksi kimia, bukan dari teknologi rekombinan. Studi ini terdiri

dari 89.596 subjek usia 2-15 tahun dan wanita berusia >15 tahun. Subjek secara

acak menerima tiga dosis, dengan interval 6 minggu. Kelompok dari studi ini

adalah : *whole cell-cholerae toxin B* (WC-CTB), *whole cell* (WC) saja dengan

konstituen seluler yang sama dengan WC-CTB tetapi tanpa CTB, dan placebo E.

coli yang dimatikan. Dalam uji coba ini, perlindungan keseluruhan oleh WC-CTB

adalah 85% selama 4-6 bulan pertama, 62% selama tahun pertama, dan 57%

selama tahun kedua. Vaksinasi melindungi orang dewasa dan anak-anak usia >5

tahun selama 3 tahun dan anak-anak <5 tahun selama kurang lebih 6 bulan.

Efektivitas untuk dosis ganda serupa dengan rejimen tiga dosis. Perlindungan

silang terhadap diare yang disebabkan oleh LT-ETEC (*heat-labile toxin (LT)*-

enterotoxigenic Escherichia coli) terjadi pada subjek yang diberikan vaksin WC-

CTB (Clemens et al., 2018).

Tabel 2.4. Tabel efek vaksinasi *whole cell-cholerae toxin B* (WC-CTB) dan *whole cell* (WC). Penelitian dilakukan pada semua umur selama 3 tahun follow up. Tabel menunjukkan semakin bertambahnya umur, efek perlindungan semakin kecil (Clemens et al., 2018).

Follow-up Period	Protective Efficacy by Age Group					
	WC-CTB			WC		
	All Ages	2-5 Years	>5 Years	All Ages	2-5 Years	>5 Years
4 to 6 months	85% (62%) ^c	100%	76%	58% (14%)	35%	71%
First year	62% (50%)	31%	78%	53% (38%)	31%	67%
Second year	57% (42%)	24%	61%	57% (42%)	24%	73%
Third year	17% (-15%)	2%	40%	43% (19%)	2%	62%

Vaksin kolera yang saat ini tersedia termasuk vaksin kolera oral yang berasal dari sel utuh *Vibrio cholera* yang dimatikan (*whole cell killed*). Namun, vaksin oral kolera ini cenderung kurang efektif dalam memberi kekebalan protektif pada anak-anak (<5 tahun), yang mana merupakan usia paling rentan terhadap diare yang disebabkan kolera (Sit *et al.*, 2019; Qadri *et al.*, 2018). Vaksin kolera oral memberikan perlindungan sebesar 66% pada studi *follow up* selama 3 tahun di Kolkata dan India dengan perlindungan bagi anak usia <5 tahun sebesar 43% (Sur *et al.*, 2011). Dua vaksin oral kolera yang berlisensi diantaranya adalah Dukoral (Crucell, Swedia) dan Sanchol (Shantha Biotechnics, India).

Dukoral mengandung *whole cell killed Vibrio cholerae* dari biotipe *El tor* dan klasik dari *strain O1* dengan adjuvan berupa 1 mg CTB rekombinan (WC-rBS). Dukoral telah digunakan sebagai vaksinasi yang memberikan perlindungan sebesar 85% selama 6 bulan pertama setelah vaksinasi. Tetapi perlindungan ini menurun hingga 50% pada 3 tahun *follow up* dalam uji coba lapangan besar di Bangladesh (Akter *et al.*, 2019). Pada anak-anak berusia 2-5 tahun, Dukoral diberikan dalam tiga dosis secara oral dalam rentang antar pemberian vaksinasi minimal 1 minggu sekali. Dukoral tidak diperuntukkan bagi anak berusia di bawah 2 tahun dikarenakan efektivitasnya yang rendah (Ryan & Calderwood, 2000; Harris, 2018). Sanchol adalah vaksin bivalent *whole cell killed* yang mengandung kedua biotipe klasik dan *El Tor Vibrio cholerae O1* serta O139, tanpa adanya CTB (WC-bivalent). Shanchol telah menunjukkan hasil yang baik dalam mencegah penyakit di daerah endemis dan sebagai agen reaktif untuk membatasi kolera selama epidemi (Sit *et al.*, 2019). Selain itu, Sanchol juga memiliki harga yang lebih

terjangkau. Namun berdasarkan penelitian terbaru penggunaan dosis ganda

Sanchol menunjukkan rendahnya efek *boosting* pada dosis kedua (Akter et al.,

2019). Dalam penelitian lain, telah ditunjukkan bahwa dosis tunggal Shanchol di

Bangladesh memberikan perlindungan sebesar 59% pada anak usia > 15 tahun

dan orang dewasa (setidaknya selama 2 tahun) yang dianggap telah memiliki

kekebalan alami (*natural immunity*) yang sebelumnya telah ada untuk kolera

ketika divaksinasi (Capeding et al., 2017; Kanungo et al., 2009). Tetapi tidak ada

bukti ilmiah bahwa vaksinasi dosis tunggal baik untuk perlindungan jangka

panjang dan juga pada anak di bawah 5 tahun.

Terdapat juga vaksin CVD 103 HgR yang merupakan vaksin yang

dibentuk dari *Vibrio cholerae* strain O1 Inaba dengan penghapusan gen *cholerae*

toxin sub-unit A sebanyak 94% tetapi CTB tetap utuh, dan dengan kaset tahan

merkuri (*mer*) dimasukkan ke dalam gen untuk hemolysin (Levine et al., 1988).

Pada penelitian diketahui bahwa respons antibodi serum vibriocidal pada

sukarelawan Amerika yang diimunisasi dengan CVD 103-HgR sekitar dua pertiga

dari sukarelawan yang tidak divaksinasi namun diinfeksi dengan *Vibrio cholerae*,

yang menunjukkan bahwa respons vaksin tidak sekuat yang dipicu oleh infeksi

alami (Levine et al., 1988). Penerapan dari vaksin ini di Jakarta (Indonesia)

hasilnya masih kurang memuaskan (Simanjuntak et al., 1993).

Selain vaksinasi usaha berupa pemberian CTB saja, yang imunogenik,

dilakukan dalam eradicasi diare. CTB merupakan protein yang non-toksik yang

berfungsi untuk mengikat *ganglioside GM1* pada sel mamalia dengan afinitas

yang tinggi. Penggunaan CTB telah terbukti secara kuat menginduksi respon

imun diberikan melalui rute intranasal tetapi kurang kuat ketika diberikan secara

oral. Namun pemberian CTB melalui intranasal berpotensi menimbulkan Bell's

palsy. Lalu ditemukan bahwa dengan menggabungkan antigen ke CTB dan

diberikan via oral, respons imun yang terjadi jauh lebih kuat (Guo *et al.*, 2012).

Adapun penggunaan CTB yang telah ada saat ini adalah sebagai adjuvan pada

vaksin Dukoral dimana CTB yang digunakan adalah CTB yang diproduksi secara

rekombinan (Akter *et al.*, 2019).

2.3. Shigellosis

2.3.1. Definisi dan Epidemiologi Shigellosis

Shigellosis adalah penyakit yang ditandai dengan diare berlendir dan

berdarah yang disebabkan oleh *Shigella* sp. Shigellosis adalah penyakit endemik

yang terjadi terutama di negara-negara berkembang. Penyakit ini menyebabkan

120 juta kasus disentri berat setiap tahun dan diperkirakan menyebabkan

700.000 kematian. Sekitar 60% kematian diderita oleh anak-anak di bawah lima

tahun (Ying *et al.*, 2005). *Shigella* adalah salah satu patogen enterik terbanyak

dan secara global terkait dengan 164.300 kematian akibat diare pada semua

kelompok umur termasuk 54.900 kematian akibat diare pada anak di bawah 5

tahun (Lozano *et al.*, 2012; Liu *et al.*, 2016; Hosangadi *et al.*, 2018). *Shigella*

flexneri adalah spesies yang paling sering diisolasi di seluruh dunia, dikarenakan

untuk sebagian besar kasus di negara-negara yang kurang berkembang,

sedangkan *Shigella sonnei* lebih umum di negara-negara berpenghasilan rendah

dan menengah (negara maju) (Mani *et al.*, 2016). Adapun negara yang

merupakan endemis *Shigella* adalah Bangladesh, Pakistan, dan Afrika (Herwana

et al., 2010). *Shigella flexneri* 2a, 3a, 6, dan *Shigella sonnei* bersama-sama

mencakup sekitar 80% dari strain yang menyebabkan shigellosis (Mani *et al.*,

2016).

Diare yang disebabkan *Shigella flexneri* menyumbang sekitar 600.000 kematian per tahunnya di seluruh dunia (CDC, 2019). Antibiotik dapat secara efektif mengobati shigellosis tetapi kemunculan resistensi antibiotik menjadikan pengembangan vaksin *Shigella* sebagai prioritas kesehatan masyarakat. Oleh karena itu, WHO telah menjadikan pengembangan vaksin *Shigella* yang efektif merupakan prioritas utama (Von Seidlein *et al.*, 2006; Ouyang-Latimer *et al.*, 2011; Tribble, 2017)

Ketika menilai kematian terkait *Shigella*, meskipun ada perbedaan dalam metodologi dalam penelitian (tinjauan literatur sistematis versus ulasan vital 187 negara), dua penelitian terbaru menghasilkan perkiraan kematian global akibat shigellosis yang sama untuk anak-anak berusia kurang dari lima tahun, yaitu 28.000 kematian pada 2011 oleh *Child Health Epidemiology Reference Group* dan 34.400 kematian pada 2013 oleh *Institute for Health Metrics and Evaluation* (IHME) (Vos *et al.*, 2015; Lanata *et al.*, 2013). Mendukung temuan ini, IHME juga memperkirakan 40.500 kematian pada tahun 2013 dari infeksi *Shigella* pada dewasa berusia lebih dari lima tahun (Naghavi *et al.*, 2015).

Di negara endemik berpenghasilan rendah dan menengah dengan akses yang tidak memadai ke sanitasi yang layak, air bersih, dan pilihan pengobatan untuk diare berat yang mungkin telah resisten terhadap antibiotik umum, vaksin *Shigella* akan menjadi pilihan ideal dalam manajemen penyakit diare. Lalu, dikarenakan patogen enterik lain juga dapat menyerang anak-anak di awal kehidupan, tujuan penting lain untuk vaksin *Shigella* adalah kompatibilitas untuk kombinasi dengan vaksin enterik lain yang diberikan dengan rute yang sama.

2.3.2. Etiologi Shigellosis

Shigella sp. merupakan bakteri gram negatif berbentuk batang yang tidak

membentuk spora, fakultatif anaerob (namun tumbuh paling baik secara aerob),

non-motil yang merupakan penyebab penyakit disentri atau shigellosis (Ryan et

al., 2004). Ada empat spesies, *Shigella flexneri*, *Shigella dysenteriae*, *Shigella*

sonnei, *Shigella boydii*, dan lebih dari 50 serotype *Shigella*. *Shigella flexneri* terdiri

dari 16 serotype, *Shigella sonnei* terdiri dari 1 serotype, *Shigella boydii* terdiri dari

19 serotype, dan *Shigella dysenteriae* terdiri dari 15 serotype (Barry et al., 2013).

Habitat alami *Shigellae* terbatas pada saluran usus manusia dan saluran usus

primata lain, di mana *Shigella* menghasilkan disentri basiler (Riedel et al., 2019).

Spesies patogen *Shigella* sp. terdiri dari *Shigella dysenteriae*, *Shigella flexneri*,

Shigella sonnei dan *Shigella boydii*. (Drancourt, 2017). *Shigella* terkait erat

dengan *E. coli* dan banyak berbagi antigen umum satu sama lain dan dengan

bakteri enterik lainnya (Riedel et al., 2019).

Shigelle spp. berasal dari kingdom *Bacteria*, filum *Proteobacteria*, kelas

Gammaproteobacteria, ordo *Enterobacteriales*, famili *Enterobacteriaceae*.

Enterobacteriaceae adalah bakteri terbesar, yang memiliki ukuran 2 - 4

mikrometer dan lebar 0,4 -0,6 mikrometer, dengan sisi paralel dan ujung

membulat. Dinding sel, membran sel, dan struktur internal untuk semua

Enterobacteriaceae secara morfologis mirip. Komponen dinding dan permukaan

sel, yang bersifat antigenik, telah dipelajari secara luas dalam beberapa genera

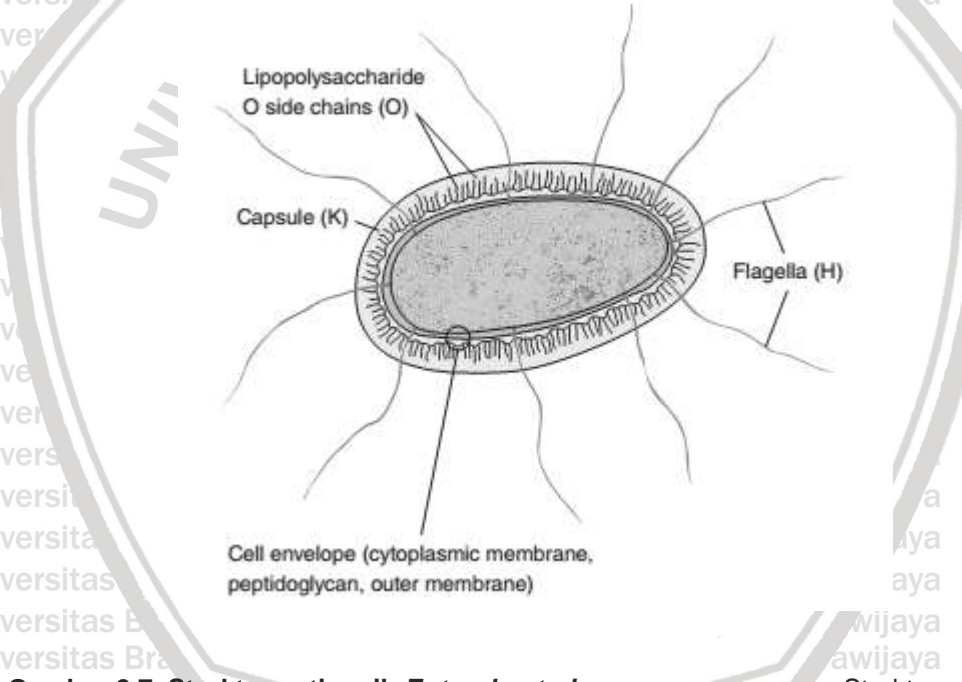
dan membentuk dasar sistem yang membagi spesies menjadi serotype. Membran

luar lipopolisakarida (LPS) disebut antigen O. Spesifikasi antigeniknya

ditetukan oleh komposisi gula yang membentuk rantai samping polisakarida

yang terkait dengan polisakarida inti dan lipid A. Polisakarida permukaan sel

dapat membentuk kapsul yang disebut antigen K. Dan struktur terluar pada permukaan bakteri disebut pili, yang merupakan protein antigenik (Ryan & Ray, 2003; Ryan et al., 2004). Pada *Shigella spp.*, pola antigenik sangat kompleks. Secara serologis, setiap spesies saling tumpang tindih dan bahkan berbagi antigen O dengan bakteri basil enterik lainnya. Antigen O somatik dari *Shigella* adalah lipopolisakarida. Spesifitas serologis tergantung pada polisakarida, yang mana memiliki lebih dari 40 serotipe. Klasifikasi *Shigella* bergantung pada karakteristik biokimia dan karakteristik antigenik (Riedel et al., 2019).



Gambar 2.7. Struktur antigenik *Enterobacteriaceae* secara umum. Struktur antigenik terdiri dari antigen O (Lipopolisakarida O), antigen K (kapsul), antigen H (flagella), dan envelope cell (Riedel et al., 2019).

Shigella sp. memiliki kemampuan untuk menginvasi dan merlakukan replikasi pada sel epitel dan enterosit (Ryan et al., 2004). Semua jenis *Shigella* memfermentasikan laktosa, kecuali *Shigella sonnei*. Ketidakmampuan fermentasi laktosa membedakan *Shigella* dengan anggota *Enterobacteriaceae* yang lain, yang mana memfermentasi laktosa (misalnya, *E. coli*). *Shigella* membentuk asam

dari karbohidrat tetapi tidak menghasilkan gas. *Shigella* dapat dibagi menjadi

organisme yang dapat memfermentasi manitol dan organisme yang tidak

memfermentasi manitol sesuai dengan tabel 2.3

Tabel 2.5. Tabel Perbedaan keempat tipe *Shigella* sp. dalam sifat memfermentasi manitol dan ornithine decarboxylase.

Shigella dysenteriae tidak memfermentasi manitol maupun ornithine decarboxylase, *Shigella flexneri* dan *Shigella boydii* hanya memfermentasi manitol, *Shigella sonnei* memfermentasi manitol dan ornithine decarboxylase (Riedel et al., 2019).

Present Designation	Group and Type	Mannitol	Ornithine Decarboxylase
<i>Shigella dysenteriae</i>	A	-	-
<i>Shigella flexneri</i>	B	+	-
<i>Shigella boydii</i>	C	+	-
<i>Shigella sonnei</i>	D	+	+

2.3.3. Patogenesis Shigellosis

Shigella sp. adalah patogen yang dengan cepat menular dikarenakan

transmisinya yang fekal-oral pada daerah dengan higenitas rendah. Transmisi

Shigella sp. dikenal dengan 4F, yaitu food (makanan yang terkontaminasi), finger

(kontak langsung dengan bakteri), feces (feses yang mengkontaminasi air), flies

(alat yang terkontaminasi). Infeksi shigella juga terjadi pada LSL (laki-laki yang

berhubungan seksual dengan laki-laki) (Riedel et al., 2019).

Shigella sp. adalah merupakan patogen yang terbatas pada saluran

gastrointestinal dan jarang menyebabkan bakeremia. *Shigella* sp. merupakan

patogen yang sangat infektif yang memiliki dosis infektif yang rendah, karena

hanya dengan 10 - 100 bakteri saja sudah cukup untuk menyebabkan infeksi

(Sansonetti, 2001; Riedel et al., 2019). *Shigella* sp. masuk ke saluran

pencernaan melalui makanan atau air yang terkontaminasi. Proses awal

terjadinya infeksi dimulai dengan tahap *attachment*, yaitu perlekatan antara

molekul adhesi berupa pili *Shigella sp.* yang diperkuat dengan *outer membrane*

protein (OMP) terhadap reseptor pada enterosit (Fitrianingsih et al., 2017).

Selanjutnya, *Shigella sp.* akan melakukan proses invasi. Proses invasi ke sel

epitel mukosa (misalnya sel M) merupakan proses patologis esensial pada

Shigella sp. yang prosesnya diawali oleh fagositosis. Setelah ditangkap pada

fagositosis, *Shigella sp.* akan mencoba membebaskan diri dari vakuola fagositik,

lalu melakukan proses multiplikasi dan menyebar dalam sitoplasma sel epitel,

serta menyebar ke sel-sel yang berdekatan (Riedel et al., 2019). Adapun bagian

dari saluran cerna yang diinvasi oleh *Shigella sp.* adalah enterosit kolon dan

rektum. Invasi *Shigella sp.* ke dalam enterosit memicu terjadinya inflamasi.

Inflamasi menyebabkan terbentuknya mikroabses pada kolon dan rektum yang

menyebabkan terjadinya nekrosis dari membran mukosa, ulserasi pada

permukaan mukosa, perdarahan, dan pembentukan dari *pseudomembran* para

daerah yang mengalami ulserasi (Riedel et al., 2019). Proses ini menyebabkan

berkurangnya kemampuan reabsorpsi usus (Perez-Lopez et al., 2016)

Pseudomembran ini mengandung fibrin, leukosit debris sel, membran mukosa

yang nekrosis, dan bakteri. Setelah proses mereda, jaringan granulasi akan

muncul mengisi ulkus dan membentuk jaringan scar (Riedel et al., 2019). Oleh

sebab itu diare yang disebabkan oleh *Shigella sp.* akan mengandung darah,

lendir, dan nanah yang mengindikasikan adanya inflamasi dan ulserasi pada

kolon dan rektum (Herwana et al., 2010).

Shigella sp. memiliki toksin yang dirilis setelah *Shigella sp.* mengalami

autolisis yang dinamakan endotoksin. Endotoksin mengandung lipopolisakarida

yang toksik. Endotoksin berperan dalam mengiritasi mukosa dinding usus. Pada

Shigella dysentiae tipe 1 juga terdapat eksotoksin yang bersifat labil terhadap

suhu panas. Exotoksin ini dapat menyerang saluran cerna dan sistem syaraf

manusia. Eksotoksin merupakan protein antigenik dan bersifat lethal pada hewan

eksperimental. Apabila toksin berperan sebagai enterotoksin (menyerang saliran

cerna), maka akan terjadi diare, seperti efek yang disebabkan oleh *Shiga-like*

toxin pada *E. coli*. Pada manusia, eksotoksin juga menghambat penyerapan gula

dan asam amino di usus halus. Apabila toksin berperan sebagai neurotoksin

(menyerang sistem syaraf), maka akan terjadi koma dan meningismus (Riedel et

al., 2019; Ryan et al., 2004).

2.3.4. Tanda dan Gejala Shigellosis

Adapun diare yang disebabkan oleh *Shigella* ditandai dengan adanya

lendir dan darah disertai dengan nyeri perut terutama sebelah kiri. Diare dapat

disertai mual muntah dan sakit kepala. Diare apabila disebabkan oleh *Shigella*

dysentiae akan timbul dengan mendadak dan berar, dan dapat meninggal bila

tidak segera dilakukan tatalaksana. Pada pemeriksaan fisik akan dijumpai febris,

nyeri perut pada penekanan di sebelah kiri bawah, terdapat tanda-tanda

dehidrasi, serta tenesmus.

2.3.5. Diagnosis Shigellosis

Dalam mendiagnosis shigellosis dengan menggunakan kultur, diperlukan

spesimen berupa feses yang diperoleh selama tahap awal shigellosis. Spesimen

lalu dikultur pada *differential media*, seperti agar MacConkey atau eosin

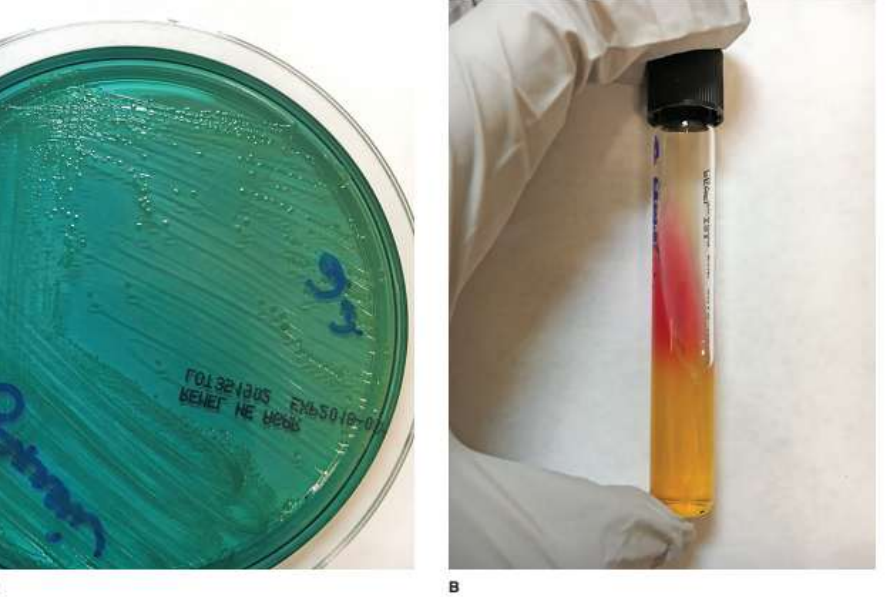
methylene blue (EMB), atau dikultur pada *selective media*, Hektoen Enteric (HE)

agar atau *xylose-lysine-deoxycholate* agar yang mensupresi pertumbuhan dari

Enterobacteriaceae lainnya dan bakteri gram positif. Selanjutnya koloni yang

tidak berwarna (laktosa negatif) diinokulasi ke agar miring *triple sugar iron* (TSI).

Organisme nonmotil yang gagal menghasilkan H_2S , yang menghasilkan asam tetapi bukan gas dalam bagian paling bawah (bottom) dilanjutkan analisa aglutinasi oleh antisera *Shigella* spesifik (Riedel et al., 2019).



Gambar 2.8. Spesies *Shigellae* pada media kultur. (A). Spesies *Shigella* pada *Hektoen Enteric* (HE) agar. *Shigella* sp. tidak memfermentasi laktosa, salicin, atau sukrosa sehingga terlihat transparan/translusen (*colorless*) pada *Hektoen Enteric* (HE) agar. (B). Spesies *Shigella* pada *triple sugar iron* (TSI) agar. *Shigella* sp. memfermentasi glukosa, namun tidak memfermentasi laktosa dan sukrosa yang terlihat pada agar TSI. Sehingga *Shigella* memproduksi reaksi *alkaline over acid* (K/A) dan tidak memproduksi H_2S atau gas (Riedel et al., 2019).

2.3.6. Tatalaksana Shigellosis

Secara umum, shigellosis adalah penyakit yang *self-limiting* dan banyak pasien sembuh tanpa pengobatan dalam 5-7 hari. Kematian umumnya rendah pada usia, namun tinggi pada anak-anak yang kurang gizi, pada bayi, dan pada pasien usia lanjut. Dehidrasi berat, kejang demam, septicemia, dan pneumonia adalah potensi komplikasi dari shigellosis berat. Secara umum, penggantian

cairan secara oral (*oral fluid replacement*) dianggap cukup untuk mengobati

shigellosis tanpa komplikasi, tetapi pada populasi pasien berisiko tinggi

penggantian cairan secara intravena (*IV fluid replacement*) mungkin diperlukan

(Riedel et al., 2019).

Pemberian anti-diare seperti loperamide harus dihindari terutama pada

pengobatan shigellosis yang disebabkan oleh *Shigella dysentriæ* karena akan

dapat memperburuk gejala-gejala shigellosis. Pengobatan menggunakan

antibiotik direkomendasikan untuk infeksi berat dan untuk mencegah penyebaran

sekunder pada orang-orang yang tinggal dalam satu lingkungan (misalnya,

anggota keluarga) atau selama terjadinya kejadian luar biasa atau wabah. Di

Amerika, penggunaan trimethoprim – sulfamethoxazole dan ampicillin sudah

tidak direkomendasikan sebagai terapi *first line* shigellosis dikarenakan adanya

resistensi yang luas (Riedel et al., 2019). Namun penggunaanya di negara yang

belum resisten disarankan dengan dosis 960 mg dengan dosis pada anak-anak

30mg/kgBB dua kali sehari selama 3-5 hari (Guerrant et al., 2001). Ciprofloxacin

2x500mg dan ceftriaxone adalah antibiotik pilihan yang efektif (Guerrant et al.,

2001). Namun, dalam beberapa tahun terakhir, Centers of Disease Control and

Prevention (CDC) telah mengidentifikasi jenis yang muncul dari spesies *Shigella*

yang berpotensi mengurangi sensitivitas terhadap ciprofloxacin. Ceftriaxone

umumnya digunakan untuk terapi shigellosis pada anak. Terakhir, azitromisin

telah terbukti sebagai antibiotik yang masih sensitif dan digunakan untuk

pengobatan infeksi *Shigella* yang resisten terhadap antibiotik pada orang dewasa

dan anak-anak (Riedel et al., 2019).

2.3.7 Perkembangan Vaksin Shigella

Infeksi oleh *Shigella* akan menginduksi respons imun berupa antibodi spesifik. Injeksi dari *shigella* yang dimatikan dapat merangsang produksi antibodi dalam serum. Namun antibodi ini masih gagal dalam memproteksi terhadap infeksi. Secretory IgA (s-IgA) pada mukosa usus kemungkinan memiliki peran penting dalam menginhibisi berulangnya infeksi. s-IgA ini dapat distimulasi oleh strain hidup yang dilemahkan yang diberikan secara oral sebagai vaksin (dalam eksperimental) (Riedel *et al.*, 2019)

Meskipun ada upaya penelitian intensif selama lebih dari 60 tahun, dengan menggunakan beragam strategi vaksin, namun vaksin yang aman dan efektif terhadap shigellosis belum tersedia (Ashkenazi & Cohen, 2013). Saat ini,

Shigella sonnei terdiri dari sekitar 80% isolat *Shigella* di negara maju, dengan prevalensi relatif yang meningkat dalam beberapa dekade terakhir. Sebaliknya, di

negara-negara berkembang, *Shigella flexneri* adalah penyebab paling umum disentri basiler (CDC, 2013; Von Seidlein *et al.*, 2006; Mani *et al.*, 2016).

Dalam perkembangannya beberapa hambatan menghambat laju pengembangan vaksin *Shigella*. Beberapa diantaranya adalah adanya kurangnya pengetahuan mengenai imunologi, terbatasnya model hewan yang baik dalam merepresentasikan penyakit yang dapat digunakan untuk menguji kandidat vaksin, persepsi bahwa intervensi lain (termasuk air dan sanitasi) lebih tepat, dan dana yang tidak mencukupi untuk mempercepat pengembangan klinis.

Terlepas dari kendala ini, ada kemajuan besar untuk dilaporkan dari kemajuan pengembangan vaksin *Shigella* selama 5 tahun terakhir, namun demikian vaksin

berlisensi belum ditemukan sejauh ini (Barry *et al.*, 2013; Pore & Chakrabarti, 2016; Mani *et al.*, 2016).

Ada dua pendekatan dasar untuk mencapai jangkauan yang luas dalam perlindungan terhadap shigellosis: baik dengan menggabungkan vaksin bertarget serotipe yang poten dalam vaksin multivalen atau dengan menggunakan antigen berbagai strain Shigella (Ashkenazi & Cohen, 2013). Diharapkan bahwa vaksin yang ada dapat mencakup *Shigella dysenteriae* tipe 1, *Shigella sonnei*, *Shigella flexneri* 2a, *Shigella flexneri* 3, dan *Shigella flexneri* 6. Maka vaksin tersebut akan mencakup lebih dari 75% diare yang disebabkan oleh *Shigella* dalam skala global (Levine *et al.*, 2007). Hal ini didasarkan pada asumsi (dari analisis antigen *Shigella*O dan studi perlindungan oleh reaksi silang) bahwa dimasukkannya *Shigella flexneri* 2a, 3a, dan 6 dalam vaksin akan memberikan perlindungan silang terhadap 11 serotipe *Shigella flexneri* yang lainnya karena memiliki sekelompok antigen yang sama (Levine *et al.*, 2007).

Shigella flexneri 2a strain CVD 1208S, salah satu komponen vaksin, telah maju ke studi klinis manusia dan berfungsi sebagai referensi kandidat vaksin untuk percobaan saat ini (Kotloff *et al.*, 2007). CVD 1208S terbukti aman, dapat ditoleransi dengan baik dan sangat imunogenik pada sukarelawan dalam penelitian Fase I (Kotloff *et al.*, 2007). Penelitian tebaru didapatkan bahwa suatu vaksin terdiri dari kombinasi serotipe S. flexneri 2a, 3a dan 6 dapat memberikan cakupan langsung terhadap 41% strain Shigella dan proteksi silang dapat memperluas cakupan ini menjadi 66% cakupan keseluruhan (Livio *et al.*, 2014).

Beberapa penelitian dari Pore *et. al.* juga menyatakan bahwa protein membran luar bakteri A1 (OmpA) dari S. flexneri 2a adalah kandidat vaksin subunit pelindung yang imunogenik dan manjur terhadap shigellosis (Pore *et al.*, 2009, 2010, 2011, 2012; Pore & Chakrabarti, 2013; Bhowmick *et al.*, 2014).

Pada awal 1960-an, di Yugoslavia, David Mel melakukan studi yaitu

meletakkan serotype *Shigella* yang berbeda pada media yang mengandung

streptomisin hingga *Shigella* menjadi resisten streptomisin dan ketergantungan

streptomisin (SmD), serta kehilangan kemampuan invasif mukosa (Sereny,

1955; Ashkenazi & Cohen, 2013). Perlindungan dari vaksin ini bertahan selama

satu tahun setelah imunisasi primer pada anak-anak dan pemberian booster

(dengan dosis tunggal) menambah perlindungan untuk satu tahun (Mel et al.,

1974, 1971).

Lipopolisakarida (LPS) adalah antigen permukaan utama pada bakteri

gram negatif yang telah menjadi target pengembangan vaksin *Shigella* (Morona

et al., 2003; Camacho et al., 2013). LPS terdiri dari tiga domain: lipid A,

hydrophobic anchor (terdiri dari inti oligosakarida, domain oligosakarida yang

tidak berulang, dan rantai O-antigen [Oag]), dan domain berulang oligosakarida

(Jann et al., 1982). Keragaman struktural dari rantai Oag di antara berbagai

serotype membuat para peneliti sulit untuk memanfaatkan LPS spesifik serotype

sebagai agen pelindung silang dalam vaksin shigellosis (Kim et al., 2018).

2.4. Molekul Adhesi

2.4.1. Definisi Molekul Adhesi

Molekul adhesi adalah molekul yang berperan penting dalam tahap awal

patogenesis bakteri (pada tahap perlekatan attachment) yaitu berperan dalam

mengikat reseptor pada enterosit sehingga bakteri dapat menginvasi atau

mengeluarkan toksin pada enterosit. Dalam sistem kekebalan tubuh, adhesi sel

memainkan peran penting dalam memulai dan mempertahankan respon imun

yang efektif terhadap patogen asing (Preedy, 2016). Ada empat famili molekul

adhesi: molekul adhesi imunoglobulin-like, integrin, cadherin, dan selektin

(Preedy, 2016). Sebagian besar molekul adhesin adalah protein transmembran

khas yang memiliki domain sitoplasma, transmembran, dan ekstraseluler (Ren et al., 2011). Intervensi pada tahap *attachment* dapat menghambat terjadinya infeksi.

Pada tahun 2003, Sumarno melakukan penelitian mengenai karakterisasi molekuler dari protein adhesi *Vibrio cholerae* O1 M094V dan protein reseptornya (molekul reseptor) pada usus halus. Pada penelitian tersebut didapatkan bahwa

molekul adhesi *Vibrio cholerae* terdapat pada pili dan *outer membrane protein* (OMP) (Sumarno, 2003).

Pada penelitian tersebut berhasil diidentifikasi bahwa molekul adhesi pada *Vibrio cholerae* adalah pili dengan berat molekul 50,3 kDa,

37,8 kDa, 35,6 kDa, dan 21,3 kDa sedangkan pada OMP memiliki berat molekul

37,8 kDa (Sumarno, 2003). Selain itu, molekul reseptor *Vibrio cholerae* pada

membran epitel usus memiliki berat molekul 62 kDa, 12,7 kDa dan 10 kDa

(Sumarno, 2003).

Penelitian mengenai pili *Shigella dysentriiae* membuktikan bahwa pili

Shigella dysentriiae dengan berat molekul 49,8 kDa merupakan molekul adhesi

yang memiliki sifat hemagglutinin. Molekul adhesi pili *Shigella dysentriiae* dengan

berat molekul 49,8 kDa tersebut dapat menghambat proses *attachment* *Shigella*

dysentriiae pada enterosit mencit (Agustina et al., 2012). Molekul adhesi *Shigella*

dysentriiae juga dilaporkan memiliki efek protektivitas usus dengan menghambat

sekresi cairan pada usus serta menghambat kolonisasi bakteri *Shigella*

dysentriiae (Setyorini et al., 2013).

2.4.2. Peran Molekul Adhesi dalam Menginduksi Respon Imun

Penelitian dari Sumarno et. al menyatakan bahwa molekul adhesi pada

pili *Vibrio cholerae* dengan berat molekul 37,8 kDa yang dikombinasikan dengan

CTB telah berhasil menginduksi respon imun *innate* berupa s-IgA dan

menghambat sekresi cairan usus (Sumarno *et al.*, 2011). Berdasarkan penelitian

tersebut diperlukan penelitian lebih lanjut mengenai efek vaksinasi terhadap komponen imunitas lainnya.

Penelitian lain menyatakan bahwa molekul adhesi subunit pili *Shigella flexneri* dengan berat molekul 18 kDa dapat meningkatkan ekspresi protein antimikroba β -defensin pada mencit (Fitrianingsih *et al.*, 2018).

2.4.3 Reaksi Silang antar Molekul Adhesi

Beberapa penelitian mengenai reaksi silang telah dilakukan. Penelitian dari Rabbi *et. al.* (2008) menyatakan bahwa terdapat reaksi silang antigenik antara komponen permukaan *Vibrio cholerae* O1, *Shigella flexneri* 2a dan *Haemophilus influenzae* b (Rabbi *et al.*, 2008). Berdasarkan hal tersebut, diduga molekul adhesi *Vibrio cholerae* dengan berat molekul 37,8 kDa dapat dijadikan sebagai kandidat vaksin homolog untuk *Vibrio cholerae* dan *Shigella flexneri*.

Terjadi juga reaksi silang antara protein pili hemagglutinin dengan berat molekul 49,8 kDa dan 7,9 kDa pada *Shigella* sp. (Khoirul *et al.*, 2016). Pada penelitian tersebut, dinyatakan bahwa terdapat reaksi imunologis antara antibodi poliklonal terhadap pili *Shigella dysenteriae* dengan berat molekul 49,8 kDa dengan pili *Shigella boydii* dengan berat molekul 49,8 kDa, serta pili *Shigella dysenteriae* dengan berat molekul 7,9 kDa dengan pili *Shigella boydii* dengan berat molekul 7,9 kDa yang telah terbukti dengan menggunakan uji dot blotting dan western blotting. Namun pada penelitian tersebut tidak ditemukan reaksi imunologis yang identik antara molekul 49,8 kDa dan 7,9 kDa milik *S.flexneri* dan *S.sonnei* (Khoirul *et al.*, 2016).

Penelitian dari Milliana *et al.* (2017) menyatakan bahwa terjadi reaksi silang antara molekul adhesi pada outer membrane protein (OMP) *Shigella*

flexneri dan OMP dari spesies *Shigella* lainnya. Pada penelitian ini Protein dengan berat molekul 28 kDa *Shigelle flexneri* pada OMP diidentifikasi sebagai protein hemagglutinin yang berfungsi sebagai protein adhesi. Antibodi terhadap protein ini bereaksi silang dengan OMP dari spesies *Shigella* lainnya. Namun penelitian mengenai efek reaksi silang dalam menghambat sekresi cairan pada mukosa usus belum diteliti lebih lanjut (Milliana *et al.*, 2017). Reaksi silang juga terjadi antara molekul adhesi pada pili *Shigella flexneri* dan OMP *Shigella flexneri* yang keduanya bersifat hemagglutinin (Fitrianingsih *et al.*, 2017). Pada penelitian tersebut dinyatakan bahwa terdapat reaksi silang yang terjadi antara pili *Shigella flexneri* dengan berat molekul 18 kDa dengan pili *Shigella flexneri* dengan berat molekul 23 kDa, 34 kDa, dan 53 kDa serta OMP *Shigella flexneri* dengan berat molekul 23 kDa dan 27 kDa. Hal ini menunjukkan bahwa protein adhesin pada pili dan OMP *S. flexneri* terdiri dari beberapa epitop yang identik yang ditunjukkan oleh terjadinya reaksi silang dari antibodi (Fitrianingsih *et al.*, 2017). Selanjutnya, Milliana *et al* menemukan bahwa antibodi terhadap OMP *Shigella flexneri* dengan berat molekul 28 kDa mampu bereaksi dengan OMP spesies *Shigella* lainnya yaitu *Shigella dysentiae*, *Shigella sonnei*, dan *Shigella boydii* yang dibuktikan dengan menggunakan western blotting. Pada penelitian tersebut juga dilakukan uji adhesi dimana sel enterosit mencit yang sudah diberikan vaksinasi berupa OMP *Shigella flexneri* dengan berat molekul 28 kDa selanjutnya dipaparkan dengan bakteri *Shigella flexneri* dan didapatkan bahwa semakin tinggi dosis OMP yang diberikan maka semakin rendah jumlah bakteri *Shigella flexneri* yang melekat pada enterosit (Milliana, 2017).

2.5. *Cholerae Toxin Sub-unit B (CTB)*

2.5.1. Definisi CTB

Faktor virulensi utama dari *Vibrio cholerae* adalah *cholera toxin* (CT),

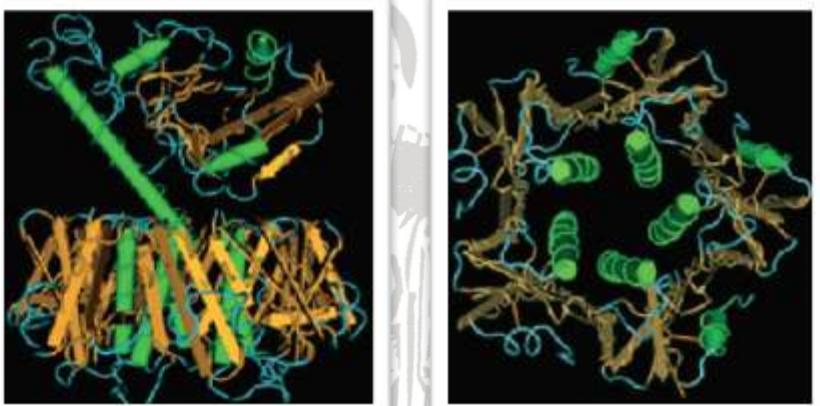
yang terdiri dari dua subunit: subunit A (CTA) dan subunit B (CTB). Keberadaan

CT pertama kali dihipotesiskan oleh Robert Koch pada tahun 1886, yang

menyatakan bahwa gejala yang disebabkan oleh *Vibrio cholerae* dapat

disebabkan oleh racun yang dihasilkan oleh organisme tersebut. Hipotesis ini lalu

dibuktikan oleh Calcutta pada tahun 1959 (De, 1959).



Gambar. 2.9. Struktur crystallography dari cholera toxin (CT). Sebelah kiri adalah *cholerae toxin* secara umum yang terdiri dari subunit A (CTA) dan *cholerae toxin* subunit B (CTB). Sebelah kanan adalah struktur dari CTB saja.

CTB adalah homopentamerik berukuran 11,6 kDa. CTB merupakan protein yang non-toksik yang berfungsi untuk mengikat ganglioside GM1 pada sel mamalia dengan afinitas yang tinggi. Saat ini CTB telah diproduksi secara rekombinan dan digunakan sebagai komponen dari vaksin kolera oral berlisensi internasional karena CTB dapat menginduksi kekebalan humoral yang kuat yang dapat menetralkan toksin kolera di dalam usus. Selain itu, penelitian terbaru telah

mengungkapkan bahwa pemberian CTB mengarah pada induksi mekanisme

antiinflamasi secara *in vivo*. CTB dapat berperan sebagai agen imunomodulator dan agen anti-inflamasi (Baldauf *et al.*, 2015).

2.5.2. Peran CTB dalam Menginduksi Respon Imun

Subunit CTB sebelumnya ditunjukkan telah menginduksi respons imun (Holmgren *et al.*, 1994). CTB telah terbukti secara kuat menginduksi respon imun ketika diberikan melalui rute intranasal tetapi kurang kuat ketika diberikan secara oral (Sánchez & Holmgren, 2008; Kubota *et al.*, 2005; Blanchard *et al.*, 1998). Namun, rute pemberian hidung tidak disukai karena potensi risiko untuk mengembangkan Bell's palsy (Rath *et al.*, 2007; Mutsch *et al.*, 2004; Couch, 2004). Untung saja ditemukan bahwa dengan menggabungkan antigen ke CTB dan diberikan via oral, respons imun yang terjadi jauh lebih kuat (Guo *et al.*, 2012).

2.5.3. Peran CTB sebagai Adjuvan

Potensi adjuvan dari CTB juga telah ditunjukkan dalam model hewan (Baptista *et al.*, 2014; De Geus *et al.*, 2011; Boustanshenas *et al.*, 2013).

Pengembangan vaksin terhadap beberapa patogen bakteri telah dicoba baru-baru ini dengan mengkonjugasikan antigen ke CTB untuk menginduksi respon imun terhadap bakteri (Baldauf *et al.*, 2015). CTB yang diproduksi secara rekombinan adalah komponen penting dari vaksin kolera oral untuk penggunaan manusia. CTB rekombinan ini tidak diberikan sendirian namun dikonjugasikan dengan *whole cell Vibrio cholera* yang dikenal dengan Dukoral dan diaplikasikan di lebih dari 50 negara di seluruh dunia (Sanchez & Holmgren, 1989; Sánchez & Holmgren, 2008). Ketika diberikan secara oral dalam dua atau tiga dosis, vaksin telah ditemukan menginduksi anti-toxin IgA usus dan antibodi anti-bakteri (terutama anti-*lipopolysaccharide*). Pada anak-anak di bawah usia 5 tahun,

perlindungan jangka pendek, yang secara signifikan dimediasi oleh antibodi anti-

toksik IgA adalah 100% untuk 6 bulan pertama tetapi berkurang dengan cepat,

dibandingkan anak usia >5 tahun dan dewasa, menjadi hanya 30% di tahun

kedua follow up (Sánchez & Holmgren, 2008).

Selain aktivitas adjuvan pada vaksin untuk mukosa, penelitian terbaru

telah mengungkapkan bahwa CTB juga dapat menginduksi respon anti-inflamasi

dan sel Treg sehingga dapat mensupresi imunopatologi pada alergi dan autoimun (Sun et al., 2009).

2.6. Defensin

2.6.1. Definisi Defensin

Defensin adalah peptida bersifat antimikroba yang disekresikan oleh

enterosit sebagai komponen respon imun *innate humoral* (Doss et al., 2010).

Permukaan usus melindungi diri dari mikroorganisme dengan respon imun

bawaan (*innate*). Imunitas bawaan (*innate*) merupakan mekanisme perlindungan

yang membentuk garis pertahanan pertama dan mampu merespon dengan cepat

untuk menangkal potensi infeksi oleh patogen (Cobo & Chadee, 2013). Respon

imun ini tidak berdasarkan pada pengenalan antigen spesifik, oleh karena itu

kurang spesifik apabila dibandingkan dengan sistem imun adaptif. Namun,

kekebalan bawaan memberikan perlindungan terhadap berbagai mikroba dalam

cakupan yang luas, bahkan yang belum pernah dikenali sebelumnya oleh sistem

imun (Grishin & Sokolov, 2014).

Sel-sel epitel usus membentuk lapisan fisik yang bertindak sebagai

penghalang antara lingkungan luar dan dalam dari host. Selain itu, sel-sel ini

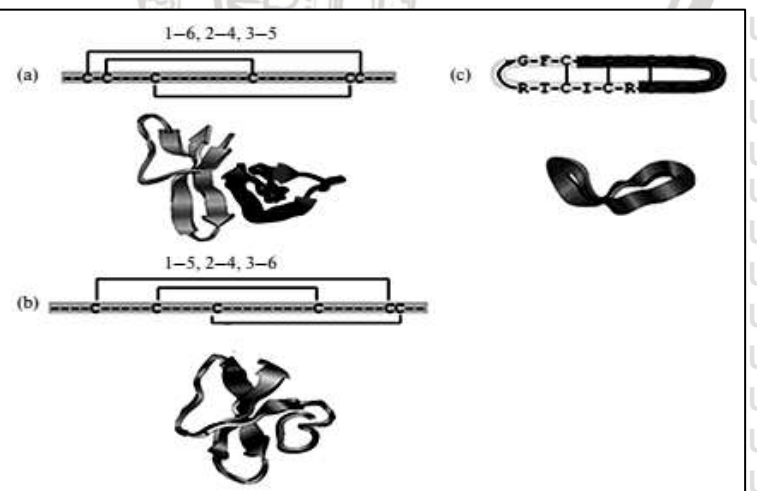
mengeluarkan beberapa molekul defensif ke dalam cairan mukus, seperti musin,

peptida antimikroba, dan imunoglobulin (Doss *et al.*, 2010; Pazgier *et al.*, 2006; Sperandio *et al.*, 2015).

Peptida antimikroba berpartisipasi dalam sistem kekebalan bawaan dan digunakan oleh semua organisme eukariotik. Peptida antimikroba terdiri dari *defensin*, laktoperin, *cathelicidin*, dan histatin (Grishin & Sokolov, 2014; Wehkamp *et al.*, 2007).

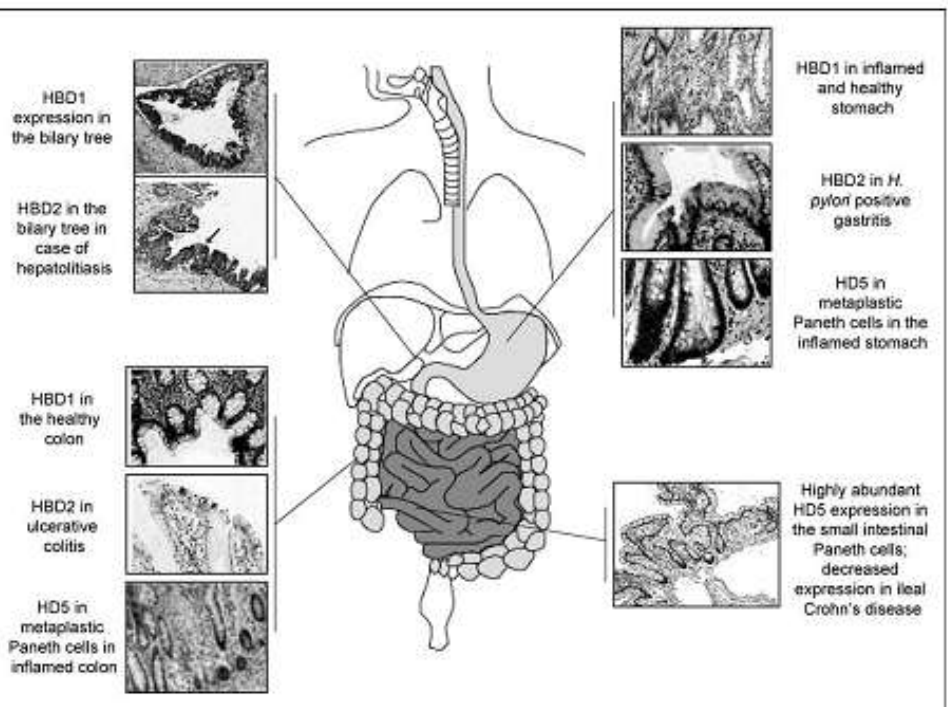
2.6.2. Struktur Defensin

Secara struktural, *defensin* adalah peptida pendek yang terdiri dari 30-45 asam amino yang kaya akan asam amino kationik, yang memberi molekul bermuatan positif dengan berat molekul yang kecil yaitu sekitar 2-6 kDa. Ciri khas *defensin* adalah susunan 3 ikatan disulfida yang secara fungsional menstabilkan peptida dari degradasi oleh protease (Underwood & Bevins, 2010; Grishin & Sokolov, 2014). Pada manusia, gen yang mengkode peptida *defensin* terutama terletak pada kromosom 8p22-23 (Grishin & Sokolov, 2014).



Gambar 2.10. Struktur dari *defensin*. a-*defensin* (a), *β*-*defensin* (b), dan *θ*-*defensin* (c) (Grishin & Sokolov, 2014).

Berdasarkan perbedaan struktur reptil, unggas, dan manusia, defensin terdiri dari α , β dan θ defensin secara khas memiliki sifat mikrobisida terhadap bakteri, fungi, virus, dan protozoa (Grishin & Sokolov, 2014; Lehrer *et al.*, 2009). Pada manusia, defensin diekspresikan secara luas, diantaranya pada neutrofil, kulit, dan epitel mukosa. Sebagian besar defensin adalah antimikroba yang poten dan beberapa memiliki aktivitas kemotaktik serta penetrasi toksin (Underwood & Bevins, 2010). Sel epitel usus manusia menghasilkan *human α -defensin* (HD), yang terdiri dari HD-5 dan HD-6, *human β -defensin* (hBD), yang terdiri dari hBD-1,2,3, dan 4, dan cathelicidin (terdiri dari LL-37 / hCAP-18) (Doss *et al.*, 2010; Pazgier *et al.*, 2006).



Gambar 2.11. Ekspresi peptida antimikroba defensin pada tubuh. Human beta defensin-1 (hBD-1) terdapat pada kantung empedu, lambung (baik saat kondisi normal maupun saat terjadi inflamasi), dan kolon (pada kondisi normal). Human beta defensin-2 (hBD-2) terdapat pada kantung empedu saat kondisi hepatolithiasis, di lambung saat gastritis, dan di kolon saat ulcerative colitis. Human alfa defensin-5 (HD-5) ditemukan di Paneth cell saat kondisi inflamasi (Wehkamp *et al.*, 2007).

2.6.3. Tempat Diproduksinya Defensin

human α -defensin (HD-5 dan HD-6) diekspresikan oleh sel epitel spesial

pada usus halus yang dinamakan sel Paneth (Mastroianni & Ouellette, 2009;

Rubio & Befrits, 2009) serta diproduksi oleh granula dari neutrofil (Underwood & Bevins, 2010). Sedangkan β -defensin diproduksi oleh berbagai sel epitel,

diantaranya adalah keratinosit, enterosit kolon, sel epididimal, kornea, konjungtiva, sinus, paru, sel epitel yang melapisi telinga tengah, genital, dan saluran kencing (Underwood & Bevins, 2010). *Human beta defensin* (hBD)

diproduksi di beberapa bagian tertentu (dapat dilihat pada gambar 2.2). hBD-1

diekspresikan dalam epitel esofagus, lambung, usus halus, dan kolon. *Human*

beta defensin-2 hBD-2 diproduksi oleh kantung empedu saat kondisi

hepatolithiasis, di lambung saat gastritis, dan di kolon saat *ulcerative colitis*.

Human alfa defensin-5 (HD-5) ditemukan di *Paneth cell* saat kondisi inflamasi

(Wehkamp et al., 2007) Penelitian mengenai tempat produksi hBD 3 dan 4 belum

banyak penelitian sehingga produksi hBD3 dan hBD4 tidak diketahui.

2.6.4. Saat Diproduksinya Defensin

hBD-1 diekspresikan pada keadaan individu yang sehat dan normal.

Sedangkan hBD-2, hBD-3, hBD-4, dan cathelicidin diekspresikan dalam kondisi

adanya infeksi dan inflamasi atau setelah induksi bakteri secara *in vitro* (Fahlgren

et al., 2003; Ramasundara et al., 2009; Wehkamp et al., 2007; O'Neil et al.,

1999). Beberapa β -defensin juga memiliki aktivitas *in-vitro* melawan bakteri.

Dibandingkan dengan human β -defensin lainnya, HBD1 menunjukkan aktivitas

antibakteri *in vitro* yang lebih lemah (Valore et al., 1998). Sebuah studi

menyatakan bahwa ekspresi level mRNA hBD-2 seratus kali lebih tinggi pada

tahap akut diare berair (oleh karena *Vibrio cholerae* O1) dibandingkan dengan

tahap pemulihan (*covalement*) dan kontrol. Peningkatan ekspresi hBD-2 yang

selanjutnya diikuti dengan produksi HD-5, HD-6, lisozim, hBD-1, dan LL-37

(Shirin et al., 2011).

2.6.5. Cara Kerja Defensin dalam Membunuh Bakteri

Secara umum *defensin* (bermuatan positif) membunuh mikroba target

dengan cara berikatan dengan membran terluar sel mikroba yang mengandung

lipid (bermuatan negatif) dan selanjutnya membuat pori sehingga mengganggu

integritas membran mikroba lalu menyebakan kematian dari mikroorganisme

tersebut. Mekanisme ini dikenal sebagai 'Model Shai-Matsuzaki-Huang'

(Dommett et al., 2005; Grishin & Sokolov, 2014).

α -defensin mampu menghambat toksin bakteri, termasuk yang diproduksi

oleh *Bacillus anthracis*, *Clostridium difficile*, *Corynebacterium diphtheriae*,

Pseudomonas aeruginosa, dan cytolsins (eksotoksin yang diproduksi oleh

bakteri Gram positif yang melisik sel darah merah) (Lehrer et al., 2009; Kim et

al., 2005, 2006; Giesemann et al., 2008). hBD2 bersifat mikrobisida terhadap

Pseudomonas aeruginosa, *E. coli* dan *Candida albicans*, tetapi juga bersifat

bakteriostatik terhadap *S. aureus* (Harder et al., 1997, 2000). hBD-2 dapat juga

diinduksi oleh beberapa bakteri lainnya, yaitu *Campylobacter jejuni* dan *H. pylori*

(Wada et al., 1999; Zilbauer et al., 2005). HBD4 bersifat bakterisida terhadap

Staphylococcus, *P. aeruginosa*, dan yeast (García et al., 2001)

Defensin dan agen antimikroba usus lainnya sangat penting dalam

perlindungan lini pertama terhadap banyak patogen diare. Glikoprotein musin

dan peptida antimikroba adalah komponen utama dari sawar mukosa, dan

terbukti membentuk perlindungan yang efektif terhadap sebagian besar mikroba

(Sperandio et al., 2015). Kebanyakan *defensin* manusia memiliki aktivitas

bakterisidal spektrum luas dan membunuh pada konsentrasi mikromolar

(Underwood & Bevins, 2010). Aktivitas antimikroba *defensin* diperkirakan

memiliki 2 fungsi utama, yaitu melindungi host dari mikroba ij patogen dan

mengatur komposisi mikrobiota komensal yang berkoloniasi di permukaan sel

host sehingga membantu memproteksi pemukaan mukosa dari kemungkinan

terjadinya kolonisasi bakteri patogen (Salzman et al., 2007, 2010)

Defensin juga dapat menjembatani imunitas bawaan (innate) dan adaptif.

Beberapa *defensin* memiliki aktivitas proinflamasi karena mereka merangsang

ekspresi sitokin (misalnya, interleukin 6 [IL-6]) dan kemokin. Namun, terdapat

juga *defensin* lain yang bertindak sebagai kemoatraktan untuk sel dendritik,

neutrofil, sel T memori, dan sel mast (Yang et al., 2007). Sebagai bentuk dari

respon imun innate beta *defensin* dihasilkan oleh sel epitel enterosit yang

diproduksi dalam bentuk cairan mukosa usus berisi petida antimikroba lainnya

seperti laktoperin dan cathelicidin. Sebagai respon imun adaptive, beta *defensin*

diinduksi oleh IL-17 (Salzman et. al., 2010)

Terlepas dari berbagai karakteristik positif, salah satu kelemahan utama

dari banyak *defensin* terdiri dari penargetan yang rendah sehingga mencegah

pelekatkan bebas peptida ke permukaan yang kaya lipid dari dinding sel bakteri

dan karena itu mengurangi efek antimikroba (Selsted, 2004; Grishin & Sokolov,

2014).

2.7. Ligated Ileal Loop

2.7.1. Definisi Ligated Ileal Loop

Metode *Ligated Ileal Loop* adalah metode yang digunakan untuk mempelajari patofisiologi diare dan untuk mengevaluasi terapi antidiare. Metode dilakukan dengan cara mengambil segmen usus dari hewan coba lalu diligasi untuk selanjutnya diinokulasikan supernatan bakteri pada segmen usus tersebut.

Metode ini awalnya ditemukan oleh Hauschild (Hauschild *et al.*, 1967). Pada penelitian Hauschild ditemukan bahwa segmen usus domba yang telah diligasi lalu diinjeksi dengan suspensi *Clostridium perfringens* dengan air akan terjadi akumulasi cairan pada usus tersebut yang serupa dengan produksi diare oleh kelompok domba hidup yang diinfeksi dengan *Clostridium perfringens* secara oral dan intraduodenal (Hauschild *et al.*, 1968).

2.7.2. Metode Ligated Ileal Loop dengan *Vibrio cholerae*

Selanjutnya setelah ditemukan metode *ligated ileal loop* pada domba tersebut, studi dikembangkan oleh peneliti lain yaitu dengan menggunakan metode ini pada usus kelinci yang diligasi lalu diinjeksi *Clostridium perfringens* (Duncan *et al.*, 1968). Pada tahun 1969, studi mengenai *ligated ileal loop* dilakukan untuk mengetahui reaksi akumulasi cairan oleh beberapa hewan coba terhadap inokulasi *Vibrio cholerae* dan toksin *Vibrio cholerae* (Basu & Pickett, 1969). Dari semua hewan coba yang ada, dilakukan inokulasi *Vibrio cholerae* 569B pada segmen usus sepanjang 10 cm. Hasil dari percobaan tersebut ditemukan bahwa semua hewan coba menimbulkan akumulasi cairan bila diinfeksi dengan *Vibrio cholerae* utuh seperti terlihat pada tabel...

Tabel 2.6. Reaksi ileal Loop Hewan Coba terhadap *Vibrio cholerae* 569B (Basu & Pickett, 1969).

Animal	Dose	Fluid (ml/cm) ^a		Vibrios per ml
		Experimental	Control	
Gerbil	1×10^6	0.25 ^b	<0.05	6×10^8
Rat	1×10^6	0.30	<0.05	6×10^8
Hamster	1×10^6	0.40	<0.05	8×10^8
Guinea pig	1×10^6	0.50	<0.05	8×10^8
Chinchilla	1×10^6	0.70	<0.05	8×10^8
Cat	1×10^7	1.30	0.05	7×10^8
Mouse	5×10^7	0.10	<0.05	6×10^8

Selain itu, Basu dan Pickett juga melakukan percobaan pemberian *crude*

toxin Vibrio cholerae pada beberapa hewan seperti *gerbil*, kelinci, hamster,

marmut, *chinchilla*, kucing, dan mencit. Dari pemberian *crude toxin Vibrio cholerae* didapatkan akumulasi cairan seperti pada tabel 2.7.

Tabel 2.7. Reaksi ileal Loop Hewan Coba terhadap *crude toxin Vibrio cholerae* (Basu & Pickett, 1969).

Animal	Dose (loop units)	Fluid (ml/cm)	
		Experi- mental	Control
Gerbil	0.25	0.20	<0.05
Rat	0.50	0.30	<0.05
Hamster	0.50	0.30	<0.05
Guinea pig	0.50	0.45	<0.05
Chinchilla	0.50	0.80	<0.05
Cat	5	1.50	0.05
Mouse	5	0.10	<0.05

Model mencit dewasa telah dikembangkan dalam melakukan penelitian

eksperimental kolera baik pada segmen loop usus yang diligasi maupun usus

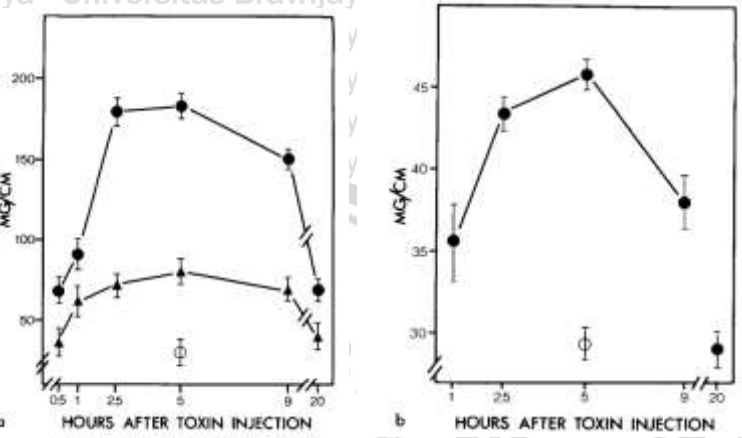
utuh tanpa diligasi. Mencit dari turunan strain yang berbeda memiliki variasi

kerentanan usus terhadap toksin yang berbeda juga. Tikus C57B adalah strain

yang paling sentiv ketika diuji dengan toksin kolera (Lange & Holmgren, 1978).

Pada usus mencit C57B yang diligasi lalu diberikan toksin dari *Vibrio cholerae*, terjadi akumulasi cairan dimulai dalam 1 jam setelah inokulasi toksin dan





Gambar 2.12. Peningkatan massa usus yang dilakukan induksi toksin *Vibrio cholerae* dengan metode MLIL (Lange & Holmgren, 1978) . a. Peningkatan massa usus yang ditimbulkan oleh *crude toxin* sebanyak 25 mg (●) dan 3 mg (▲). b. Peningkatan massa usus yang ditimbulkan oleh *crude toxin* sebanyak 100 mg.

2.7.3. Mice Ligated Ileal Loop MLIL oleh Sumarno et. al.

Pada penelitian-penelitian mengenai *ligated ileal loop* yang telah ada,

segmen usus yang telah diligasi lalu diinfeksi dengan toksin atau bakteri

dimasukkan kembali ke dalam usus mencit, lalu mencit dibiarkan hidup hingga

menimbulkan manifestasi diare. Hal tersebut tentunya akan menyiksa mencit dan

kurang etis terhadap mencit. Pada tahun 2011, Sumarno et. al. menciptakan

metode *mice ligated ileal loop* (MLIL) yang berbeda. Pada metode MLIL tersebut

mencit dikorbankan (dimatikan) untuk dibedah dan diambil segmen ususnya.

Selanjutnya mencit diinokulasikan dengan bakteri yang akan diuji cobakan.

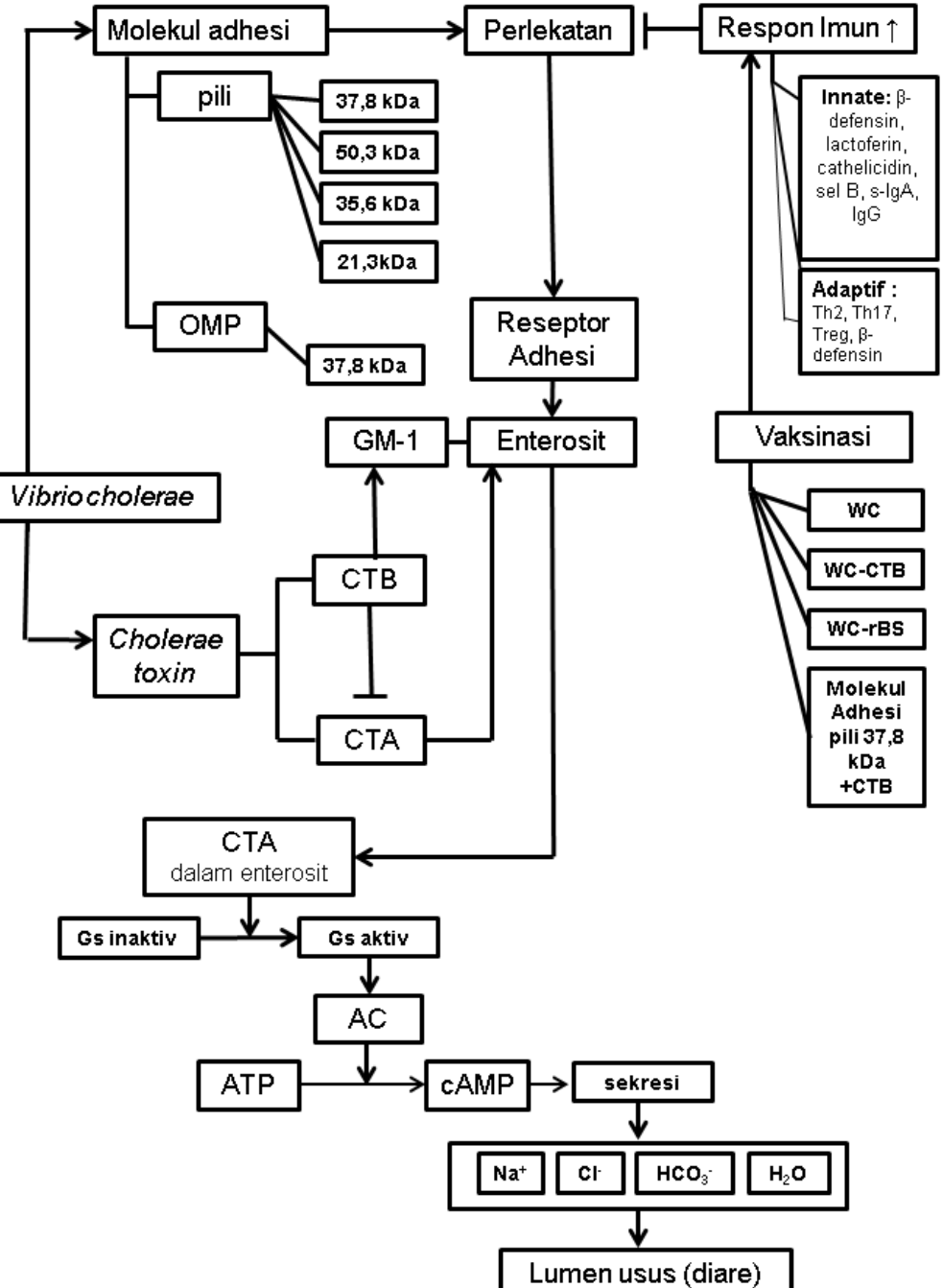
Selanjutnya segmen usus yang ada dimasukkan ke media RPMI yang fisiologis

dengan keadaan dalam usus mencit ketika masih hidup dan dinilai efek dari

bakteri dalam menaikkan massa usus mencit (Sumarno et. al., 2011).

2.8. Kerangka Teori dan Deskripsi Kerangka Teori

2.8.1 Kerangka Teori



Gambar 2.13. Bagan Kerangka Teori

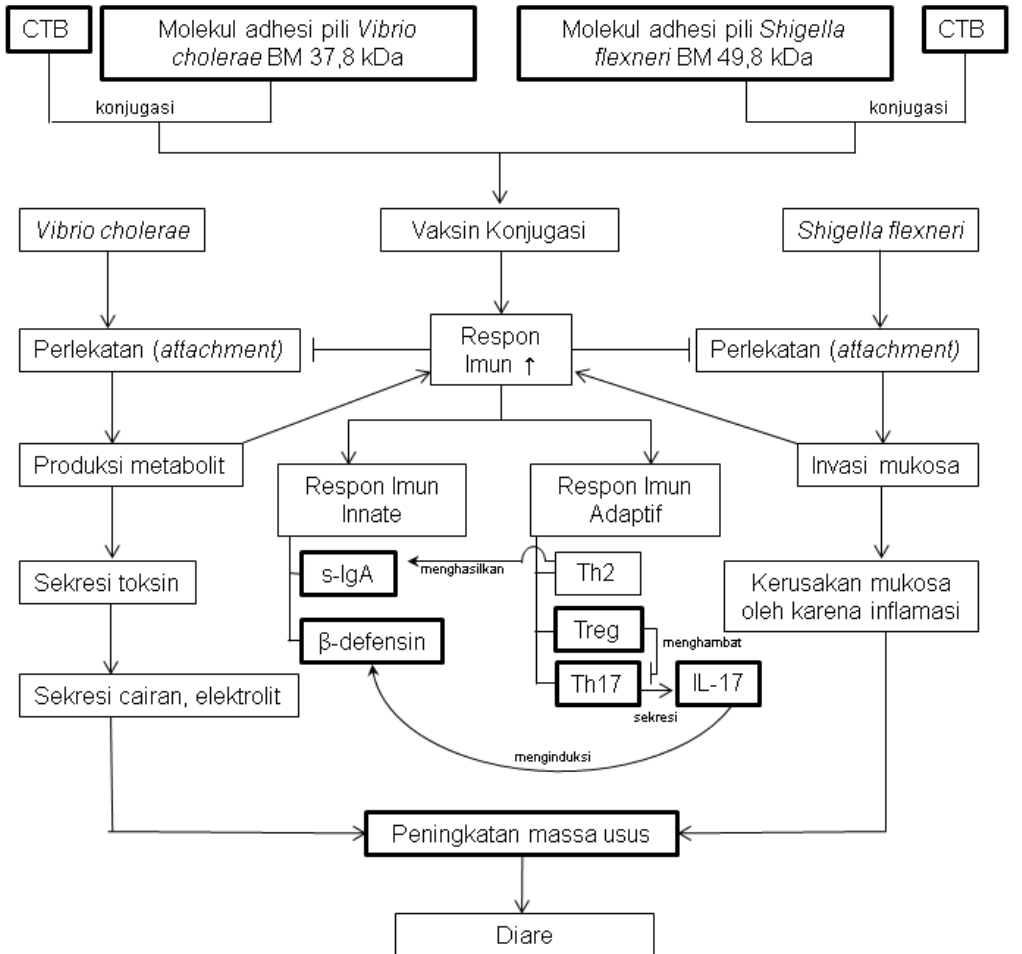
2.8.2. Deskripsi Kerangka Teori

Vibrio cholerae memiliki komponen permukaan, yaitu pili dan OMP yang berperan dalam proses *attachment* pada patogenesis *Vibrio cholerae*. Protein yang berperan tersebut dinamakan molekul adhesi, yang bertugas untuk mengikat molekul reseptor. Adapun molekul adhesi yang telah ditemukan adalah OMP BM 37,8 kDa; pili BM 50,3 kDa; pili BM 37,8 kDa; pili BM 35,6 kDa; dan pili BM 21,3 kDa. *Vibrio cholerae* memproduksi *cholerae toxin* (CT) yang terdiri dari *cholerae toxin A* (CTA) dan *cholerae toxin B* (CTB). CTA merupakan toxin *toxigenic*, sedangkan CTB memiliki peran untuk mengikat *galnglioside GM1* pada entrosit yang memfasilitasi masuknya CTA. CTA selanjutnya mengubah protein regulasi Gs inaktiv menjadi aktiv. Aktivasi ini mengaktifkan enzim *adenylat cyclase* (AC). AC mengubah *adenosine triphosphat* (ATP) menjadi *cyclic adenosine monophosphate* (cAMP). Akumulasi cAMP menyebabkan sekresi dari Na^+ , Cl^- , HCO_3^- , dan air (H_2O) ke lumen usus sehingga terjadi diare berair (*waterry diarrhea*).

Adanya vaksinasi menginduksi respon imun innate berupa β -defensin, laktoperin, *cathelicidin*, dll serta respon imun adaptif berupa sel B, plasma, s-IgA dan IgG meningkat. Respon imun yang meningkat menghambat terjadinya patogenesis diare yang diakibatkan oleh *Vibrio cholerae*. Adapun vaksinasi yang pernah diteliti dan terbukti meningkatkan respon imun yaitu Sanchol (WC), Dukoral (WC-rBS), whole cell dengan CTB yang bukan hasil rekombinasi (WC-CTB), dan vaksinasi dari Sumarno *et. al.* (2011) konjugasi antara molekul adhesi pili *Vibrio cholerae* BM 37,8 kDa dengan CTB.

KERANGKA KONSEP DAN HIPOTESIS PENELITIAN

3.1. Kerangka *Grand Desain* Penelitian



Gambar 3. 1. Bagan Kerangka Konsep *Grand Design* Penelitian

Keterangan Gambar :

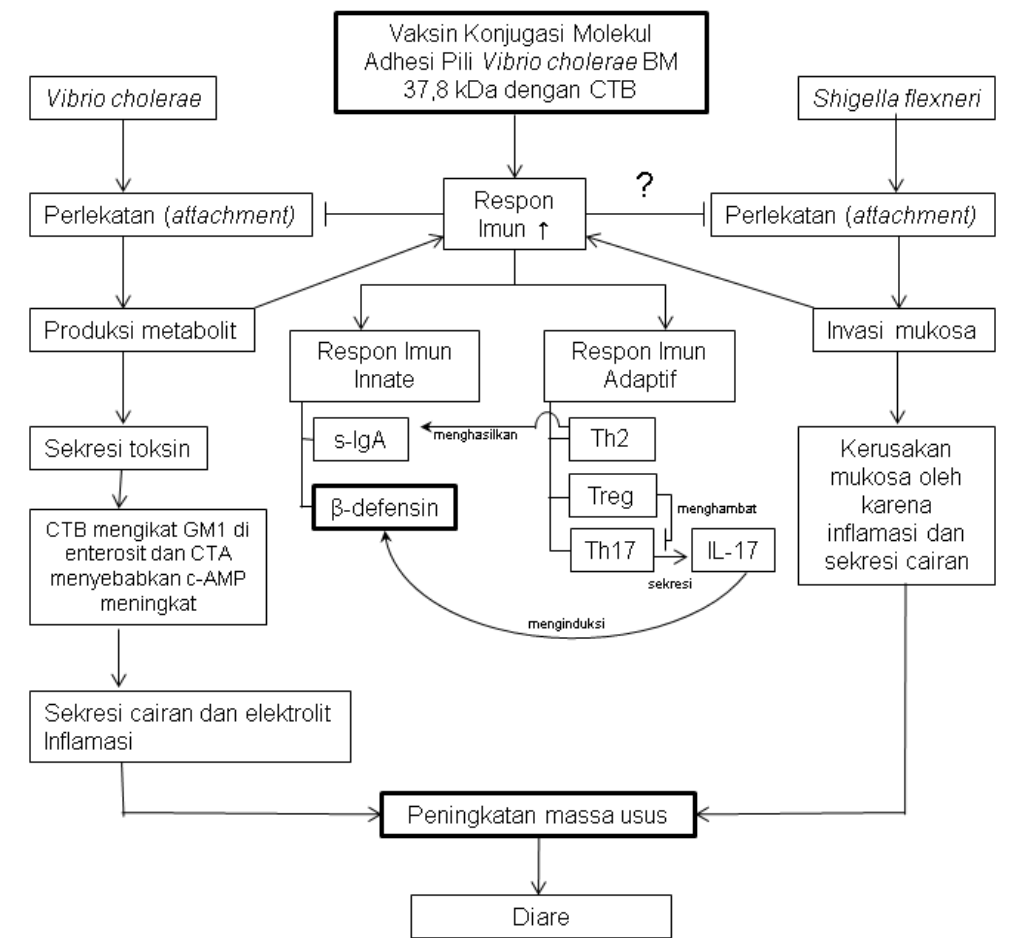
→ : mempengaruhi

: variabel yang tidak diteliti

— : menghambat

: variabel yang diteliti

3.2. Kerangka Konsep Desain Penelitian secara Khusus



Gambar 3. 2. Bagan Kerangka Konsep Penelitian

Keterangan Gambar :

→ : mempengaruhi

: variabel yang tidak diteliti

— | — : menghambat

: variabel yang diteliti

3.3. Deskripsi Kerangka Konsep

Vibrio cholerae dan *Shigella flexneri* memiliki molekul adhesi yang

berfungsi dalam tahap awal pada proses attachment (perlekatan bakteri pada

enterosit usus halus pada *Vibrio cholerae* dan kolon pada *Shigella flexneri*).

Molekul adhesi *Vibrio cholerae* adalah subuni pili dengan berat molekul (BM)

37,8 kDa (Sumarno et al., 2011) dan molekul adhesi *Shigella flexneri* adalah

subunit pili dengan berat molekul (BM) 49,8 kDa (Khoirul et al., 2016). Molekul

adhesi merupakan molekul yang berperan pada tahap awal patogenesis yang

berperan dalam proses perlekatan kepada reseptor di enterosit. Diketahui

molekul adhesi pili *Vibrio cholerae* BM 37,8 kDa dan molekul adhesi pili *Shigella*

flexneri adalah BM 49,8 kDa sama-sama merupakan molekul adhesi yang

berperan dalam proses perlekatan (Sumarno et al., 2011; Khoirul et al., 2016)

dan diketahui bahwa terdapat reaksi silang antigenik antara komponen

permukaan *Vibrio cholerae* O1, *Shigella flexneri* 2a dan *Haemophilus influenzae*

b (Rabbi et al., 2008). Molekul adhesi pili *Vibrio cholerae* BM 37,8 kDa bila

dikonjugasikan dengan CTB maka dapat menginduksi respon imun berupa s-IgA

dan menghambat sekresi cairan (ditandai dengan turunnya massa usus) pada

usus mencit yang diinfeksi *Vibrio cholerae* dengan metode MLIL (Sumarno et al.,

2011). Sehingga peneliti menduga dengan adanya vaksinasi pili *Vibrio cholerae*

BM 37,8 kDa yang dikonjugasikan dengan CTB maka kemungkinan selain dapat

menurunkan massa usus mencit yang diinfeksi *Vibrio cholerae* juga dapat

menurunkan massa usus yang diinfeksi *Shigella flexneri*.

Setelah proses perlekatan oleh molekul adhesi patogenesis dilanjutkan.

Pada *Shigella flexneri* patogenesis dilanjutkan dengan invasi mukosa usus, lalu

Shigella flexneri akan membentuk kolonisasi sehingga terjadilah inflamasi yang

menyebabkan kerusakan jaringan dan terjadilah *bloody diarrhea*. Sedangkan

pada *Vibrio cholerae*, patogenesis dilanjutkan dengan sekresi toksin. Toksin

akan menyebabkan peningkatan c-AMP (*cyclic adenosine monophosphate*)

sehingga menghasilkan sekresi dari cairan dan elektrolit ke lumen usus

menyebabkan terjadinya *wattery diarrhea* (patogenesis lengkap terdapat pada

gambar 2.9. Kerangka Teori). Toksin yang dihasilkan oleh *Vibrio cholerae* adalah

cholerae toxin yang terdiri dari sub-unit A (CTA) dan sub-unit B (CTB). CTA

merupakan bentuk aktiv dari subunit yang memiliki peran dalam patogenesis

terjadinya penyakit kolera. CTB merupakan subunit yang berperan untuk

mengikat enterosit (dijelaskan lebih lanjut pada Gambar 2.9 Kerangka Teori).

CTB juga dapat berperan sebagai adjuvan bagi molekul adhesi. Molekul adhesi

dan CTB dikonjugasikan untuk dijadikan vaksin. Vaksin akan meningkatkan

respon imun inang yang dapat menginhibisi progresifitas diare yang disebabkan

oleh *Vibrio cholerae* dan *Shigella flexneri* dengan cara menghambat proses

perlekatan kedua bakteri tersebut pada enterosit. Respon imun yang diinduksi

yaitu efektor respon imun berupa Th2, Th17, dan Treg. Th2 memiliki peran untuk

menghasilkan s-IgA yang fungsinya untuk mengikat patogen sehingga tidak

dapat berikatan dengan enterosit. Th17 memiliki peran dalam melawan patogen

pada mukosa usus dengan induksi inflamasi. Th17 menghasilkan sitokin IL-17

dan menginduksi produksi β -defensin oleh enterosit. β -defensin merupakan

respon imun innate non-spesifik yang berperan dalam mengeradikasi patogen

apapun yang masuk ke enterosit. Selain itu, tubuh juga memiliki mekanisme

regulator yang mencegah aktivitas berlebihan dari Th17 sehingga tidak muncul

respon imun berlebihan yang dapat merusak jaringan inang. Semua respon imun

ini berperan dalam menghambat proses perlekatan dari bakteri *Shigella flexneri*

maupun *Vibrio cholerae* sehingga kedua bakteri tersebut tidak dapat menginfeksi enterosit

Harapannya dengan adanya pemberian vaksinasi berupa molekul adhesi

pili *Vibrio cholerae* BM 37,8 kDa yang dikonjugasikan dengan CTB, akan dapat meningkatkan produksi respon imun innate yang dapat mengeradikasi berbagai

patogen yang masuk ke enterosit sehingga tidak hanya mengeradikasi bakteri

Vibrio cholerae namun juga mengeradikasi *Shigella flexneri* sehingga diare tidak

terjadi. Parameter yang akan diukur untuk mengetahui efek vaksinasi ini dalam

menghambat diare adalah massa usus dan parameter yang akan diukur untuk

mengetahui respon imun innate adalah β -defensin. Dengan adanya vaksinasi,

maka diharapkan adanya peningkatan respon imun innate (β -defensin) dan

berkurangnya diare yang ditandai dengan adanya reduksi cairan sehingga berat

usus menurun.

3.4. Hipotesis

3.4.1. Vaksinasi oleh molekul adhesi pada pili *Vibrio cholera* dengan berat molekul 37,8 kDa yang dikonjugasikan dengan CTB dapat meningkatkan kadar β -defensin pada mencit

3.4.2. Vaksinasi oleh molekul adhesi pada pili *Vibrio cholerae* dengan berat molekul 37,8 kDa yang dikonjugasikan dengan CTB dapat menurunkan massa usus (menghambat progresifitas keluarnya cairan) pada mencit yang diinfeksi *Vibrio cholerae* dan *Shigella flexneri*.

4.1. Rancangan Penelitian

Penelitian ini menggunakan desain eksperimen murni (*true experimental design*). Penelitian menggunakan rancangan *Randomized Post Test Only Control*.

Group Design. Penelitian menggunakan mencit balb/c. Dipilihnya mencit balb/c

sebagai hewan coba adalah karena mudah untuk dikembangbiakkan dan merupakan mencit yang baik untuk produksi antibodi monoklonal (Nguyen *et al.*,

2015; Sawasvirojwong *et al.*, 2013). Selain itu hewan coba mencit juga relatif lebih murah dibandingkan dengan hewan coba lainnya. Mencit yang digunakan pada setiap kelompok dipilih dengan cara randomisasi sederhana.

Penelitian dilakukan secara *in vivo* untuk parameter β -defensin. Untuk parameter β -defensin mencit balb/c dikelompokkan ke dalam 2 kelompok yaitu kelompok kontrol dan kelompok vaksinasi (tabel 4.1). Kelompok kontrol terdiri dari 15 subjek dan kelompok vaksinasi terdiri dari 10 subjek. Setelah tikus dibedah, dilakukan *scrapping* mukosa usus untuk pengukuran kadar β -defensin.

Selanjutnya, penelitian dilakukan secara *ex vivo* untuk parameter massa usus yang mana usus mencit balb/c dikelompokkan ke dalam 5 kelompok. 5 kelompok tersebut berasal dari kelompok kontrol dan kelompok vaksinasi yang digunakan pada parameter β -defensin. Kelompok kontrol dibagi menjadi 3 yang terdiri dari kelompok kontrol negatif (KN), kelompok kontrol positif shigella (KPS),

dan kelompok kontrol positif vibrio (KPV). Kelompok vaksinasi dibagi menjadi 2 kelompok yaitu kelompok vaksinasi vibrio infeksi shigella (VVS) dan kelompok vaksinasi vibrio infeksi vibrio (VVV) (tabel 4.1.). Masing-masing kelompok

berjumlah 5 subjek. Setelah dilakukan MLIL, peningkatan atau penurunan massa usus ditimbang.

4.2. Populasi dan Jumlah Subjek

Populasi yang digunakan dalam penelitian ini adalah mencit balib/c dengan usia kurang lebih 6-8 minggu dengan berat 20-30 gram. Mencit yang dimasukkan dalam penelitian adalah mencit jantan yang sehat, bergerak aktif, mau makan dengan baik, dan tidak terdapat kelainan anatomis.

Perhitungan pengulangan sampel menggunakan rumus Federer (1963)

dalam (Wahyuni, 2008) adalah sebagai berikut :

$$(p - 1)(n - 1) \geq 15$$

p : jumlah perlakuan, n : jumlah pengulangan

Adapun rumus perhitungan sampel pada penelitian ini dihitung adalah

sebagai berikut:

$$(5 - 1)(n - 1) \geq 15$$

$$4n - 4 \geq 15$$

$$4n \geq 19$$

$$n \geq 4,75$$

Untuk setiap perlakuan dilakukan 5 kali pengulangan sehingga total sampel yang dibutuhkan adalah 25 ekor mencit. Penelitian ini telah mendapat keterangan kelaikan etik dari Komisi Etik Universitas Brawijaya oleh proposal yang berjudul "Reaksi Silang Respons Imun antara Molekul adhesin *Shigella* dan *Vibrio cholerae*" No. 44/EC/KEPK-S2/03/2018 tanggal 16 Maret 2018 (Lampiran 1).

Tabel 4.1. Jumlah sampel di tiap perlakuan.

Kelompok	Kelompok Post Infeksi	n	Induksi dan Perlakuan
Kontrol (n=15)	Kontrol Negatif (KN)	5	Tidak diberi vaksin molekul adhesin maupun <i>Shigella flexneri</i>
	Kontrol Positif Infeksi <i>Shigella flexneri</i> (KPS)	5	Tidak diberi vaksin molekul adhesin dan diinfeksi dengan 10^6 CFU/mL <i>Shigella flexneri</i>
	Kontrol Positif Infeksi <i>Vibrio cholera</i> (KPV)	5	Tidak diberi vaksin molekul adhesin dan diinfeksi dengan 10^6 CFU/mL <i>Vibrio cholerae</i>
Vaksinasi (n=10)	Vaksinasi <i>Vibrio</i> Infeksi <i>Shigella flexneri</i> (VVS)	5	Diberikan vaksin molekul adhesin <i>Vibrio cholerae</i> dan diinfeksi 10^6 CFU/mL <i>Vibrio cholerae</i>
	Vaksinasi <i>Vibrio</i> Infeksi <i>Vibrio cholerae</i> (VVV)	5	Diberikan vaksin molekul adhesin <i>Vibrio cholerae</i> dan diinfeksi 10^6 CFU/mL <i>Shigella flexneri</i>

4.3. Lokasi dan Waktu Penelitian

Penelitian ini dilakukan di Laboratorium Sentral Ilmu Hayati, Laboratorium

Mikrobiologi FKUB, Laboratorium Biomedik FKUB, dan Laboratorium Parasit

FKUB. Perawatan tikus selama penelitian dilakukan di Laboratorium Parasit

FKUB. Pembedahan tikus dilakukan di Laboratorium Mikrobiologi FKUB.

Pengukuran β -defensin dilakukan di Laboratorium Biomedik FKUB. Pengukuran

massa usus dilakukan di Laboratorium Mikrobiologi FKUB. Waktu penelitian

dilaksanakan mulai sekitar bulan November sampai dengan Oktober 2018.

Kemudian dilakukan analisis data sesuai dengan parameter yang ditentukan.

4.4. Variabel Penelitian

4.4.1. Variabel Bebas

Variabel bebas dalam penelitian ini adalah molekul adhesi *Vibrio*

cholerae dengan berat molekul 37,8 kDa yang dikonjugasi dengan CTB.

4.4.2. Variabel Terikat

Variabel terikat dalam penelitian ini adalah kadar protein β -defensin mukosa usus dan massa usus mencit.

4.5. Definisi Operasional

4.5.1. Mencit Balb/c:

Mencit jantan spesies *mus musculus* galur B albino *clone* (Balb/c) jantan berumur kurang lebih 6-8 minggu dengan berat badan kurang lebih 20-30 gram. Mencit balb/c dirawat pada kandang berukuran 40x30x20 cm dilengkapi dengan alat minum mencit. Setiap harinya mencit diberi pakan standar untuk mencit. Mencit dirawat di Laboratorium Parasitologi FKUB. Penelitian ini telah mendapat keterangan kelaikan etik dari Komisi Etik Universitas Brawijaya.

4.5.2. Bakteri *Vibrio cholerae* 01 :

diperoleh dari laboratorium Mikrobiologi Fakultas Kedokteran Universitas Brawijaya Malang, kemudian dikultur pada media TCBS. Bakteri lalu dipanen untuk kemudian diinjeksikan pada metode MLIL pada kelompok KPV dan VVV. Selain itu, pili bakteri dipotong lalu pili ditanam pada media TCG untuk memperkaya pili. Pili yang selanjutnya diambil adalah protein adhesi dengan berat molekul 37,8 kDa.

4.5.3. Bakteri *Shigella flexneri*:

diperoleh dari laboratorium Mikrobiologi Fakultas Kedokteran Universitas Brawijaya Malang, kemudian dikultur pada media SSA. Bakteri lalu dipanen untuk kemudian diinjeksikan pada metode MLIL pada kelompok KPS dan VVS.

4.5.4. Vaksin konjugasi :

adalah vaksin yang mengandung gabungan antigen lemah dengan antigen kuat. Antigen lemah berasal dari polisakarida

bakteri. Antigen kuat adalah protein yang berfungsi sebagai carrier yang dapat meningkatkan respon imun yang kuat dari host. Dengan adanya penggabungan antigen lemah dan antigen kuat, maka respon imun yang muncul terhadap antigen lemah jauh lebih kuat. Antigen lemah pada penelitian ini adalah molekul adhesi pili *Vibrio cholerae* dengan berat molekul 37,8 kDa. Antigen kuat pada penelitian ini adalah *cholerae toxin subunit B* (CTB). Proses penggabungan kedua protein ini manganut pada penelitian oleh Sumarno *et. al.* (2011).

4.5.5. Protein adhesi pili 37,8 kDa: Protein yang diisolasi dari subunit pili *V.cholerae* O1. *V.cholerae* O1 dilakukan pemotongan pili dengan menggunakan *pili cutter* di laboratorium Biomedik FKUB. Berat molekul protein adhesi didetksi melalui SDS-PAGE, lalu dilakukan proses elektroelusi dan dialisis setelah untuk mendapatkan pili yang siap dikonjugasikan dengan CTB.

4.5.6. CTB : adalah *cholerae toxin subunit B*. CTB berperan dalam mengikat ganglioside GM1 pada enterosit sehingga memfasilitasi molekul adhesi agar berikatan kuat dengan enterosit. CTB diperoleh dari *Elabscience*. CTB pada penelitian ini digunakan untuk dikonjugasikan dengan molekul adhesi.

4.5.7. Vaksinasi konjugasi protein adhesi dengan CTB: Vaksin berasal dari hasil isolasi protein pili *Vibrio cholerae* dengan berat molekul 37,8 kDa yang ditambahkan dengan adjuvan berupa CTB. Proses konjugasinya membutuhkan 8 mg protein dalam 1,5 ml PBS dan CTB 0,230 mg dalam 1,5 ml PBS. Adapun dosis yang diberikan untuk vaksinasi adalah 250 µg.

sesuai dengan penelitian Sumarno *et. al.* (2011). Vaksinasi diberikan

secara peroral pada mencit pada hari ke 7, 14, 21, dan 28.

4.5.8. β -defensin: merupakan peptida antimikroba bersifat bakterisidal dan kemoatraktan yang dihasilkan oleh sel epitel enterosit akibat rekognisi terhadap molekul patogen. Pengukuran kadar β -defensin dilakukan dengan metode sandwich ELISA di Laboratorium Biomedik. KIT ELISA yang digunakan saat penelitian berasal dari MyBioSource. Sampel berasal dari sampel sekret usus mencit yang diambil pasca pembedahan pada hari ke-35 penelitian. Hasil dari pengukuran kadar β -defensin dicatat dengan satuan ng/mL.

4.5.9. Massa Usus : Massa usus adalah massa dari usus mencit balb/c yang diukur pasca pembedahan di Laboratorium Mikrobiologi FKUB. Usus diperoleh setelah dilakukan pembedahan mencit pada hari ke-35 penelitian. Setelah pembedahan, usus mencit dipotong 4 cm distal dan 4cm proksimal untuk kemudian diligasi di kedua ujungnya. Masing-masing kelompok dilakukan injeksi bakteri sesuai dengan metode MLIL oleh Sumarno *et. al.* (2011) pada usus sepanjang 4cm. Usus kemudian ditimbang secara serial dengan menggunakan timbangan digital dan hasil dicatat dalam satuan gram.

4.5.10. Metode MLIL: Merupakan metode *mice ligated ileal loop* dari Sumarno *et. al.* (2011). Usus mencit yang telah diligasi diinokulasikan dengan bakteri *Vibrio cholerae* dan *Shigella flexneri* sebanyak 10^6 paska pembedahan sehingga tidak menyiksa mencit. Selanjutnya usus diletakkan dalam media RPMI untuk diinkubasi selama 1 jam. Sembari diinkubasi, massa usus mencit dilakukan penimbangan serial.

Meningkatnya massa usus menandakan terjadinya akunulasi cairan pada

lumen usus atau inflamasi pada sel enterosit usus. Menurunnya massa

usus menandakan berkurangnya akumulasi cairan pada lumen usus atau

meredanya inflamasi pada enterosit usus

4.6. Alat dan Bahan Penelitian

4.6.1. Perawatan Hewan Coba

Alat yang diperlukan untuk merawat hewan coba adalah kandang

berukuran 40x30x20 cm, tutup kandang, dan botol minum mencit. Bahan

yang diperlukan adalah pakan standar mencit, air, dan sekam.

4.6.2. Kultur Bakteri *Shigella flexneri*

Alat yang digunakan adalah *plate agar*, *scrapper*, botol, *handscoen*, *water bath*, dan *inkubator*. Bahan yang digunakan adalah agar Mac-Conkey agar, *Salmonella-shigella* agar, phosphate-buffered saline (PBS) (pH 7.4), dan medium *Salmonella-shigella* agar (SSA).

Bakteri yang dikultur berasal dari Laboratorium Mikrobiologi Fakultas Kedokteran Universitas Brawijaya Malang.

4.6.3. Kultur Bakteri *Vibrio Cholerae*

Alat yang digunakan adalah *plate agar*, *scrapper*, botol, *water bath*, *handscoen*, dan *inkubator*. Bahan yang digunakan adalah Medium *Thiosulfate-citrate-bile salts-sucrose* (TCBS) agar, PBS, *brain heart infusion broth* (BHI), medium TCG yang terdiri atas 0,02% thioproline, 0,3% NaHCO₃, 0,1% monosodium L-glutamat, 1% bactoerptone, 0,2% yeast extract, 0,5% NaCl, 2% bacto agar dan 1mM β-amino ethyl ether – N,N,N,”n”-tetra acetic acid (EGTA). Bakteri yang dikultur berasal dari

Laboratorium Mikrobiologi Fakultas Kedokteran Universitas Brawijaya Malang.

4.6.4. Isolasi Protein Pili *Vibrio cholerae*

Alat yang dibutuhkan untuk isolasi protein pili botol roux, pili cutter, sentrifugator, tabung wadah pili, vortex, dan refrigerator 4°C. Bahan yang dibutuhkan untuk isolasi protein pili adalah hasil kultur bakteri *Vibrio cholerae* O1, tri chlor acetic acid (TCA), PBS pH 7,4.

4.6.5. SDS PAGE

Alat yang diperlukan adalah *electrophoresis chamber and gel casting kit* dan alat untuk *scanning* berupa *Doc EZ Imager*. Bahan sampel yang digunakan supernatant pili bakteri *V. Cholerae* yang dicampur dengan *Reducing Sample Buffer* (RSB). Bahan yang digunakan untuk membuat *separating gel* adalah 2,5 ml 1,5 M Tris HCl pH 8,8; 3,4 ml DD H₂O; 4,0 ml acrylamide 30%; 0,1 ml 100% w/v SDS; 50 µl *amonium persulfate* (APS) 10%; dan 5 µl TEMED. Bahan yang digunakan untuk membuat *stacking gel* adalah 1,25 ml 1,5 M Tris HCl pH 8,8; 3,1 ml DD H₂O; 0,65 ml acrylamide 30%; 0,05 ml 100% w/v SDS; 25µl *amonium persulfate* (APS) 10%; dan 2,5 µl TEMED. Bahan yang digunakan untuk *running gel* adalah 10 µl protein marker/well. Bahan yang digunakan untuk pewarnaan adalah *staining buffer (comassie blue)* dan *de-staining buffer*.

4.6.6. Elektroelusi dan Dialisis

Alat yang digunakan adalah cawan petri, *chamber elektroelusi*, kantong selofan, *stirrer*, *centrifugator*, gelas beker, tabung eppendorf,



nanolop, jepit, *handscoons*, dan pendingin. Bahan yang digunakan

adalah ddH₂O, EDTA, 5% Na₂CO₃, Akuades steril, PBS steril, ethanol

absolut, *comassie blue*, *destaining*, Tris-Cl, dan gel yang sudah dipotong

tepat pada berat molekul 37,8 kDa

Universitas Brawijaya

4.6.7. Konjugasi Vaksin dan Pemberian Vaksinas

Alat yang diperlukan adalah mikropipet, lemari asam, lemari es,

tabung eppendorf, stirrer, inkubator. Bahan yang diperlukan adalah

protein adhesi dengan berat molekul 37,8 kDa, *cholerae toxin B* (CTB),

PBS, glutaraldehid 2%, glycine pH 7,2.

4.6.8. Pembedahan Mencit dan MLIL

Alat dan bahan yang diperlukan adalah gunting bedah, pinset ,

jarum pentul, steroform, penggaris, kertas label, termos es, kapas, wadah

plastik + tutup. Bahan yang diperlukan adalah mencit balb/c, PBS,

kloroform 20 ml, formalin 10% 200 ml, alcohol, shaker, RPMI, bakteri

Vibrio cholerae O1, bakteri *Shigella flexneri* sebanyak 10⁶ CFU per mL.

4.6.9. Pengukuran β-defensin dengan Metode ELISA

Alat yang digunakan adalah micropipete *single channel* dan

multichannel, handscoons, vortex mixer, alumunium foil, *pre-coated ELISA*

plate (96-well), *plate sealer*, tabung eppendorf, rak tabung eppendorf,

microplate reader, spatel, dan zipper bag. Bahan yang digunakan adalah

sekret hasil scrapping dari usus mencit, *standard solution* (320ng/mL),

standard diluent, streptavidin-HRP, *stop solution*, *substrate solution A*,

substrate solution B, *wash buffer concentrate* (25x), *biotinylated mouse β-*

DF antibody, *mouse β-defensin ELISA KIT* dari MyBioSource.

4.6.10. Pengukuran Massa Usus

Alat yang digunakan adalah gunting jaringan, pinset, benang,

inkubator, spuit 3 cc, shaker, botol 250 mL, jam, alat untuk mencatat, dan

timbangan digital. Bahan yang digunakan adalah usus mencit post

pembedahan, *Vibrio cholerae* O1 sebanyak 10^6 CFU/mL, *Shigella flexneri*

10^6 CFU/mL, Roswell Pack Medium Institute (RPMI), dan PBS,

4.7. Prosedur Penelitian

4.7.1. Perawatan Hewan Coba

Sebelumnya penelitian dilakukan dengan melakukan pengurusan

etik (*ethical clearance*) yang diajukan kepada Komisi Etik Penelitian

Kesehatan Fakultas Kedokteran Universitas Brawijaya. Selanjutnya

setelah mendapat surat kelayakan etik, penelitian dimulai dengan

memesan mencit balb/c.

Setelah mencit balb/c datang, mencit lalu dilakukan aklimatisasi

selama 1 minggu di Laboratorium Parasit Fakultas Kedokteran

Universitas Brawijaya Malang agar mencit siap untuk memasuki proses

penelitian. Setiap hari mencit diberikan pakan berupa pakan mencit

standard yang diganti setiap harinya. Selain itu sekam pada tempat tinggal

mencit diganti setiap tiga hari sekali. Setelah itu mencit dipilih secara

randomisasi sederhana supaya semuanya memiliki kesempatan yang

sama. Mencit dimasukkan ke dalam kelompok sesuai tabel 4.1. Setelah

pemberian vaksinasi selama 28 hari dilakukan pembedahan dan usus



mencit diambil. Sebagian usus dilakukan *scrapping* pada mukosa usus

untuk selanjutnya dilakukan pengukuran kadar β -defensin pada 2

kelompok yaitu kelompok kontrol ($n=15$) dan kelompok vaksinasi ($n=10$).

Selanjutnya sebagian usus lainnya dilakukan metode MLIL yang mana

usus diinfeksi sesuai kelompok pada tabel 4.1. (keterangan lebih

lengkap terdapat pada definisi operasional).

4.7.2. Kultur *Shigella flexneri*

Shigella flexneri yang digunakan pada penelitian ini didapat dari

Laboratorium Mikrobiologi Fakultas Kedokteran Universitas Brawijaya

Malang. *Shigella flexneri* ditanam pada agar *Salmonella-shigella agar*

sebagai media selektif. Bakteri *Shigella flexneri* lalu dipanen dari

Salmonella Shigella agar.

4.7.3. Kultur *Vibrio Cholerae*

Vibrio cholerae yang digunakan pada penelitian ini adalah *vibrio*

cholerae O1 yang berasal dari Laboratorium Mikrobiologi Fakultas

Kedokteran Universitas Brawijaya Malang. *Medium Thiosulfate-citrate-bile*

salts-sucrose (TCBS) agar digunakan sebagai media selektif pada

pertumbuhan *Vibrio cholerae O1*. Bakteri *Vibrio cholerae O1* lalu dipanen

dan dicampurkan dengan PBS steril dengan pH 7,4 sebanyak 10cc.

Suspensi yang terbentuk lalu dikerok dan dituangkan dalam botol yang

sudah terisi BHI lalu diletakkan dalam *waterbath* suhu 37°C, dikocok

selama 30 menit lalu dimasukkan dalam media TCG. *Medium TCG*

digunakan untuk meningkatkan produksi dari pili *Vibrio cholerae*. *Medium*

TCG terdiri dari 0,02% thioproline, 0,3% NaHCO₃, 0,1% monosodium L-

glutamat, 1% bactotryptone, 0,2% yeast extract, 0,5% NaCl, 2% bacto agar

dan 1mM β-amino ethyl ether –N,N,N,”n”-tetra acetic acid (EGTA). Lama

inkubasi kultur dalam medium TCG adalah selama 2 x 24 jam dalam suhu

37°C.

4.7.4. Isolasi Pili *Vibrio cholerae*

- a. Kultur bakteri dikumpulkan dari medium TCG sebanyak 20 botol roux.
- b. Bakteri yang dikumpulkan dari 20 botol roux medium TCG diresuspensi dengan TCA hingga mencapai konsentrasi 3%.
- c. Suspensi dikocok menggunakan vortex selama 30 detik dan didiamkan dalam suhu ruang selama 1 jam.
- d. Pelet bakteri diambil dari hasil sentrifugasi pada kecepatan 6000 rpm selama 10 menit pada suhu 4°C.
- e. Tiga gram dari pelet diresuspensi menggunakan 6 ml PBS pH 7,4 dan supernatant dibuang.
- f. Hasil resuspensi tersebut kemudian ditempatkan pada tabung hasil potongan pili.
- g. Setelah itu dilanjutkan series pemotongan kedua dengan *pili cutter* (Sumarno, 2000) pada kecepatan 10.000 rpm selama 1 menit dalam suhu 4°C.
- h. Isolasi pili bakteri dilanjutkan dengan sentrifugasi suspensi hasil potongan pili pada kecepatan 12,000 rpm selama 30 menit dalam



4.7.5. SDS PAGE

- a. Membuat larutan separating dengan mencampurkan 3.4 ml DD H₂O, 4.0 ml Acrylamide/Bis, 2.5 ml gel buffer (1.5M Tris HCl pH 8.8) dan 0.1 ml 100% w/v SDS, kemudian ditambahkan 50 µl 10% APS dan 5 µl TEMED, divortex.
- b. Menangkan larutan separating ke dalam gel cassette lalu mendiamkan hingga mengeras.
- c. Membuat larutan stacking dengan mencampurkan 3.1 ml DD H₂O, 0.65 ml Acrylamide/Bis, 1.25 ml gel buffer (1.5M Tris HCl pH 6.8) dan 0.05 ml 100% w/v SDS, kemudian ditambahkan 25 µl 10% APS dan 2.5 µl TEMED, divortex.
- d. Menuangkan larutan stacking ke dalam gel cassette yang telah berisi larutan separating. Tambahkan DD H₂O untuk meng-adjust volume.



e. Memasang cetakan (comb) ke dalam gel cassette, tunggu hingga stacking gel mengeras.

f. Melepaskan gel cassette dari gel casting, dan masukkan ke dalam chamber.

g. Menuangkan running buffer hingga gel cassette terendam sempurna. Menambahkan running buffer hingga gel cassette terendam sempurna.

h. Menyiapkan sampel yang akan digunakan (pili *Vibrio cholerae* dengan berat molekul 37,8 kDa).

i. Menambahkan RSB (*Reducing Sample Buffer*) ke dalam sampel dengan perbandingan 1:1 dan memanaskan selama kurang lebih 5 menit untuk mendenaturasi protein.

j. Masukkan 10 µl marker protein ke dalam well. Masukkan sampel ke dalam masing-masing well yang telah tercetak ($\pm 15\text{-}20 \mu\text{l}/\text{well}$).

k. Melakukan *running gel* selama 35 menit dengan tegangan 200v, *constant voltage*. Perhatikan pergerakan marker protein dan *tracking dye* (berwarna biru).

l. Jika *tracking dye* sudah mencapai garis hijau dari gel cassette, proses running dapat dihentikan.

m. Lepaskan gel dari gel cassette secara perlahan. Masukkan ke dalam *staining box*.

n. Menuangkan larutan *staining buffer* hingga gel terendam sempurna. Inkubasi selama ± 4 jam-overnight dalam shaker inkubator. Ganti larutan *staining buffer* dengan larutan *de-staining*

buffer. Inkubasi dalam shaker inkubator hingga pita-pita protein

tampak jelas.

o. Setelah berat molekul dari protein pili berhasil teridentifikasi

menggunakan Doc EZ Imager, pili dengan berat molekul 37,8 kDa

Vibrio cholerae dipurifikasi menggunakan elektroelusi.

4.7.6. Elektroelusi dan Dialisis

4.7.6.1. Elektroelusi

a. Memotong selofan sepanjang \pm 6-8 cm.

b. Mendidihkan bertahap dalam : 5% Na_2CO_3 selama 15 menit ex. 5 gram

dalam 100 mL H_2O lalu di-washing di akuades steril dingin; 50mM EDTA

pH 8 selama 15 menit ex. 1,861 gram dalam 100 mL H_2O lalu di-washing

dengan akuades steril dingin; akuades steril dingin yang mendidih selama

15 menit.

c. Setalah proses selesai, selovan siap untuk dipakai.

d. Menyediakan cawan petri sejumlah jenis pita yang dipotong yang sudah

diisi *running buffer*.

e. Memotong band yang diinginkan dari hasil *running elektroforesis* dan

memasukkan hasil potongan yang dibagi tiga ke satu cawan petri dengan

urutan 3-3-4 ke dalam satu cawan petri.

f. Membilas selofan dengan *running buffer* sebelum diisi dengan potongan

pita protein.

g. Mengisi selofan yang sudah dijepit salah satu sisinya dengan *running*

buffer.

h. Mengisi dengan pita protein, lalu menjepit sisi lainnya dengan menjaga

agar tidak ada gelembung.

i. Me-running dalam *chamber elektrophoresis horizontal* 120V selama 60 menit.

j. Mengangkat untuk dilakukan proses dialisa

4.7.6.2. Dialisis

a. Sampel pita protein dalam selofan yang sudah dijepit kedua sisinya dimasukkan ke dalam *beaker glass* yang telah terisi PBS steril dingin.

b. Memasukkan dalam *stirrer* selama 24 jam dalam suhu 4°C.

c. Setiap 8 jam mengganti dengan PBS baru yang dingin sebanyak 1L.

d. Mengangkat selofan dan mengoleksi supernatannya (cairan akan berubah menjadi biru).

e. Memasukkan supernatan ke dalam tabung *eppendorf*, masing-masing *eppendorf* diisi 500 µL (\pm 2-3 *eppendorf*).

f. Melakukan presipitasi dengan menambahkan etanol absolut dingin dengan perbandingan 1:1 yaitu sebanyak 500 µL dan disimpan dalam 4°C *overnight*.

g. Melakukan sentrifugasi 12000 rpm selama 15 menit pada suhu 4°C.

h. Membuang supernatan di dekontasi dan mengeringkannya

i. Menimbang berat pelet dalam *buffer Tris-Cl- 0,5m pH 8*

j. Menyimpan pada suhu -40°C

4.7.7. Konjugasi Vaksin dan Pemberian Vaksinasi

a. Penggabungan Protein Adhesi Berat molekul 37,8 kDa dengan CTB

dilakukan sesuai prosedur Santoso (2000). Protein 37,8 kDa diambil

sebanyak 8 mg di dalam 1,5 ml PBS, selanjutnya CTB sebanyak 0,230

mg dalam 1,5 ml PBS

b. Mengaduk protein 37,8 kDa dengan CTB dalam lemari asam dan

ditambahkan 2% Glutaraldehyde 3 cc. Inkubasi suhu ruangan selama satu

jam dengan diaduk perlahan. Ditambahkan Glicyne PH 7.2 sebanyak 2.24

ml (BM=75.07) diinkubasi di suhu ruangan selama satu jam diaduk

perlahan, setelah itu didialisa dengan PBS semalam sebanyak 4 kali.

Kemudian disimpan -20° C.

c. Kemudian vaksin diberikan secara peroral pada mencit pada hari ke 7,

14, 21, dan 28, dimana proses konjugasinya membutuhan 8 mg protein

dalam 1,5 ml PBS dan CTB 0,230 mg dalam 1,5 ml PBS.

4.7.8. Pembedahan Mencit

a. Semua mencit dibedah setelah seluruh dosis vaksinasi diberikan.

b. Mencit dianastesi terlebih dahulu per inhalasi dengan kloroform diwadah tertutup.

c. Mencit dibaringkan pada permukaan meja yang keras yang dialasi dengan streeofom. Kaki dan tangan mencit difiksasi dengan jarum pentul pada atas streeofom.

d. Toraks dan abdomen mencit dibuka dengan memotong dinding abdomen (kulit dan peritoneum) pada aksis median. Pembukaan abdomen diperluas kearah lateral, sehingga organ organ dalam rongga abdomen terlihat.

e. Dilakukan pengambilan organ usus, lalu Usus yang didapatkan lalu dipotong menjadi tiga bagian untuk dilakukan metode MLIL, pengukuran

kadar β-defensin, dan pengukuran kadar s-IgA. Adapun pengukuran s-IgA

dilakukan pada penelitian Indraswari (2019).



f. Usus yang didapatkan lalu dilakukan *scrapping* dan ditampung dalam wadah untuk pengukuran kadar β -defensin dan usus yang lainnya akan dipapar dengan bakteri *Vibrio cholerae* dan *Shigella flexneri* dalam metode MLIL.

4.7.9.a Pengukuran Kadar β -defensin (ELISA)

Usus halus mencit dipotong longitudinal hingga lumen terbuka, kemudian permukaan usus tersebut *di-scraping* dan dicuci dengan 2 ml sitas Brawijaya PBS yang mengandung 1 mM PMSF. Kemudian, cairan tersebut disentrifugasi dengan kecepatan 12000 rpm dalam suhu 40°C untuk memisahkan debris. Supernatan diambil dan disimpan untuk diukur β -defensin dengan metode ELISA.

- Dilakukan pengenceran *standard solutions* : (Kit ini memiliki *standard original concentration* yang dapat diencerkan dalam wadah-wadah kecil secara bebas oleh pemakai dengan mengikuti instruksi).
- Jumlah *stripes* yang dibutuhkan tergantung pada sample yang akan diteliti dengan standar tersebut. Sangat disarankan bahwa tiap *standard solutions* dan tiap *blank well* harus tersusun dalam 3 atau lebih bila memungkinkan.

- Injeksi sample :

• *Blank well* : tidak dimasukkan sampel, antibodi anti β -defensin dilabel dengan biotin atau streptavidin HRP ditambahkan sebagai pembanding *blank well* kecuali chromogen A dan B dan Stop solution diberikan dalam step yang sama pada langkah selanjutnya.



- **Standard solution well :** dimasukkan 50 μ l standard dan streptavidin HRP 50 μ l (antibodi biotin bergabung dalam standard advance). Jadi tidak ada biotin antibody yang ditambahkan).
- Sample well untuk dilakukan pemeriksaan : 40 μ l sampel ditambahkan ke dalam well kemudian 10 μ l slgA antibody, 50 μ l streptavidin HRP. Kemudian tutup dengan seal plate membrane. Divortex untuk mencampurkan kemudian simpan pada 37⁰ selama 60 menit.
- d. Persiapan untuk washing solution: dilarutkan washing concentration (30x) dengan distilled water untuk digunakan nantinya.
- e. Dilakukan washing : seal plate membrane dibuka secara hati-hati, ditiriskan dan kocok liquid yang tersisa. Isi tiap well dengan washing solution. Tiriskan liquid setelah 30 detik. Ulangi langkah ini 5x.
- f. Color development : ditambahkan 50 μ l chromogen solution A pada tiap well dan juga ditambahkan 50 μ l chromogen solution B pada tiap well. Dikocok secara perlahan agar tercampur. Disimpan selama 10 menit pada suhu 37⁰ dan dijauhkan dari cara untuk color development.
- Universitas Bg. Stop: menambahkan 50 μ l stop solution pada tiap well untuk menghentikan reaksi (warna biru akan berubah secara cepat menjadi kuning seketika itu juga).

h. Assay : diambil blank well sebagai zero, dilakukan pengukuran

nilai absorbansi (OD) di tiap well satu persatu pada 450 nm

wavelength, yang seharusnya dilakukan sekitar 10 menit setelah

melakukan stop solution.

Berdasarkan *standard concentration* dan *corresponding* jumlah

OD, dihitung *regresi linear equation* dari kurva standard. Kemudian

berdasarkan nilai OD sampel, dihitung konsentrasi dan

corresponding sampel. Software khusus dapat digunakan untuk

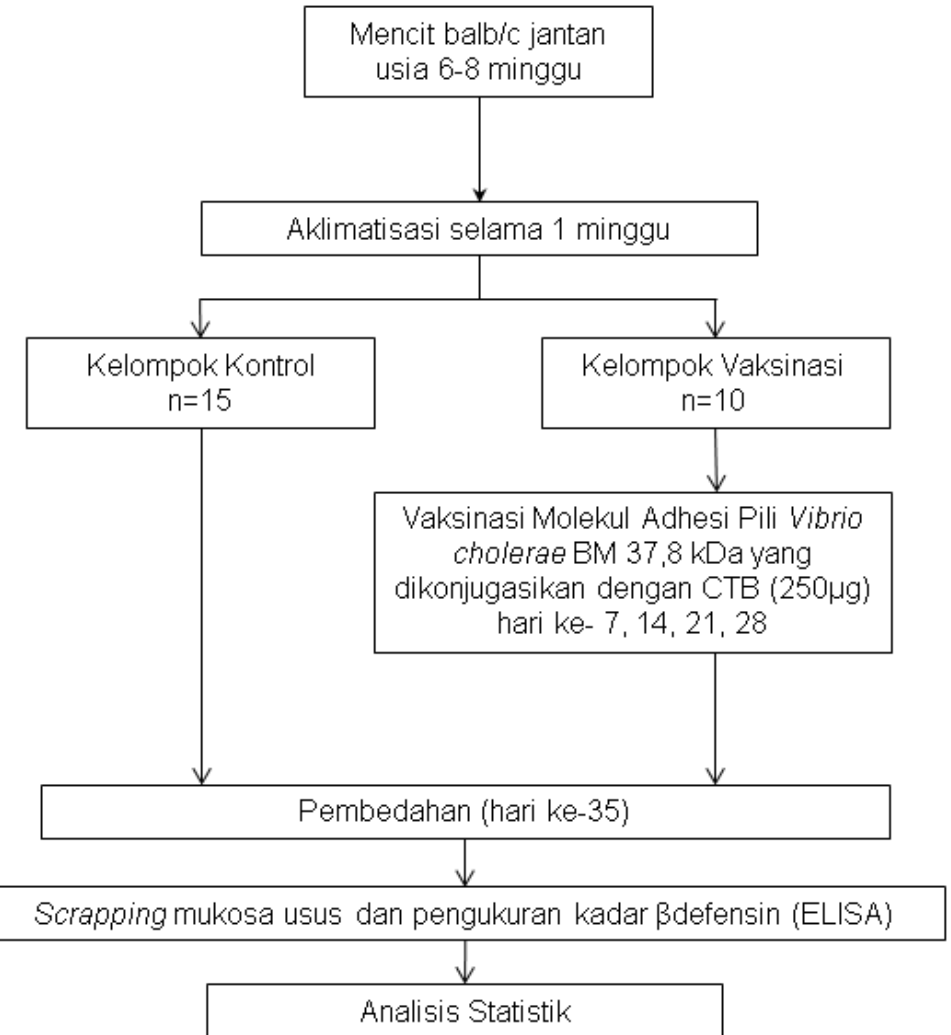
menghitung ini secara tepat.

4.7.10. MLIL dan pengukuran Massa Usus

- a. Usus mencit diambil sepanjang usus halus hingga kolon dan dipotong 4 cm distal dan 4 cm proksimal lalu sebagian digunakan untuk metode MLIL. Usus yang digunakan untuk metode MLIL berbeda dengan usus yang digunakan untuk pengukuran kadar β -defensin.
- b. Usus yang telah dipotong kedua ujungnya diikat dengan benang
- c. Usus lalu diinjeksikan sesuai dengan kelompok pada tabel 4.1. dengan *Vibrio cholerae* O1 atau *Shigella flexneri* sebanyak 10^6 CFU/ ml.
- d. Usus diletakkan pada botol 250 mL yang berisi media RPMI, lalu diletakkan di atas shaker pada suhu 37°C
- e. Usus lalu ditimbang pada menit ke 0, ke-30, dan ke-60.
- f. Mencit dengan rasio berat/panjang minimal 0,1 g/cm maka dinyatakan positif mengalami diare.

4.8. Alur Penelitian

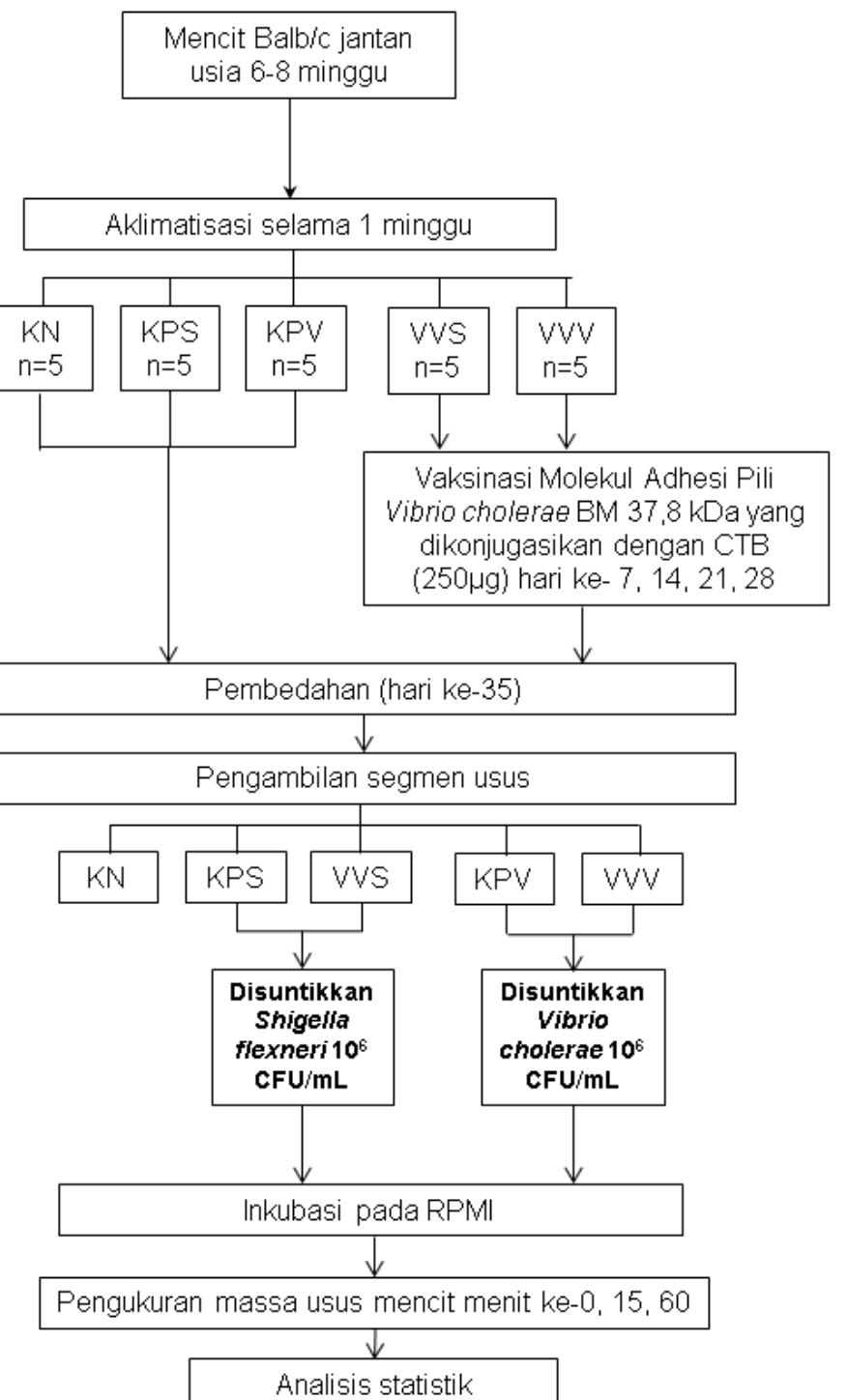
4.8.1. Alur Penelitian Parameter β -defensin



Gambar 4.1. Bagan Alur Penelitian Parameter β -defensin



4.8.2. Alur Penelitian Parameter Massa Usus



Gambar 4.2. Bagian Alur Penelitian Parameter Massa Usus

4.8.3. Deskripsi Alur Penelitian

Pada penelitian ini digunakan mencit balb/c usia 6-8 minggu yang terbagi pada 5 kelompok. Semua tikus diberi pakan normal. Pada minggu pertama semua tikus dilakukan aklimatisasi. Kelompok vaksinasi (VVV dan VVS) lalu diberikan vaksinasi molekul adhesi pili *Vibrio cholerae* dengan berat molekul 37,8 kDa yang dikojugasikan dengan CTB (sesuai definisi operasional) pada hari ke 7, 14, 21, dan 28. Sedangkan kelompok kontrol (KN, KPV, KPS) tidak diberikan apapun selain pakan normal. Setelah hari ke-28, 1 minggu setelahnya, mencit dibedah lalu diinfeksi sesuai dengan kelompok. Pada pembedahan usus mencit diambil, lalu sebagian usus dikerok untuk dilakukan analisa ELISA untuk pengukuran β -defensin dan sebagian usus dilakukan pemaparan infeksi *Vibrio cholerae* dan *Shigella flexneri* dengan metode MLIL. Selanjutnya usus dimasukkan ke dalam media RPMI dan dilakukan shaker, lalu massa usus diukur pada menit ke 0, 15, dan 60. Data hasil pengukuran dicatat lalu dianalisis menggunakan SPSS.

4.9. Analisis Data

Data kadar β -defensin tiap kelompok perlakuan dianalisis secara statistik dengan menggunakan software SPSS untuk uji normalitas, homogenitas, dan *independent T-test*. Uji normalitas menggunakan metode *Kolmogorov-Smirnov*, data dinyatakan terdistribusi normal apabila nilai signifikansi $>0,05$. Uji normalitas digunakan untuk menginterpretasikan suatu data apakah data memiliki persebaran data yang normal atau tidak karena uji hipotesis tergantung pada normal atau tidaknya distribusi data. Apabila didapatkan sebaran data normal maka dilanjutkan sebagai uji parametrik. Namun apabila sebaran data tidak normal digunakan uji non parametrik.

Uji homogenitas menggunakan metode *Levene*, data dinyatakan homogen apabila nilai signifikansi $>0,05$. Uji homogenitas digunakan untuk menentukan apakah distribusi beberapa set data memiliki varians yang homogen. Apabila didapatkan data memiliki varians homogen maka analisis data dilanjutkan dengan uji ANOVA untuk variabel massa usus dan uji *independent T-test* untuk variabel β -defensin.

Selanjutnya dilakukan uji *independent T-test* antara kelompok kontrol dengan kelompok vaksin vibrio untuk mengetahui pengaruh vaksin terhadap kadar β -defensin menggunakan *Confidence Interval* sebesar 95%. Data dinyatakan signifikansi apabila $p<0,05$. Data massa usus tiap waktu (menit ke-0, ke-5, ke-15, ke-30, ke-45, dan ke-60) dilakukan uji normalitas dan homogenitas berturut-turut menggunakan metode *Kolmogorov-Smirnov* dan *Levene*. Bila nilai signifikansi $>0,05$ data dinyatakan homogen dan terdistribusi normal. Selanjutnya dilakukan uji ANOVA,

data dinyatakan signifikan bila $p<0,05$. Setelah dilakukan uji ANOVA, dilakukan

Multiple Comparison antar kelompok, yang dinyatakan signifikan bila $p<0,05$,

untuk mengetahui perlakuan mana yang paling berpengaruh.

H1s: Vaksinasi dengan molekul adhesi pada pilis *Vibrio cholerae* dengan berat

molekul 37,8 kDa yang dikonjugasikan CTB dapat meningkatkan kadar β -

defensin mencit dan menghambat pogresifitas keluarnya cairan (yang ditandai

dengan menurunnya massa usus).





HASIL PENELITIAN DAN ANALISIS DATA

5.1. Hasil penelitian

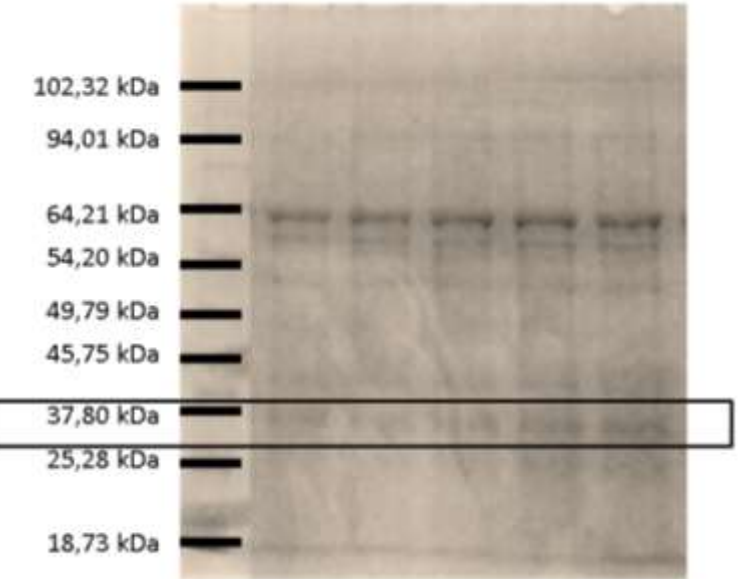
Penelitian ini dilakukan untuk mengetahui efek konjugasi molekul adhesi

pili *Vibrio cholerae* BM 37,8 kDa yang dikonjugasikan dengan CTB terhadap

peningkatan kadar β-defensin mukosa usus dan penurunan massa usus mencit

balb/c yang diinfeksi oleh *Vibrio cholerae* dan *Shigella flexneri*.

5.1.1. Hasil Identifikasi Pili *Vibrio cholerae* dengan Menggunakan SDS-PAGE



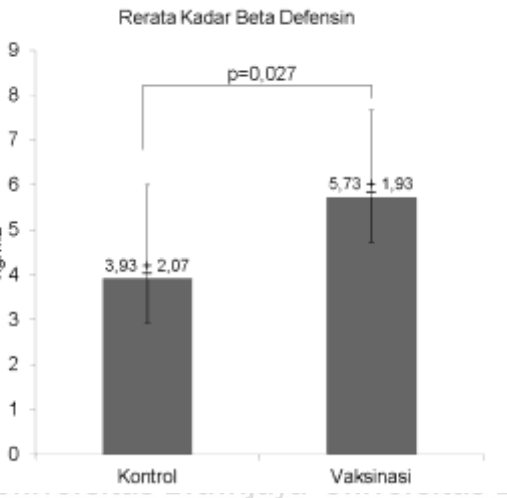
Gambar 5.1. Hasil SDS PAGE protein pili *Vibrio cholerae*. Terlihat pada gambar (kotak merah) protein pili dengan berat molekul 37,8 kDa (Dok. Pribadi)

Penelitian dimulai dengan mengkultur bakteri *Vibrio cholerae* pada medium TCBS. Selanjutnya bakteri diperoleh dengan menggunakan *pili cutter* lalu ditanam di media TCG untuk memperkaya

pili. Selanjutnya dilakukan identifikasi berat molekul protein menggunakan SDS PAGE yang dilakukan di Laboratorium Mikrobiologi Fakultas Kedokteran Universitas Brawijaya Malang. Dari hasil SDS PAGE didapatkan hasil sebagai berikut.

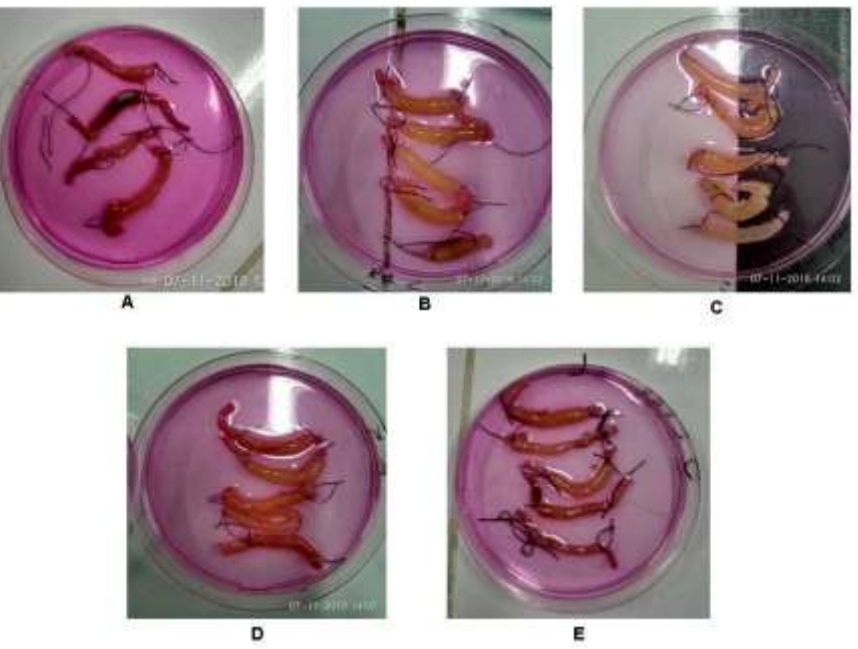
5.1.2. Hasil Pengukuran Kadar β -defensin pada Mukosa Usus Mencit

Setelah pemberian vaksinasi sebanyak empat kali, yaitu pada hari ke 7, 14, 21, dan 28 dilakukan pembedahan mencit untuk selanjutnya dilakukan pengukuran kadar β -defensin. Setelah dibedah, scrapping dari mukosa usus yang diperoleh dianalisa menggunakan ELISA di Laboratorium Biomedik Fakultas Kedokteran Universitas Brawijaya Malang. Dari hasil pengukuran menggunakan ELISA diperoleh hasil sebagai berikut.



Gambar 5.2. Diagram kolom rerata kadar β -defensin pada kelompok kontrol dan kelompok yang divaksinasi. Analisis statistik menggunakan *independent T-test* didapatkan signifikansi $p<0,05$.

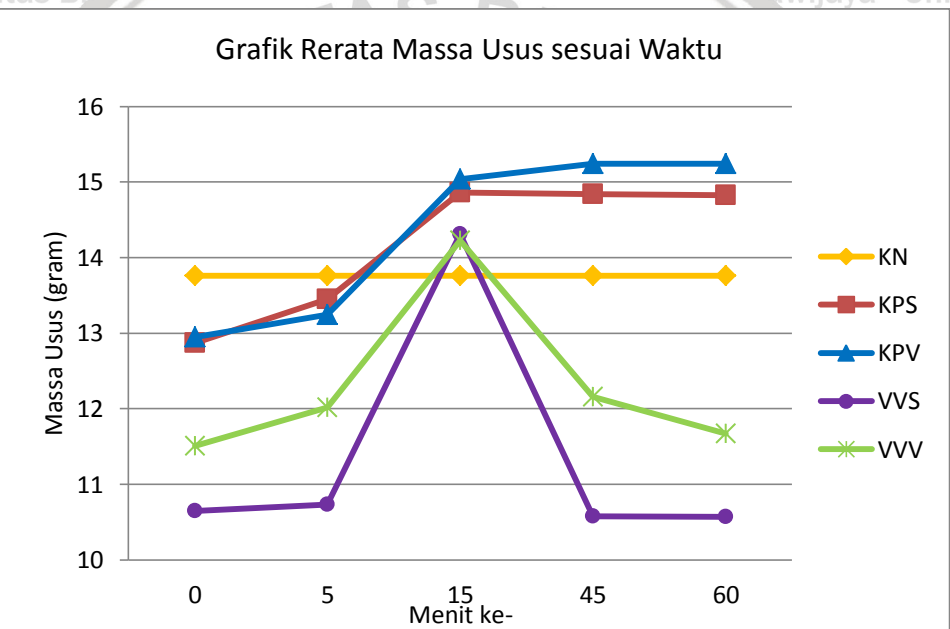
Hasil dari pengukuran kadar β -defensin didapatkan peningkatan pada kelompok yang divaksinasi oleh molekul adhesi pili BM 37,8kDa yang dikonjugasikan dengan CTB dibandingkan dengan kontrol. Dari hasil tersebut



Gambar 5.3. Temuan makroskopik metode MLIL. A: Kontrol negatif (KN); B: Kontrol positif *Shigella flexneri* (KPS); C: Kontrol positif *Vibrio cholerae* (KPV); D: Vaksinasi *Vibrio cholerae* infeksi *Shigella flexneri* (VVS); E: Vaksinasi *Vibrio cholerae* infeksi *Vibrio cholerae* (VV). Terlihat pada gambar bahwa usus kelompok kontrol positif (B dan C) lebih besar dibandingkan usus kelompok vaksinasi (D dan E).

Tabel 5.2. Tabel rerata massa usus mencit

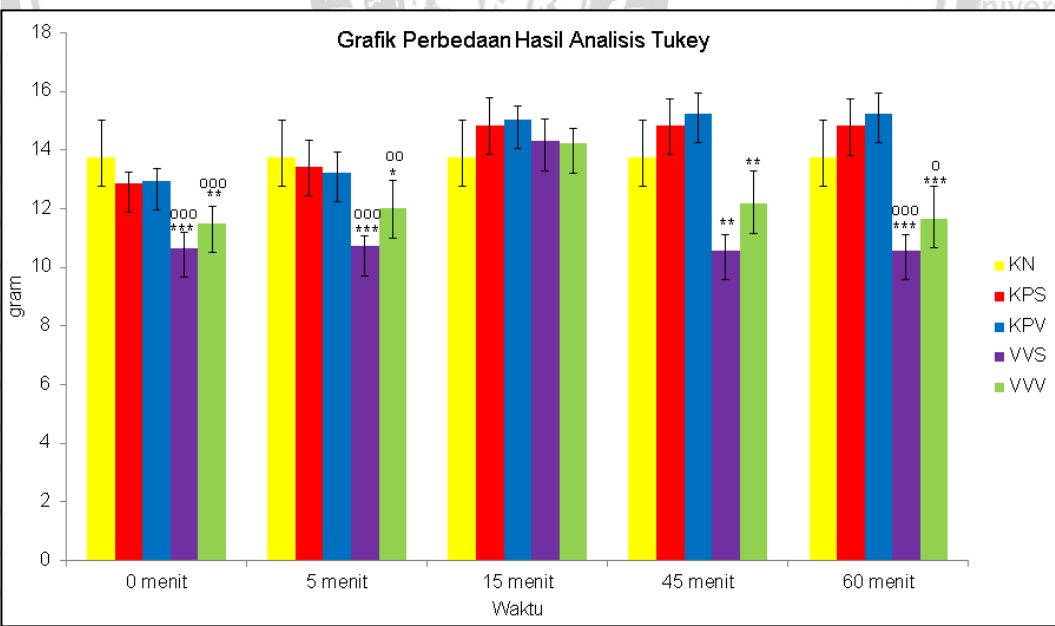
Kelompok	Rata-rata Massa Usus (gram)	Menit ke-
Kontrol Negatif (KN)	$13,76 \pm 1,27$	0
Kontrol Positif <i>Shigella</i> (KPS)	$12,87 \pm 0,37$	15
Kontrol Positif <i>Vibrio</i> (KPV)	$12,95 \pm 0,44$	45
Vaksinasi <i>Vibrio Infeksi Shigella</i> (VVS)	$10,65 \pm 0,55$	60
Vaksinasi <i>Vibrio Infeksi Vibrio</i> (VVV)	$11,51 \pm 0,58$	
	$14,86 \pm 0,91$	
	$14,83 \pm 0,92$	
	$15,04 \pm 0,47$	
	$15,24 \pm 0,72$	
	$10,57 \pm 0,53$	
	$14,23 \pm 0,50$	
	$11,67 \pm 1,10$	

**Gambar 5.4. Grafik rerata keseluruhan hasil penimbangan massa usus.** Massa usus meningkat pada menit ke 15, lalu dari menit 15 turun hingga menit ke-60 pada kelompok yang divaksinasi.

Pada kelompok kontrol positif *shigella* (KPS) terdapat peningkatan massa usus di antara menit ke-0 hingga menit ke-15 yang memiliki rerata massa usus $12,87 \pm 0,37$ pada menit ke-0 menjadi $14,86 \pm 0,91$ pada menit ke-15. Pada kelompok kontrol positif *vibrio* (KPV) juga terdapat peningkatan massa usus di antara menit ke-0 hingga menit ke-15 yang memiliki rerata massa usus $12,95 \pm 0,44$ pada menit ke-0 menjadi $15,04 \pm 0,47$. Pada kelompok KPS dan KPV

massa usus dipertahankan hingga menit ke-60, yang memiliki rerata $14,83 \pm 0,92$ dan $15,24 \pm 0,72$ gram. Pada kelompok vaksinasi *vibrio* infeksi *shigella* (VVS), massa usus meningkat antara menit ke-0 hingga menit ke-15, yang memiliki rerata $10,65 \pm 0,55$ pada menit ke-0 menjadi $14,31 \pm 0,76$ gram pada menit ke-15 dan kemudian turun pada menit ke-60 dengan rerata $10,57 \pm 0,53$ gram. Hal yang sama juga terjadi pada kelompok vaksinasi *vibrio* infeksi *vibrio*, massa usus antara pada menit ke-0 (dengan massa usus $11,51 \pm 0,58$ gram) hingga menit ke-15 (dengan massa usus $14,23 \pm 0,50$ gram), kemudian turun pada menit ke-60 dengan rerata $11,67 \pm 1,10$ gram.

Di bawah ini ditampilkan grafik hasil analisis statistik *post hoc Tukey* rerata hasil pengukuran massa usus pada 5 kelompok lanjutan dari uji one way ANOVA. Deskripsi dari analisis statistik dijelaskan pada poin 5.2.



Gambar 5.5. Grafik perbedaan hasil analisis Tukey. Pada grafik terdapat 5 kelompok yaitu KN (kontrol negatif), KPS (kontrol positif *shigella*), KPV (kontrol positif *vibrio*), VVS (vaksinasi diinfeksi *shigella*), dan VVV (vaksinasi infeksi *vibrio*). Dinyatakan [°] bila $p < 0,05$; ^{oo} bila $p < 0,01$; ^{ooo} bila $p < 0,001$ vs. KN. Dinyatakan * bila $p < 0,05$; ** bila $p < 0,01$; *** bila $p < 0,001$ vs. kontrol positifnya.

5.2. Hasil Analisis Data

5.2.1. Hasil Analisis Data Kadar β -defensin

Untuk mengetahui apakah data terdistribusi normal, dilakukan uji Kolmogorov-Smirnov. Dari hasil uji tersebut didapatkan signifikansi (Sig.) >0,05 ($p=0,184$) untuk semua kelompok yang berarti data terdistribusi normal.

Selanjutnya dilakukan uji homogenitas varians untuk mengetahui apakah data homogen. Dari uji tersebut diperoleh signifikansi (Sig.) >0,05 ($p=0,888$) pada

setiap kelompok yang berarti data homogen. Sehingga disimpulkan data terdistribusi normal dan homogen dan dapat dilakukan uji statistik selanjutnya,

yaitu *Independent T-test* karena terdiri dari dua kelompok. *Independent T-test*

dilakukan untuk mengetahui perbedaan kadar β -defensin pada kelompok kontrol

($n=15$) dan kelompok yang divaksinasi ($n=10$) molekul adhesi pili *Vibrio cholerae*

BM 37,8 kDa yang dikonjugasikan dengan CTB. Dari analisa statistik

Independent T-test diperoleh hasil signifikansi (Sig.) <0,05 ($p=0,03$) yang berarti

terdapat perbedaan bermakna antara kelompok kontrol dan kelompok yang

divaksinasi. Hal ini menunjukkan bahwa perlakuan vaksinasi berpengaruh

terhadap peningkatan kadar β -defensin.

5.2.2. Hasil Analisis Data Massa Usus

Data massa usus diperoleh dari 5 kelompok, yaitu kelompok kontrol

negatif (KN), kelompok kontrol positif *Shigella* (KPS), kelompok kontrol positif

Vibrio (KPV), kelompok vaksinasi *Vibrio* yang diinfeksi *Shigella* (VVS), dan

kelompok vaksinasi *Vibrio* yang diinfeksi *Vibrio* (VVV). Dari data hasil penelitian,

peneliti melakukan analisis data pada menit ke-0, 15, dan 60 dengan

menggunakan uji statistik ANOVA. Syarat dilakukan uji statistik ANOVA adalah

data harus terdistribusi normal dan homogen. Untuk itu dilakukan uji Kolmogorov-Smirnov dan diperoleh hasil signifikansi ($Sig.$) $>0,05$ ($p=0,20$). Dari uji homogen varians diperoleh hasil signifikansi ($Sig.$) $>0,05$ ($p=0,240$ untuk menit ke-0, $p=0,406$ untuk menit ke-15, dan $p=0,803$ untuk menit ke-60) sehingga syarat terpenuhi. Dari hasil analisis menggunakan One-way ANOVA didapatkan signifikansi pada menit ke-0 adalah $p=0,000$, signifikansi pada menit ke-15 adalah $p=0,152$, dan pada menit ke-60 ($p=0,000$). Selanjutnya dilakukan uji post hoc Tukey HSD untuk mengetahui analisis tiap menit dan perbedaan antar kelompok perlakuan.

Dari hasil uji tersebut didapatkan hasil bahwa pada menit ke-0 terdapat massa usus kelompok vaksinasi yang diinfeksi *Shigella* (VVS) dan vaksinasi yang diinfeksi *Vibrio* (VVV) lebih rendah dibandingkan dengan kontrol negatif (KN) dengan nilai $p=0,000$ (untuk VVS) dan $p=0,000$ (untuk VVV). Massa usus pada VVS juga lebih rendah secara signifikan dibandingkan dengan kelompok kontrol positif *Shigella* (KPS) dengan nilai $p=0,000$. Selain itu, rendahnya massa usus pada VVV juga berbeda bermakna dibandingkan kelompok kontrol positif *Vibrio* (KPV) dengan $p=0,005$.

Pada menit ke-5, massa usus pada kelompok VVS maupun VVV lebih rendah secara signifikan bila dibandingkan dengan KN dengan $p=0,000$ (untuk VVS) dan $p=0,006$ (untuk VVV). Massa usus yang lebih rendah pada kelompok VVS ini juga berbeda signifikan dengan KPS dengan $p=0,000$. Massa usus pada VVV juga lebih rendah secara signifikan dibandingkan kelompok KPV dengan $p=0,041$.

Pada menit ke-15 dari semua perlakuan yang dilakukan analisis statistik

menggunakan Tukey tidak menunjukkan perbedaan yang bermakna diantara semua kelompok dengan nilai $p>0,05$.

Pada menit ke-45, massa usus kelompok VVS dan VVV lebih rendah dibandingkan KN namun tidak signifikan. Namun apabila VVS dibandingkan dengan kontrol poitifnya, KPS, VVS lebih rendah signifikan dengan nilai $p=0,001$.

VVV apabila dibandingkan dengan KPV juga lebih rendah signifikan dengan $p=0,003$.

Pada menit ke-60, massa usus pada kelompok VVS maupun VVV lebih rendah secara signifikan bila dibandingkan dengan KN dengan $p=0,000$ (untuk VVS) dan $p=0,016$ (untuk VVV). Rendahnya massa usus kelompok VVS ini juga berbeda secara signifikan dengan KPS dengan $p=0,000$. Serupa dengan massa usus pada VVV yang juga lebih rendah secara signifikan dibandingkan kelompok KPV dengan $p=0,000$.

Selanjutnya untuk mengetahui perbedaan di setiap menit (menit ke-0, 5, 15, 45, dan 60) dilakukan uji *repeated ANOVA*. Uji *repeated ANOVA* dilakukan untuk melihat perbedaan antar kelompok pada data berpasangan yang berjumlah lebih dari dua dan memiliki distribusi data normal. Hasil perbandingan data rerata massa usus pada menit 0, 5, 15, 45, dan 60 menunjukkan nilai $p<0,05$ dengan tingkat kepercayaan 95%. Dengan demikian, pemberian vaksinasi subunit pili 37,8 kDa *Vibrio cholerae* dapat menurunkan massa usus pada kelompok vaksinasi secara signifikan.

BAB VI

PEMBAHASAN

6.1. Pemberian Vaksinasi Meningkatkan Kadar β -defensin

Pada penelitian ini, pemberian vaksinasi molekul adhesi pili *Vibrio*

cholerae dengan berat molekul 37,8 kDa yang dikonjugasikan dengan CTB telah terbukti meningkatkan kadar β -defensin pada kelompok vaksinasi (dengan rerata 5,73ng/mL) terhadap dengan kontrol (dengan rerata 3,92ng/mL) secara signifikan ($p=0,03$).

Terdapat penelitian yang menyatakan bahwa *Vibrio* berhubungan dengan

berbagai host yang menghasilkan peptida antimikroba/ *antimicrobial peptide* (AMP) oleh sel epitelnya sebagai *barrier* pelindung dari host tersebut dalam menghadapi infeksi mikroba (Destoumieux-Garzón *et al.*, 2014). AMP adalah peptida kationik kecil dengan aktivitas antivirus, antibakteri, dan antijamur yang menunjukkan konformasi alfa heliks atau β -sheet (Kosikowska & Lesner, 2016).

Molekul-molekul kecil ini memainkan peran penting dalam kerentanan terhadap beberapa penyakit menular salah satunya diare (Kosikowska & Lesner, 2016).

Salah satu dari AMP adalah defensin. Defensin merupakan molekul yang diproduksi selama infeksi natural akut dari *Vibrio cholerae* sebagai efektor respon imun *innate* (Borque *et. al.*, 2018). Sesuai dengan penelitian ini, pemberian vaksinasi molekul adhesi *Vibrio cholerae* menghasilkan AMP secara dominan berupa β -defensin yang diproduksi selama infeksi tahap akut.

Peningkatan β -defensin yang disebabkan oleh molekul adhesi *Vibrio* pada penelitian ini serupa dengan penelitian oleh Fitrianingsih *et al.* (2018).

Penelitian Fitrianingsih *et al.* (2018). menyatakan molekul adhesi *Shigella flexneri*

dengan berat molekul 18 kDa yang mampu meningkatkan protein β -defensin
mencit secara signifikan (Fitrianingsih *et al.*, 2018).

Bakteri yang dideteksi oleh sel tubuh akan memediasi pengikatan TLR
dengan PAMP yang kemudian menginduksi produksi β -defensin. Produksi β -

defensin selain diinduksi oleh produk metabolismik bakteri yang salah satunya
berupa peptidoglikan, juga dapat diinduksi oleh sitokin pro-inflamasi sebagai

respon dari infeksi. Pada tempat terjadinya infeksi, bakteri dikenali oleh fagosit
dan menginduksi sekresi mediator pro-inflamasi berupa IL-1 dan TNF-alfa.

Selanjutnya β -defensin diproduksi oleh sel epithel untuk melakukan proses
pembunuhan bakteri. β -defensin yang bermuatan positif berikatan dengan

membran terluar sel mikroba yang mengandung peptidoglikan (lipid) bermuatan
negatif, kemudian beta defensin akan membuat pori untuk merusak integritas

membran mikroba sehingga membunuh mikroba tersebut (Cobo & Chadee,
2013). Peran β -defensin saat terjadi infeksi bakteri tidak hanya sebatas

membunuh bakteri saja, namun juga sebagai imunomodulator. Telah dibuktikan
bahwa peningkatan konsentrasi beta defensin dapat meningkatkan ekspresi

sitokin pro-inflamasi dan kemokin dalam keadaan tidak infeksi atau tidak ada
stimulasi oleh produk bakteri. Telah dibuktikan juga bahwa beta defensin adalah

komponen penting untuk memperluas respon sitokin awal dari inflamasi dan
mempunyai peran dalam penyembuhan luka di tempat *injury* atau infeksi

(Menendez & Brett Finlay, 2007). Dikarenakan respon imun berupa beta defensin

tidak spesifik terhadap suatu antigen tertentu, maka beta defensi dapat
mengatasi seluruh bakteri yang masuk ke enterosit. Salah satu parameter

keberhasilan vaksinasi yakni mampu mencetuskan β -defensin sebagai respons

innate. Sehingga apabila didapatkan peningkatan kadar β -defensin maka vaksin

yang diberikan dapat dikatakan memiliki immunogenisitas yang cukup baik..

Hal ini membuktikan bahwa vaksinasi oleh konjugasi antara molekul

adhesi pili *Vibrio cholerae* BM 37,8 kDa dengan CTB meningkatkan respon imun

mukosa berupa β -defensin sehingga nantinya apabila subjek terkena infeksi

maka dengan cepat akan dieradikasi oleh β -defensin.

6.2. Pemberian Vaksinasi Menghambat Progresifitas Keluarnya Cairan ke

Lumen Usus Mencit

Pada penelitian ini setelah dilakukan MLIL pada mencit, mencit dilakukan

penimbangan massa usus pada serial waktu, yaitu menit ke-0, 15, dan 60

sembari diinkubasi pada media RPMI. Penimbangan secara serial pada

penelitian ini bertujuan untuk mengetahui adanya fluktuasi yang terjadi selama

60 menit masa inkubasi. Hasil pada penelitian ini, terlihat bahwa kelompok KPS

dan KPV memiliki massa usus yang meningkat di antara menit ke-0 hingga menit

ke-15. Setelah itu, di antara menit ke-15 hingga menit ke-60, massa usus pada

kelompok KPS dan KPV tetap meningkat namun peningkatan terjadi secara

lambat. Berbeda dengan kelompok yang diberikan vaksinasi, pada kelompok

VVS dan VVV terdapat peningkatan massa usus yang dapat diamati di antara

menit ke-0 hingga menit ke-15. Namun, di antara menit ke-15 hingga menit ke-60

massa usus menurun mendekati massa usus pada menit ke-0 secara signifikan

dengan $p<0,05$. Peningkatan massa usus pada menit ke-15 yang diikuti oleh

penurunan massa usus hingga menit ke-60 pada kelompok vaksinasi (VVS dan

VVV) kemungkinan bisa terjadi karena vaksinasi menghambat progresifitas

keluarnya cairan pada kelompok vaksinasi yaitu VVS dan VVV dibandingkan

dengan kelompok kontrol positif yaitu KPS dan KPV. Apabila penelitian sebelumnya oleh Sumarno *et. al.* (2011) menunjukkan vaksinasi konjugasi molekul adhesi *Vibrio cholerae* dengan BM 37,8 kDa dengan CTB menghambat akumulasi cairan pada subjek yang diinfeksikan dengan *Vibrio cholerae*, maka penelitian ini menunjukkan vaksin konjugasi tersebut menghambat progresifitas keluarnya cairan pada subjek yang diinfeksi oleh *Shigella flexneri*. Hal ini kemungkinan berhubungan dengan peningkatan protein β -defensin pada awal sebelum mencit diinfeksi. β -defensin yang meningkat akan dengan cepat mengatasi infeksi yang disebabkan oleh *Shigella flexneri* dengan merusak integritas membran dari *Shigella flexneri* (Grishin & Sokolov, 2014).

Pada penelitian ini, pemberian vaksinasi menunjukkan hasil rata-rata massa usus mencit yang divaksinasi (kelompok VVS dan VVV) lebih rendah dibandingkan dengan kelompok kontrol negatif (KN) dan kontrol positif (KPS dan KPV) pada menit ke-0 yang signifikan secara statistik. Hal ini tidak diketahui mengapa pada mencit yang diberikan vaksinasi memiliki massa usus yang lebih rendah pada awal pengukuran massa usus mencit (menit ke-0). Hal tersebut merupakan keterbatasan dalam penelitian ini sehingga diperlukan penelitian lebih lanjut untuk mengetahui apa yang menyebabkan massa usus kelompok vaksinasi VVS dan VVV lebih rendah dibandingkan kelompok lainnya. Namun meskipun massa usus mencit kelompok VVS dan VVV lebih rendah dibandingkan dengan kelompok KN, KPS, dan KPV, tidak didapatkan kelainan atau penurunan berat badan serta tidak ada mencit yang mati pada kelompok VVS dan VVV.



BAB VII

KESIMPULAN DAN SARAN

7.1. Kesimpulan

Dari hasil penelitian ini dapat disimpulkan bahwa :

1. Vaksin konjugasi molekul adhesi pili *Vibrio cholerae* berat molekul

37,8 kDa dengan CTB dapat meningkatkan respon imun mukosa host

yang ditandai dengan meningkatnya β -defensin.

2. Vaksin konjugasi molekul adhesi pili *Vibrio cholerae* berat molekul

37,8 kDa dengan CTB dapat menghambat progresifitas keluarnya

cairan ke lumen usus mencit yang diinfeksi *Vibrio cholerae* dan

Shigella flexneri yang ditandai dengan rendahnya massa usus.

Dari hasil tersebut terbukti bahwa konjugasi molekul adhesi pili *Vibrio*

cholerae berat molekul 37,8 kDa dengan CTB dapat untuk dijadikan kandidat

vaksin diare dengan menghambat progresifitas keluarnya cairan oleh karena

infeksi *Vibrio cholerae* dan *Shigella flexneri* dengan cara meningkatkan produksi

β -defensin.

7.2. Saran

Saran pada penelitian ini perlu dilakukan penelitian lebih lanjut untuk

menganalisa mengapa vaksinasi dapat menyebabkan massa usus lebih rendah

pada kelompok vaksinasi.

DAFTAR PUSTAKA

- Agustina, W., Fitri, L.E., Raras, T.Y.M., Siswanto, B. & Sumarno 2012. Antibody Protein Hemagglutinin Subunit Pili with MW 49,8 kDa Shigella dysenteriae can inhibit Shigella dysenteriae adhesion on Mice Enterocyte. *IOSR Journal of Pharmacy (IOSRPHR)*, 2(5): 13–20.
- Akingbade, A. 2018. The Impact of Acidity on *Vibrio Cholerae* in Foodborne Environments. *Senior Projects Spring 2018*. Tersedia di https://digitalcommons.bard.edu/senproj_s2018/58 [Accessed 18 Desember 2019].
- Akter, A., Dash, P., Aktar, A., Jahan, S.R., Afrin, S., Basher, S.R., Hakim, A., Lisa, A.K., Chowdhury, F., Khan, A.I., Xu, P., Charles, R.C., Kelly, M., Kováč, P., Harris, J.B., Bhuiyan, T.R., Calderwood, S.B., Ryan, E.T. & Qadri, F. 2019. Induction of systemic, mucosal and memory antibody responses targeting *Vibrio cholerae* O1 O-specific polysaccharide (OSP) in adults following oral vaccination with an oral killed whole cell cholera vaccine in Bangladesh. *PLoS Neglected Tropical Diseases*, 13(8).
- Ashkenazi, S. & Cohen, D. 2013. An update on vaccines against *Shigella*. *Therapeutic Advances in Vaccines*, 1(3): 113–123.
- Ashkenazi, S., Schwartz, E. & O’Ryan, M. 2016. Travelers’ Diarrhea in Children. *The Pediatric Infectious Disease Journal*, 35(6): 698–700. Tersedia di <http://insights.ovid.com/crossref?an=00006454-201606000-00022> [Accessed 14 Januari 2020].
- Baldauf, K.J., Royal, J.M., Hamorsky, K.T. & Matoba, N. 2015. *Cholera toxin B: One subunit with many pharmaceutical applications*. *Toxins*, .
- Baptista, A.A.S., Donato, T.C., Garcia, K.C.O.D., Gonçalves, G.A.M., Coppola, M.P., Okamoto, A.S., Sequeira, J.L. & Andreatti Filho, R.L. 2014. Immune response of broiler chickens immunized orally with the recombinant proteins flagellin and the subunit B of cholera toxin associated with *Lactobacillus* spp. *Poultry Science*, 93(1): 39–45.
- Barry, E.M., Pasetti, M.F., Sztein, M.B., Fasano, A., Kotloff, K.L. & Levine, M.M. 2013. Progress and pitfalls in *Shigella* vaccine research. *Nature Reviews Gastroenterology and Hepatology*, .
- Basu, S. & Pickett, M.J. 1969. Reaction of *Vibrio cholerae* and Choleragenic Toxin in Ileal Loop of Laboratory Animals. *Journal of Bacteriology*, 100(2): 1142–1143.
- Bhowmick, R., Pore, D. & Chakrabarti, M.K. 2014. Outer membrane protein a (OmpA) of shigella flexneri 2a induces TLR2-mediated activation of b cells: Involvement of protein tyrosine kinase, ERK and nf-b. *PLoS ONE*, 9(10).
- Blanchard, T.G., Lycke, N., Czinn, S.J. & Nedrud, J.G. 1998. Recombinant cholera toxin B subunit is not an effective mucosal adjuvant for oral immunization of mice against *Helicobacter felis*. *Immunology*, 94(1): 22–27.

Bornside, G.H. 1981. Jaime Ferran and preventive inoculation against cholera.

Bulletin of the history of medicine, 55(4): 516–32. Tersedia di <http://www.ncbi.nlm.nih.gov/pubmed/7039738> [Accessed 11 Desember 2019].

Bourque, D.L., Bhuiyan, R., Genereux, D.P., Rashu, R., Ellis, C.N., Chowdhury, F., Khan, A.I., Alam, H., Paul, A., Hossain, L. & Mayo-smith, L.M. 2018.

Analysis of the Human Mucosal Response to Cholera Reveals Sustained Activation of Innate Immune Signaling Pathways. *American Society for Microbiology*, 86(2): 1–17.

Boustanshenas, M., Bakhshi, B. & Ghorbani, M. 2013. Investigation into immunological responses against a native recombinant CTB whole-cell *Vibrio cholerae* vaccine in a rabbit model. *Journal of Applied Microbiology*, 114(2): 509–515.

Camacho, A.I., Souza-Rebouças, J., Irache, J.M. & Gamazo, C. 2013. Towards a non-living vaccine against *Shigella flexneri*: From the inactivation procedure to protection studies. *Methods*, 60(3): 264–268.

Capeding, M.R.Z., Gonzales, M.L.A.M., Dhingra, M.S., D'Cor, N.A., Midde, V.J., Patnaik, B.N., Thollot, Y. & Desauziers, E. 2017. Safety and immunogenicity of the killed bivalent (O1 and O139) whole-cell cholera vaccine in the Philippines. *Human Vaccines and Immunotherapeutics*, 13(10): 2232–2239.

CDC 2013. Notes from the field: Outbreak of infections caused by *Shigella sonnei* with decreased susceptibility to azithromycin--Los Angeles, California, 2012. *Morbidity and mortality weekly report*, 62(9): 171. Tersedia di <http://www.ncbi.nlm.nih.gov/pubmed/23466436> [Accessed 12 Desember 2019].

CDC 2019a. *Diagnosis and Detection Cholera*. Tersedia di <https://www.cdc.gov/cholera/diagnosis.html> [Accessed 10 Desember 2019].

CDC 2019b. *Shigellosis - Chapter 4 - 2020 Yellow Book | Travelers' Health | CDC*. CDC. Tersedia di <https://wwwnc.cdc.gov/travel/yellowbook/2020/travel-related-infectious-diseases/shigellosis> [Accessed 8 Oktober 2019].

Clemens, J.D., Desai, S.N., Qadri, F., Nair, G. & Holmgren, J. 2018. Cholera Vaccines. *Plotkin's Vaccines*. Elsevier, hal.185-197.e5. Tersedia di <https://linkinghub.elsevier.com/retrieve/pii/B9780323357616000146> [Accessed 11 Desember 2019].

Cobo, E.R. & Chadee, K. 2013. Antimicrobial Human β -Defensins in the Colon and Their Role in Infectious and Non-Infectious Diseases. *Pathogens (Basel, Switzerland)*, 2(1): 177–92. Tersedia di <http://www.ncbi.nlm.nih.gov/pubmed/25436887> [Accessed 22 Oktober 2019].

Couch, R.B. 2004. Nasal Vaccination, *Escherichia coli* Enterotoxin, and Bell's Palsy. *New England Journal of Medicine*, .

- De, S.N. 1959. Enterotoxicity of bacteria-free culture-filtrate of vibrio cholerae. *Nature*, 183(4674): 1533–1534.
- Destoumieux-Garzón, D., Duperthuy, M., Vanhove, A.S., Schmitt, P. & Wai, S.N. 2014. Resistance to antimicrobial peptides in vibrios. *Antibiotics*.
- Dommett, R., Zilbauer, M., George, J.T. & Bajaj-Elliott, M. 2005. Innate immune defence in the human gastrointestinal tract. *Molecular Immunology*, 42(8): 903–912.
- Doss, M., White, M.R., Tecle, T. & Hartshorn, K.L. 2010. Human defensins and LL-37 in mucosal immunity. *Journal of leukocyte biology*, 87(1): 79–92. Tersedia di <http://www.ncbi.nlm.nih.gov/pubmed/19808939> [Accessed 7 November 2019].
- Dowling, J.M. & Yap, C.-F. 2014. *Communicable Diseases in Developing Countries. Communicable Diseases in Developing Countries*. Palgrave Macmillan UK.
- Drancourt, M. 2017. Acute Diarrhea. *Infectious Diseases*. Elsevier, hal.335-340.e2. Tersedia di <https://linkinghub.elsevier.com/retrieve/pii/B9780702062858000381> [Accessed 22 Oktober 2019].
- Duncan, C.L., Sugiyama, H. & H., S.D. 1968. Rabbit ileal loop response to strains of Clostridium perfringens. *J. Bacteriol*, 95: 1560–1566.
- Epstein, F.H., Field, M., Rao, M.C. & Chang, E.B. 1989. Intestinal Electrolyte Transport and Diarrheal Disease. *New England Journal of Medicine*, 321(12): 800–806. Tersedia di <http://www.nejm.org/doi/abs/10.1056/NEJM198909213211206> [Accessed 20 Oktober 2019].
- Fahlgren, A., Hammarström, S., Danielsson, A. & Hammarström, M.-L. 2003. Increased expression of antimicrobial peptides and lysozyme in colonic epithelial cells of patients with ulcerative colitis. *Clinical and experimental immunology*, 131(1): 90–101. Tersedia di <http://www.ncbi.nlm.nih.gov/pubmed/12519391> [Accessed 7 November 2019].
- Fitrianingsih, A.A., Rachma, L.N. & Milliana, A. 2018. *PROTEIN ADHESI SUB UNIT PILI Shigella flexneri 18 kDa MENINGKATKAN EKSPRESI PROTEIN ANTIMIKROBA BETA DEFENSIN PADA MENCIT (STRATEGI PENGEMBANGAN VAKSIN SHIGELLOSIS BERBASIS PROTEIN ADHESI)*. *Journal of Islamic Medicine*,
- Fitrianingsih, A.A., Rachma, L.N., Milliana, A., Hernowati, T.E., Santoso, S. & Prawiro, S.R. 2017. Cross Reaction among Antibody Pili subunit Hemagglutinin Proteins and Outer Membrane subunit Hemagglutinin Proteins of Shigella flexneri. *THE JOURNAL OF TROPICAL LIFE SCIENCE*, 7(1): 1–7.
- García, J.R., Krause, A., Schulz, S., Rodríguez-Jiménez, F.J., Klüver, E.,

- Adermann, K., Forssmann, U., Frimpong-Boateng, A., Bals, R. & Forssmann, W.G. 2001. Human beta-defensin 4: a novel inducible peptide with a specific salt-sensitive spectrum of antimicrobial activity. *FASEB journal : official publication of the Federation of American Societies for Experimental Biology*, 15(10): 1819–21. Tersedia di <http://www.ncbi.nlm.nih.gov/pubmed/11481241> [Accessed 7 November 2019].
- De Geus, E.D., Van Haarlem, D.A., Poetri, O.N., De Wit, J.J.S. & Vervelde, L. 2011. A lack of antibody formation against inactivated influenza virus after aerosol vaccination in presence or absence of adjuvantia. *Veterinary Immunology and Immunopathology*, 143(1–2): 143–147.
- Giesemann, T., Guttenberg, G. & Aktories, K. 2008. Human α -Defensins Inhibit Clostridium difficile Toxin B. *Gastroenterology*, 134(7): 2049–2058.
- Gill, D.M. 1976. The Arrangement of Subunits in Chlorea Toxin. *Biochemistry*, 15(6): 1242–1248.
- Grishin, D. V. & Sokolov, N.N. 2014. Defensins are natural peptide antibiotics of higher eukaryotes. *Biochemistry (Moscow) Supplement Series B: Biomedical Chemistry*, 8(1): 11–18. Tersedia di <http://link.springer.com/10.1134/S1990750814010077> [Accessed 22 Oktober 2019].
- Guerrant, R.L., Van Gilder, T., Steiner, T.S., Thielman, N.M., Slutsker, L., Tauxe, R. V., Hennessy, T., Griffin, P.M., DuPont, H., Bradley Sack, R., Tarr, P., Neill, M., Nachamkin, I., Reller, L.B., Osterholm, M.T., Bennish, M.L. & Pickering, L.K. 2001. Practice Guidelines for the Management of Infectious Diarrhea. *Clinical Infectious Diseases*, 32(3): 331–351.
- Guo, L., Liu, K., Xu, G., Li, X., Tu, J., Tang, F., Xing, Y. & Xi, T. 2012. Prophylactic and therapeutic efficacy of the epitope vaccine CTB-UA against Helicobacter pylori infection in a BALB/c mice model. *Applied Microbiology and Biotechnology*, 95(6): 1437–1444.
- Harder, J., Bartels, J., Christophers, E. & Schröder, J.M. 1997. A peptide antibiotic from human skin. *Nature*, 387(6636): 861. Tersedia di <http://www.ncbi.nlm.nih.gov/pubmed/9202117> [Accessed 7 November 2019].
- Harder, J., Meyer-Hoffert, U., Teran, L.M., Schwichtenberg, L., Bartels, J., Maune, S. & Schröder, J.M. 2000. Mucoid *Pseudomonas aeruginosa*, TNF-alpha, and IL-1beta, but not IL-6, induce human beta-defensin-2 in respiratory epithelia. *American journal of respiratory cell and molecular biology*, 22(6): 714–21. Tersedia di <http://www.ncbi.nlm.nih.gov/pubmed/10837369> [Accessed 7 November 2019].
- Harris, J.B. 2018. Cholera : Immunity and Prospects in Vaccine Development. *The Journal of Infectious Diseases*, 218(Suppl 3): 141–146.

- Harris, J.B., LaRocque, R.C., Qadri, F., Ryan, E.T. & Calderwood, S.B. 2012. Cholera. *The Lancet*. Lancet Publishing Group, hal.2466–2476.
- Hauschild, A.H.W., Nillo, L. & Dorward, W.J. 1967. Experimental enteritis with food poisoning and classical strains of *Clostridium perfringens* type A in lambs. *J. Infec. Dis.*, 117: 379–386.
- Hauschild, A.H.W., Nillo, L. & Dorward, W.J. 1968. *Clostridium perfringens* type A infection of ligated intestinal loops in lambs. *Appl. Microbiol.*, 16: 1235–1239.
- Herwana, E., Surjawidjaja, J.E., Salim, O.C., Indriani, N., Bukitwetan, P. & Lesmana, M. 2010. Shigella-associated diarrhea in children in South Jakarta, Indonesia. *Southeast Asian Journal of Tropical Medicine and Public Health*, 41(2): 418–425.
- Holmgren, J., Czerkinsky, C., Lycke, N. & Svennerholm, A.M. 1994. Strategies for the induction of immune responses at mucosal surfaces making use of cholera toxin B subunit as immunogen, carrier, and adjuvant. *The American journal of tropical medicine and hygiene*, 50(5 Suppl): 42–54. Tersedia di <http://www.ncbi.nlm.nih.gov/pubmed/8203723> [Accessed 12 Desember 2019].
- Hosangadi, D., Smith, P.G., Kaslow, D.C., Giersing, B.K. & WHO ETEC & Shigella Vaccine Consultation Expert Group 2018. WHO consultation on ETEC and Shigella burden of disease, Geneva, 6-7th April 2017: Meeting report. *Vaccine*. Tersedia di <http://www.ncbi.nlm.nih.gov/pubmed/29352598> [Accessed 22 Oktober 2019].
- ICHRC 2016. Diare. *Hospital Care for Children*, (Anak dengan Diare).
- Janicot, M., Fouque, F. & Desbuquois, B. 1991. Activation of rat liver adenylate cyclase by cholera toxin requires toxin internalization and processing in endosomes. *The Journal of biological chemistry*, 266(20): 12858–65. Tersedia di <http://www.ncbi.nlm.nih.gov/pubmed/2071575> [Accessed 20 Oktober 2019].
- Jann, K., Goldemann, G., Weisgerber, C., Wolf-Ullisch, C. & Kanegasaki, S. 1982. Biosynthesis of the O9 Antigen of *Escherichia coli* Initial Reaction and Overall Mechanism. *European Journal of Biochemistry*, 127(1): 157–164.
- Kanungo, S., Paisley, A., Lopez, A.L., Bhattacharya, M., Manna, B., Kim, D.R., Han, S.H., Attridge, S., Carbis, R., Rao, R., Holmgren, J., Clemens, J.D. & Sur, D. 2009. Immune responses following one and two doses of the reformulated, bivalent, killed, whole-cell, oral cholera vaccine among adults and children in Kolkata, India: A randomized, placebo-controlled trial. *Vaccine*, 27(49): 6887–6893.
- Khoirul, A., Nurdiana, Tinny Endang, H., Suyuti, H. & Sumarno 2016. Cross Immunity among the 49 . 8 KDa Pili Subunit Hemagglutinin Proteins and 7.9 KDa Pili Subunit Anti Hemagglutinin Proteins of *Shigella* spp. *International Journal of Pharmacy & Pharmaceutical Research*, 7(2): 19–30.
- Kim, C., Gajendran, N., Mittrucker, H.W., Weiwas, M., Song, Y.H., Hurwitz, R.,

- Wilmanns, M., Fischer, G. & Kaufmann, S.H.E. 2005. Human α -defensins neutralize anthrax lethal toxin and protect against its fatal consequences. *Proceedings of the National Academy of Sciences of the United States of America*, 102(13): 4830–4835.
- Kim, C., Slavinskaya, Z., Merrill, A.R. & Kaufmann, S.H.E. 2006. Human α -defensins neutralize toxins of the mono-ADP- ribosyltransferase family. *Biochemical Journal*, 399(2): 225–229.
- Kim, M.J., Moon, Y., Kim, H., Rho, S., Shin, Y.K., Song, M., Walker, R., Czerkinsky, C., Kim, D.W. & Kim, J.-O. 2018. Cross-Protective Shigella Whole-Cell Vaccine With a Truncated O-Polysaccharide Chain. *Frontiers in Microbiology*, 9.
- Kosikowska, P. & Lesner, A. 2016. Antimicrobial peptides (AMPs) as drug candidates: a patent review (2003–2015). *Expert Opinion on Therapeutic Patents*, .
- Kotloff, K.L., Simon, J.K., Pasetti, M.F., Sztein, M.B., Wooden, S.L., Livio, S., Nataro, J.P., Blackwelder, W.C., Barry, E.M., Picking, W. & Levine, M.M. 2007. Safety and immunogenicity of CVD 1208S, a live, oral ΔguABA Δsen Δset Shigella flexneri 2a vaccine grown on animal-free media. *Human Vaccines*, 3(6): 268–275.
- Kubota, E., Joh, T., Tanida, S., Sasaki, M., Kataoka, H., Watanabe, K., Itoh, K., Oshima, T., Ogasawara, N., Togawa, S., Wada, T., Yamada, T., Mori, Y., Fujita, F., Shimura, T., Ohara, H., Isaka, M., Yasudat, Y. & Itoh, M. 2005. Oral vaccination against Helicobacter pylori with recombinant cholera toxin B-subunit. *Helicobacter*, 10(4): 345–352.
- Lanata, C.F., Fischer-Walker, C.L., Olascoaga, A.C., Torres, C.X., Aryee, M.J. & Black, R.E. 2013. Global Causes of Diarrheal Disease Mortality in Children <5 Years of Age: A Systematic Review. *PLoS ONE*, 8(9).
- Lange, S. & Holmgren, J. 1978. Protective antitoxic cholera immunity in mice: Influence of route and number of immunizations and mode of action of protective antibodies. *Acta Pathologica et Microbiologica Scandinavica - Section C Immunology*, 86(4): 145–152.
- Lehrer, R.I., Jung, G., Ruchala, P., Wang, W., Micewicz, E.D., Waring, A.J., Gillespie, E.J., Bradley, K.A., Ratner, A.J., Rest, R.F. & Lu, W. 2009. Human α -defensins inhibit hemolysis mediated by cholesterol-dependent cytolsins. *Infection and Immunity*, 77(9): 4028–4040.
- Leung, D.T., Chowdhury, F., Calderwood, S.B., Qadri, F. & Ryan, E.T. 2012. Immune responses to cholera in children. *Expert Review of Anti-Infective Therapy*, .
- Levine, M.M., Kaper, J.B., Black, R.E. & Clements, M.L. 1983. New knowledge on pathogenesis of bacterial enteric infections as applied to vaccine development. *Microbiological Reviews*, .
- Levine, M.M., Kaper, J.B., Herrington, D., Ketley, J., Losonsky, G., Tacket, C.O.,

- Tall, B. & Cryz, S. 1988. Safety, immunogenicity, and efficacy of recombinant live oral cholera vaccines, CVD 103 and CVD 103-HgR. *Lancet (London, England)*, 2(8609): 467–70. Tersedia di <http://www.ncbi.nlm.nih.gov/pubmed/2900401> [Accessed 12 Desember 2019].
- Levine, M.M., Kotloff, K.L., Barry, E.M., Pasetti, M.F. & Sztein, M.B. 2007. *Clinical trials of Shigella vaccines: Two steps forward and one step back on a long, hard road*. *Nature Reviews Microbiology*, . Universitas Brawijaya
- Liu, J., Platts-Mills, J.A., Juma, J., Kabir, F., Nkeze, J., Okoi, C., Operario, D.J., Uddin, J., Ahmed, S., Alonso, P.L., Antonio, M., Becker, S.M., Blackwelder, W.C., Breiman, R.F., Faruque, A.S.G., Fields, B., Gratz, J., Haque, R., Hossain, A., Hossain, M.J., Jarju, S., Qamar, F., Iqbal, N.T., Kwambana, B., Mandomando, I., McMurry, T.L., Ochieng, C., Ochieng, J.B., Ochieng, M., Onyango, C., Panchalingam, S., Kalam, A., Aziz, F., Qureshi, S., Ramamurthy, T., Roberts, J.H., Saha, D., Sow, S.O., Stroup, S.E., Sur, D., Tamboura, B., Taniuchi, M., Tennant, S.M., Toema, D., Wu, Y., Zaidi, A., Nataro, J.P., Kotloff, K.L., Levine, M.M. & Hourt, E.R. 2016. Use of quantitative molecular diagnostic methods to identify causes of diarrhoea in children: a reanalysis of the GEMS case-control study. *The Lancet*, 388(10051): 1291–1301.
- Livio, S., Strockbine, N.A., Panchalingam, S., Tennant, S.M., Barry, E.M., Marohn, M.E., Antonio, M., Hossain, A., Mandomando, I., Ochieng, J.B., Oundo, J.O., Qureshi, S., Ramamurthy, T., Tamboura, B., Adegbola, R.A., Hossain, M.J., Saha, D., Sen, S., Faruque, A.S.G., Alonso, P.L., Breiman, R.F., Zaidi, A.K.M., Sur, D., Sow, S.O., Berkeley, L.Y., O'Reilly, C.E., Mintz, E.D., Biswas, K., Cohen, D., Farag, T.H., Nasrin, D., Wu, Y., Blackwelder, W.C., Kotloff, K.L., Nataro, J.P. & Levine, M.M. 2014. Shigella isolates from the global enteric multicenter study inform vaccine development. *Clinical Infectious Diseases*, 59(7): 933–941.
- Lozano, R., Naghavi, M., Foreman, K., Lim, S. & Shibuya, K. 2012. Global and regional mortality from 235 causes of death for 20 age groups in 1990 and 2010: A systematic analysis for the Global Burden of Disease Study 2010. *The Lancet*, 380(9859): 2095–2128.
- Mani, S., Wierzba, T. & Walker, R.I. 2016. Status of vaccine research and development for Shigella. *Vaccine*, 34(26): 2887–2894. Tersedia di <http://www.sciencedirect.com/science/article/pii/S0264410X16002863> [Accessed 3 Mei 2017].
- Marcante, K.J., Kliegman, R.M., Jenson, H.B. & Behrman, R.E. 2014. *Ilmu Kesehatan Anak Esensial Edisi Keenam*. Jakarta: IDAI.
- Mastroianni, J.R. & Ouellette, A.J. 2009. Alpha-defensins in enteric innate immunity: functional Paneth cell alpha-defensins in mouse colonic lumen. *The Journal of biological chemistry*, 284(41): 27848–56. Tersedia di <http://www.ncbi.nlm.nih.gov/pubmed/19687006> [Accessed 7 November 2019].

- Mel, D., Gangarosa, E.J., Radovanovic, M.L., Arsic, B.L. & Litvinenko, S. 1971. Studies on vaccination against bacillary dysentery. 6. Protection of children by oral immunization with streptomycin-dependent Shigella strains. *Bulletin of the World Health Organization*, 45(4): 457–464.
- Mel, D.M., Arsic, B.L., Radovanovic, M.L. & Litvinenko, S.A. 1974. Live oral Shigella vaccine: vaccination schedule and the effect of booster dose. *Acta microbiologica Academiae Scientiarum Hungaricae*, 21(1–2): 109–14. Tersedia di <http://www.ncbi.nlm.nih.gov/pubmed/4613128> [Accessed 12 Desember 2019].
- Menendez, A. & Brett Finlay, B. 2007. *Defensins in the immunology of bacterial infections. Current Opinion in Immunology*, .
- Millet, Y.A., Alvarez, D., Ringgaard, S., von Andrian, U.H., Davis, B.M. & Waldor, M.K. 2014. Insights into *Vibrio cholerae* Intestinal Colonization from Monitoring Fluorescently Labeled Bacteria. *PLoS Pathogens*, 10(10).
- Milliana, A., Noorhamdani, A.S., Poeranto, S., Handono, K., Ainur, A. & Rachma, L.N. 2017. Antibodies against *Shigella flexneri* adhesion molecule outer membrane protein (OMP) can cross-react with OMPs of some *Shigella* species. *Tropical Journal of Pharmaceutical Research*, 16(2): 255–261.
- Moore, S., Thomson, N., Mutreja, A. & Piarroux, R. 2014. Widespread epidemic cholera caused by a restricted subset of *Vibrio cholerae* clones. *Clinical Microbiology and Infection*, .
- Morona, R., Daniels, C. & Van Den Bosch, L. 2003. Genetic modulation of *Shigella flexneri* 2a lipopolysaccharide O antigen modal chain length reveals that it has been optimized for virulence. *Microbiology*, .
- Mutsch, M., Zhou, W., Rhodes, P., Bopp, M., Chen, R.T., Linder, T., Spry, C. & Steffen, R. 2004. Use of the Inactivated Intranasal Influenza Vaccine and the Risk of Bell's Palsy in Switzerland. *New England Journal of Medicine*, 350(9): 896–903.
- Naghavi, M., Wang, H., Lozano, R., Davis, A., Liang, X., Zhou, M. & Vollset, S.E. 2015. Global, regional, and national age-sex specific all-cause and cause-specific mortality for 240 causes of death, 1990–2013: A systematic analysis for the Global Burden of Disease Study 2013. *The Lancet*, 385(9963): 117–171.
- Navaneethan, U. & Giannella, R.A. 2010. Definition, Epidemiology, Pathophysiology, Clinical Classification, and Differential Diagnosis of Diarrhea. *Diarrhea*. Humana Press, hal.1–31.
- Navaneethan, U. & Giannella, R.A. 2014. *Diarrhea: Diagnostic and Therapeutic Advances*. Tersedia di <http://www.springer.com/series/7672> [Accessed 10 Desember 2019].
- Nguyen, T.L.A., Vieira-Silva, S., Liston, A. & Raes, J. 2015. How informative is the mouse for human gut microbiota research? *DMM Disease Models and Mechanisms*, 8(1): 1–16.

Nguyen, Y.N., Shull, L.M. & Camilli, A. 2017. *Identification and characterization of population heterogeneity of Vibrio cholerae in vivo. The FASEB Journal*, Federation of American Societies for Experimental Biology. Tersedia di http://www.fasebj.org/content/31/1_Supplement/lb201.short [Accessed 3 Mei 2017].

O'Neil, D.A., Porter, E.M., Elewaut, D., Anderson, G.M., Eckmann, L., Ganz, T. & Kagnoff, M.F. 1999. Expression and regulation of the human beta-defensins hBD-1 and hBD-2 in intestinal epithelium. *Journal of immunology (Baltimore, Md. : 1950)*, 163(12): 6718–24. Tersedia di <http://www.ncbi.nlm.nih.gov/pubmed/10586069> [Accessed 7 November 2019].

Orata, F.D., Keim, P.S. & Boucher, Y. 2014. The 2010 Cholera Outbreak in Haiti: How Science Solved a Controversy. *PLoS Pathogens*, 10(4).

Ouyang-Latimer, J., Jafri, S., VanTassel, A., Jiang, Z.D., Gurleen, K., Rodriguez, S., Nandy, R.K., Ramamurthy, T., Chatterjee, S., McKenzie, R., Steffen, R. & DuPont, H.L. 2011. In vitro antimicrobial susceptibility of bacterial enteropathogens isolated from international travelers to Mexico, Guatemala, and India from 2006 to 2008. *Antimicrobial Agents and Chemotherapy*, 55(2): 874–878.

Oyofo, B.A., Lesmana, M., Subekti, D., Tjaniadi, P., Larasati, W., Putri, M., Simanjuntak, C.H., Punjabi, N.H., Santoso, W., Muzahar, Sukarma, Sriwati, Sarumpaet, S., Abdi, M., Tjindi, R., Ma'ani, H., Sumardiati, A., Handayani, H., Campbell, J.R., Alexander, W.K., Beecham, H.J. & Corwin, A.L. 2002. Surveillance of bacterial pathogens of diarrhea disease in Indonesia. *Diagnostic Microbiology and Infectious Disease*, 44(3): 227–234. Tersedia di <http://linkinghub.elsevier.com/retrieve/pii/S0732889302004546> [Accessed 3 Mei 2017].

Pazgier, M., Hoover, D.M., Yang, D., Lu, W. & Lubkowski, J. 2006. Human beta-defensins. *Cellular and molecular life sciences : CMLS*, 63(11): 1294–313. Tersedia di <http://www.ncbi.nlm.nih.gov/pubmed/16710608> [Accessed 7 November 2019].

Penrose, K., De Castro, M.C., Werema, J. & Ryan, E.T. 2010. Informal urban settlements and cholera risk in Dar es Salaam, Tanzania. *PLoS Neglected Tropical Diseases*, 4(3).

Perez-Lopez, A., Behnson, J., Nuccio, S.P. & Raffatellu, M. 2016. Mucosal immunity to pathogenic intestinal bacteria. *Nature Reviews Immunology*, 16(3): 135–148. Tersedia di <http://dx.doi.org/10.1038/nri.2015.17>.

Piarroux, R. & Faucher, B. 2012. *Cholera epidemics in 2010: Respective roles of environment, strain changes, and human-driven dissemination. Clinical Microbiology and Infection*.

Pore, D. & Chakrabarti, M.K. 2013. Outer membrane protein A (*OmpA*) from *Shigella flexneri* 2a: A promising subunit vaccine candidate. *Vaccine*.

- Pore, D. & Chakrabarti, M.K. 2016. An approach to identify and characterize a subunit candidate Shigella vaccine antigen. *Methods in Molecular Biology*. Humana Press Inc., hal.433–444.
- Pore, D., Chowdhury, P., Mahata, N., Pal, A., Yamasaki, S., Mahalanabis, D. & Chakrabarti, M.K. 2009. Purification and characterization of an immunogenic outer membrane protein of *Shigella flexneri* 2a. *Vaccine*, 27(42): 5855–5864.
- Pore, D., Mahata, N. & Chakrabarti, M.K. 2012. Outer membrane protein A (OmpA) of *Shigella flexneri* 2a links innate and adaptive immunity in a TLR2-dependent manner and involvement of IL-12 and nitric oxide. *Journal of Biological Chemistry*, 287(15): 12589–12601.
- Pore, D., Mahata, N., Pal, A. & Chakrabarti, M.K. 2010. 34kDa MOMP of *Shigella flexneri* promotes TLR2 mediated macrophage activation with the engagement of NF- κ B and p38 MAP kinase signaling. *Molecular Immunology*, 47(9): 1739–1746.
- Pore, D., Mahata, N., Pal, A. & Chakrabarti, M.K. 2011. Outer Membrane Protein A (OmpA) of *Shigella flexneri* 2a, Induces Protective Immune Response in a Mouse Model. *PLoS ONE*, 6(7): e22663. Tersedia di <http://dx.plos.org/10.1371/journal.pone.0022663> [Accessed 7 November 2019].
- Preedy, V.R. 2016. *Adhesion molecules. Adhesion Molecules*. CRC Press.
- Puspandari, N., Puspandari, N., Sariadji, K. & Wati, M. 2010. IDENTIFIKASI PENYEBAB KEJADIAN LUAR BIASA KOLERA DI PAPUA TERKAIT KONTAK JENAZAH DAN SANITASI. *Widyariset*, 13(2): 69–74. Tersedia di <http://widyariset.pusbindiklat.lipi.go.id/index.php/widyariset/article/view/175> [Accessed 8 Desember 2019].
- Qadri, F., Ali, M., Lynch, J., Chowdhury, F., Khan, A.I., Wierzba, T.F., Exler, J.L., Saha, A., Islam, M.T., Begum, Y.A., Bhuiyan, T.R., Khanam, F., Chowdhury, M.I., Khan, I.A., Kabir, A., Riaz, B.K., Akter, A., Khan, A., Asaduzzaman, M., Kim, D.R., Siddik, A.U., Saha, N.C., Cravioto, A., Singh, A.P. & Clemens, J.D. 2018. Efficacy of a single-dose regimen of inactivated whole-cell oral cholera vaccine: results from 2 years of follow-up of a randomised trial. *The Lancet Infectious Diseases*, 18(6): 666–674.
- Rabbi, F., Sultana, N., Rahman, T., Al-Emran, H.M., Uddin, M.N., Hossain, M., Anwar, K.S., Yasmin, M., Nessa, J. & Ahsan, C.R. 2008. Analysis of immune responses and serological cross reactivities among *Vibrio cholerae* O1, *Shigella flexneri* 2a and *Haemophilus influenzae* b. *Cellular & molecular immunology*, 5(5): 393–6. Tersedia di <http://www.ncbi.nlm.nih.gov/pubmed/18954564> [Accessed 22 Oktober 2019].
- Ramasundara, M., Leach, S.T., Lemberg, D.A. & Day, A.S. 2009. Defensins and inflammation: the role of defensins in inflammatory bowel disease. *Journal of gastroenterology and hepatology*, 24(2): 202–8. Tersedia di

<http://www.ncbi.nlm.nih.gov/pubmed/19215333> [Accessed 7 November 2019].

Rath, B., Linder, T., Cornblath, D., Hudson, M., Fernandopulle, R., Hartmann, K., Heininger, U., Izurieta, H., Killion, L., Kokotis, P., Oleske, J., Vajdy, M. & Wong, V. 2007. *"All that palsies is not Bell's [1]"-The need to define Bell's palsy as an adverse event following immunization.* Vaccine, .

Ren, G., Roberts, A.I. & Shi, Y. 2011. Adhesion molecules. *Cell Adhesion & Migration*, 5(1): 20–22. Tersedia di <http://www.tandfonline.com/doi/abs/10.4161/cam.5.1.13491> [Accessed 23 Desember 2019].

Riedel, S., Hobden, J.A., Miller, S., Morse, S.A., Mietzner, T., Detrick, B.,
Mitchell, T.G., Sakanari, J.A., Hotez, P. & Mejia, R. 2019. Jawetz, Melnick, &
Adelberg's *Medical Microbiology*. 28th editi ed. McGraw-Hill Education.

Rikesdas 2018. HASIL UTAMA RISKESDAS 2018.

Rubio, C.A. & Befrits, R. 2009. Increased lysozyme expression in gastric biopsies with intestinal metaplasia and pseudopyloric metaplasia. *International journal of clinical and experimental medicine*, 2(3): 248–53. Tersedia di <http://www.ncbi.nlm.nih.gov/pubmed/19918317> [Accessed 7 November 2019].

Ryan, E.T. & Calderwood, S.B. 2000. Cholera vaccines. *Clinical infectious diseases : an official publication of the Infectious Diseases Society of America*, 31(2): 561–5. Tersedia di <http://www.ncbi.nlm.nih.gov/pubmed/10987721> [Accessed 20 Oktober 2019].

Ryan, K.J. (Kenneth J., Ray, C.G. & Sherris, J.C. 2004. *Sherris medical microbiology : an introduction to infectious diseases*. McGraw-Hill.

Ryan, K.J. & Ray, C.G. 2003. *Sherris Medical Microbiology*. McGraw Hill Professional. Tersedia di http://books.google.co.in/books/about/Sherris_Medical_Microbiology.html?hl=id&pgis=1 [Accessed 9 Desember 2019].

Sack, D.A., Sack, R.B., Nair, G.B. & Siddique, A. 2004. Cholera (The Lancet). *The Lancet*, 363(9404): 223–233. Tersedia di <http://www.sciencedirect.com/science/article/pii/S0140673603153287> [Accessed 20 Oktober 2019].

Salzman, N.H., Hung, K., Haribhai, D., Chu, H., Karlsson-Sjöberg, J., Amir, E., Teggatz, P., Barman, M., Hayward, M., Eastwood, D., Stoel, M., Zhou, Y., Sodergren, E., Weinstock, G.M., Bevins, C.L., Williams, C.B. & Bos, N.A. 2010. Enteric defensins are essential regulators of intestinal microbial ecology. *Nature Immunology*, 11(1): 76–83.

Salzman, N.H., Underwood, M.A. & Bevins, C.L. 2007. Paneth cells, defensins, and the commensal microbiota: a hypothesis on intimate interplay at the intestinal mucosa. *Seminars in Immunology*, 19(2): 70–83. Tersedia di

<http://www.ncbi.nlm.nih.gov/pubmed/17485224> [Accessed 7 November 2019].

Sanchez, J. & Holmgren, J. 1989. Recombinant system for overexpression of cholera toxin B subunit in *Vibrio cholerae* as a basis for vaccine development. *Proceedings of the National Academy of Sciences of the United States of America*, 86(2): 481–485.

Sánchez, J. & Holmgren, J. 2008. *Cholera toxin structure, gene regulation and pathophysiological and immunological aspects*. Cellular and Molecular Life Sciences, .

Sansonetti, P.J. 2001. *Shigellosis: From symptoms to molecular pathogenesis*. American Journal of Physiology - Gastrointestinal and Liver Physiology, .

Sawasvirojwong, S., Srimanote, P., Chatsudhipong, V. & Muanprasat, C. 2013
An Adult Mouse Model of *Vibrio cholerae*-induced Diarrhea for Studying Pathogenesis and Potential Therapy of Cholera. *PLoS Neglected Tropical Diseases*, 7(6).

Von Seidlein, L., Deok, R.K., Ali, M., Lee, H., Wang, X.Y., Vu, D.T., Do, G.C., Chaicumpa, W., Agtini, M.D., Hossain, A., Bhutta, Z.A., Mason, C., Sethabutr, O., Talukder, K., Nair, G.B., Deen, J.L., Kotloff, K. & Clemens, J. 2006. A multicentre study of *Shigella* diarrhoea in six Asian countries: Disease burden, clinical manifestations, and microbiology. *PLoS Medicine*, 3(9): 1556–1569.

Selsted, M.E. 2004. *θ -Defensins: Cyclic Antimicrobial Peptides Produced by Binary Ligation of Truncated α -Defensins.* Current Protein and Peptide Science, .

Sereny, B. 1955. Experimental shigella keratoconjunctivitis; a preliminary report. *Acta microbiologica Academiae Scientiarum Hungaricae*, 2(3): 293–6.
Tersedia di <http://www.ncbi.nlm.nih.gov/pubmed/14387586> [Accessed 12 Desember 2019].

Setyorini, D., Utami, Y.D., Widjayanto, E., Winarsih, S., Noorhamdani, A.S. & Reto Prawiro, S. 2013. Protectivity of Adhesion Molecules Pili 49,8 kDa Shigella dysenteriae Conjugated with ISCOM against Bacterial Colonization and Colonic Epithelial Cells Damage in Mice. *International Journal of Tropical Medicine*, 8(1): 19–26. Tersedia di <https://www.medwelljournals.com/abstract/?doi=ijtmed.2013.19.26> [Accessed 3 Mei 2017].

Shirin, T., Rahman, A., Danielsson, Å., Uddin, T., Bhuyian, T.R., Sheikh, A., Qadri, S.S., Qadri, F. & Hammarström, M.L. 2011. Antimicrobial peptides in the duodenum at the acute and convalescent stages in patients with diarrhea due to *Vibrio cholerae* O1 or enterotoxigenic *Escherichia coli* infection. *Microbes and Infection*, 13(12–13): 1111–1120.

Simanjuntak, C.H., Levine, M.M., O'Hanley, P., Punjabi, N.H., Noriega, F., Pazzaglia, G., Dykstra, P., Kav, B., Subaryono, Budiarsro, A., Rifai, A.R.

- Wasserman, S.S., Losonsky, G., Kaper, J. & Cryz, S. 1993. Safety, Immunogenicity, and Transmissibility of Single-Dose Live Oral Cholera Vaccine Strain CVD 103-HgR in 24- to 59-Month-Old Indonesian Children. *Journal of Infectious Diseases*, 168(5): 1169–1176.
- Sit, B., Zhang, T., Fakoya, B., Akter, A., Biswas, R., Ryan, E.T. & Waldor, M.K. 2019. Oral immunization with a probiotic cholera vaccine induces broad protective immunity against vibrio cholerae colonization and disease in mice. *PLoS Neglected Tropical Diseases*, 13(5).
- Soepardi, J. 2011. Buletin Diare (Situasi Diare di Indonesia). *Kementerian Kesehatan RI*.
- Sperandio, B., Fischer, N. & Sansonetti, P.J. 2015. Mucosal physical and chemical innate barriers: Lessons from microbial evasion strategies. *Seminars in immunology*, 27(2): 111–8. Tersedia di <http://www.ncbi.nlm.nih.gov/pubmed/25936225> [Accessed 22 Oktober 2019].
- Sumarno 2000. *Karakteristik Molekuler Protein Adesi Vibrio cholerae O1 M094V dan Protein Reseptornya pada Sel Epitel Usus Halus Tikus Putih (Wistar)*. Tersedia di <http://repository.unair.ac.id/31912/>.
- Sumarno 2003. Bobot Molekuler Protein Reseptor Vibrio cholera O1 M094V pada Enterosit Tikus Putih. *Jurnal Kedokteran YARSI*, 11(S): 20–29.
- Sumarno, Susanto, A., Ismanoe, G. & Wienarsih 2011. Combinations of Protein Sub-Unit PILI 37.8 KDA V. Cholerae with Cholera Toxin Sub-Unit B V. Cholerae Can Protect Come Out of the Solution in the Intestinal Mice. *J. Pharm. Biomed. Sci*, 1(8): 154–160.
- Sun, J.B., Czerkinsky, C. & Holmgren, J. 2009. *Mucosally induced immunological tolerance, regulatory T cells and the adjuvant effect by cholera toxin B subunit*. *Scandinavian Journal of Immunology*, .
- Sur, D., Kanungo, S., Sah, B., Manna, B., Ali, M., Paisley, A.M., Niyogi, S.K., Park, J.K., Sarkar, B., Puri, M.K., Kim, D.R., Deen, J.L., Holmgren, J., Carbis, R., Rao, R., Thu Van, N., Han, S.H., Attridge, S., Donner, A., Ganguly, N.K., Bhattacharya, S.K., Nair, G.B., Clemens, J.D. & Lopez, A.L. 2011. Efficacy of a Low-Cost, Inactivated Whole-Cell Oral Cholera Vaccine: Results from 3 Years of Follow-Up of a Randomized, Controlled Trial. *PLoS Neglected Tropical Diseases*, 5(10): e1289. Tersedia di <https://dx.plos.org/10.1371/journal.pntd.0001289> [Accessed 12 Desember 2019].
- Tokuhara, D., Yuki, Y., Nochi, T., Kodama, T., Mejima, M. & Kurokawa, S. 2010. Secretory IgA-mediated protection against *V. cholerae* and heat-labile enterotoxin-producing enterotoxigenic Escherichia coli by rice-based vaccine. *PNAS*, 107(19): 8794–8799. Tersedia di <https://www.ncbi.nlm.nih.gov/pubmed/20421480>.
- Tribble, D.R. 2017. *Resistant pathogens as causes of traveller's diarrhea globally*

- and impact(s) on treatment failure and recommendations. Journal of travel medicine.*, .
- Underwood, M.A. & Bevins, C.L. 2010. Defensin-barbed innate immunity: clinical associations in the pediatric population. *Pediatrics*, 125(6): 1237–47. Tersedia di <http://www.ncbi.nlm.nih.gov/pubmed/20478936> [Accessed 7 November 2019].
- UNICEF, W. 2009. Diarrhoea: Why children are still dying and what can be done? WHO/ UNICEF Report: 1-16. *The Lancet*.
- Valore, E. V., Park, C.H., Quayle, A.J., Wiles, K.R., McCray, P.B. & Ganz, T. 1998. Human beta-defensin-1: an antimicrobial peptide of urogenital tissues. *The Journal of clinical investigation*, 101(8): 1633–42. Tersedia di <http://www.ncbi.nlm.nih.gov/pubmed/9541493> [Accessed 7 November 2019].
- Vos, T., Salomon, J.A. & Murray, C.J.L. 2015. Global, regional, and national incidence, prevalence, and years lived with disability for 301 acute and chronic diseases and injuries in 188 countries, 1990-2013: A systematic analysis for the Global Burden of Disease Study 2013. *The Lancet*, 386(9995): 743–800.
- Wada, A., Mori, N., Oishi, K., Hojo, H., Nakahara, Y., Hamanaka, Y., Nagashima, M., Sekine, I., Ogushi, K.I., Niidome, T., Nagatake, T., Moss, J. & Hirayama, T. 1999. Induction of human β -defensin-2 mRNA expression by Helicobacter pylori in human gastric cell line MKN45 cells on cag Pathogenicity Island. *Biochemical and Biophysical Research Communications*, 263(3): 770–774.
- Walker, C.L.F., Rudan, I., Liu, L., Nair, H., Theodoratou, E., Bhutta, Z.A., O'Brien, K.L., Campbell, H. & Black, R.E. 2013. *Global burden of childhood pneumonia and diarrhoea. The Lancet*, .
- Wehkamp, J., Schäuber, J. & Stange, E.F. 2007. Defensins and cathelicidins in gastrointestinal infections. *Current opinion in gastroenterology*, 23(1): 32–8. Tersedia di <http://www.ncbi.nlm.nih.gov/pubmed/17133082> [Accessed 7 November 2019].
- WHO 2017. *Diarrhoeal disease*. Tersedia di <https://www.who.int/news-room/fact-sheets/detail/diarrhoeal-disease> [Accessed 8 Oktober 2019].
- WHO 2019. *Fact sheets/ Cholera*. WHO. Tersedia di <https://www.who.int/news-room/fact-sheets/detail/cholera> [Accessed 8 Oktober 2019].
- WHO & UNICEF 2015. *Progress on Sanitation and Drinking Water: 2015 Update and MDG Assessment*. UNICEF Publication. Tersedia di https://www.unicef.org/publications/index_82419.html [Accessed 23 Desember 2019].
- Yang, D., Liu, Z., Tewary, P., Chen, Q., de la Rosa, G. & Oppenheim, J. 2007. Defensin Participation in Innate and Adaptive Immunity. *Current Pharmaceutical Design*, 13(30): 3131–3139.



- Ying, T.Y., Wang, J.J., Wang, H.L., Feng, E.L., Wei, K.H., Huang, L.Y., Huang, P.T. & Huang, C.F. 2005. Immunoproteomics of membrane proteins of *Shigella flexneri* 2a 2457T. *World Journal of Gastroenterology*, 11(43): 6880–6883.
- Zeeshan Zafar, M. & Gulzar, H. 2016. A Case Study: Cholera. Tersedia di <https://www.researchgate.net/publication/310603313> [Accessed 18 Desember 2019].
- Zilbauer, M., Dorrell, N., Bougash, P.K., Harris, A., Wren, B.W., Klein, N.J. & Bajaj-Elliott, M. 2005. Intestinal innate immunity to *Campylobacter jejuni* results in induction of bactericidal human beta-defensins 2 and 3. *Infection and immunity*, 73(11): 7281–9. Tersedia di <http://www.ncbi.nlm.nih.gov/pubmed/16239524> [Accessed 7 November 2019].
- Zuckerman, J.N., Rombo, L. & Fisch, A. 2007. The true burden and risk of cholera: implications for prevention and control. *The Lancet Infectious Diseases*, 7(8): 521–530. Tersedia di <http://www.ncbi.nlm.nih.gov/pubmed/17584531> [Accessed 3 Mei 2017].



KEMENTERIAN RISET, TEKNOLOGI, DAN PENDIDIKAN TINGGI

UNIVERSITAS BRAWIJAYA

FAKULTAS KEDOKTERAN

KOMISI ETIK PENELITIAN KESEHATAN

Jalan Veteran Malang - 65145, Jawa Timur - Indonesia
Telp. (62) (0341) 5518411 Ext. 368; 569117; 567102 - Fax. (62) (0341) 564755
<http://www.fk.ub.ac.id> e-mail : kep.fk@ub.ac.id

KETERANGAN KELAIKAN ETIK
("ETHICAL CLEARANCE")

No. 44 / EC / KEPK – S2 / 03 / 2018

KOMISI ETIK PENELITIAN KESEHATAN FAKULTAS KEDOKTERAN UNIVERSITAS BRAWIJAYA, SETELAH MEMPELAJARI DENGAN SEKSAMA RANCANGAN PENELITIAN YANG DIUSULKAN, DENGAN INI MENYATAKAN BAHWA PENELITIAN DENGAN

JUDUL	: Reaksi Silang Respons Imun antara Molekul Adhesin <i>Shigella</i> dan <i>Vibrio Cholerae</i> .		
PENELITI UTAMA	: Septha Rully D P Gentiri Indraswari Elsa Larissa Merika Soraya Aisyah Amalia Andrian Prasetya	Guntur Rizal H Jaya Purna K Safira Nur Alitha P Dea Aninditha Rafif Ullyha Aditya	
UNIT / LEMBAGA	: S2 Biomedik - Fakultas Kedokteran - Universitas Brawijaya Malang.		
TEMPAT PENELITIAN	: Laboratorium Biomedik Fakultas Kedokteran Universitas Brawijaya Malang dan Laboratorium Sentral Hayati Universitas Brawijaya Malang.		

DINYATAKAN LAIK ETIK.



16 MAR 2018

Catatan :

Keterangan Laik Etik Ini Berlaku 1 (Satu) Tahun Sejak Tanggal Dikeluarkan
Pada Akhir Penelitian, Laporan Hasil Pelaksanaan Penelitian Wajib Diberikan Kepada KEPK-FKUB Dalam Bentuk Soft Copy. Jika Ada Perubahan Protokol Dan / Atau Perpanjangan Penelitian, Harus Mengajukan Kembali Permohonan Kajian Etik Penelitian (Amandemen Protokol).



Lampiran 2. Surat Keterangan Bebas Plagiasi

KEMENTERIAN PENDIDIKAN DAN KEBUDAYAAN
UNIVERSITAS BRAWIJAYA
FAKULTAS KEDOKTERAN

Jalan Veteran Malang - 65145, Jawa Timur - Indonesia
Telp. (0341) 551611 Pes. 213.214; 569117, 567192 – Fax. (62) (0341) 564755
<http://www.fk.ub.ac.id> e-mail : sekr.fk@ub.ac.id

SURAT KETERANGAN

Nomor 3 /UN10.F08.08/PP/2020

Yang bertanda tangan dibawah ini,

nama : Dr. Husnul Khotimah, S.Si., M.Kes
NIP : 197511252005012
pangkat dan golongan : Penata Muda, III/a
jabatan : Ketua Badan Penerbitan Jurnal Fakultas Kedokteran

dengan ini menerangkan bahwa,

nama : Elsa Larissa Widjani
nim : 186070122011007
program studi : Magister Ilmu Biomedik
judul : Konjugasi Molekul Adhesi Pili Vibrio Cholerae BM 37,8 kDa Dengan Cholerae Toxin B (CTB) Berefek Protektif Terhadap Infeksi Shigella Flexneri
jenis artikel : Tesis
jumlah halaman : 145

berdasarkan pemindaian dengan perangkat lunak Turnitin, Badan Penerbitan Jurnal Fakultas Kedokteran menyatakan bahwa Artikel Ilmiah tersebut diatas memiliki kemiripan 5 %

Demikian surat keterangan ini agar dapat dipergunakan sebagaimana mestinya.

06 JAN 2020



Dr. Husnul Khotimah, S.Si., M.Kes
NIP-19751125 200501 2 001

Lampiran 3. Hasil Uji Statistik Parameter β -defensin**Tests of Normality**

Kolmogorov-Smirnov ^a			
	Statistic	df	Sig.
Hasil	,145	25	,184

a. Lilliefors Significance Correction

Group Statistics

Universitas	Perlakuan	N	Mean	Std. Deviation	Std. Error Mean
Universitas	Kontrol	15	3,92632385	2,072432110	,535099670
Universitas	Vaksinasi	10	5,73176992	1,926672320	,609267284

Independent Samples Test

	Levene's Test for Equality of Variances		t-test for Equality of Means						
	F	Sig.	T	df	Sig. (2- tailed)	Mean Difference	Std. Error Differe nce	95% Confidence Interval of the Difference	
								Lower	Upper
Equal variances assumed	,020	,888	-2,193	23	,039	1,80544607	,82329 4214	3,50855 9911	,102332 230
Equal variances not assumed			-2,227	20,426	,037	1,80544607	,81088 7341	3,49466 6951	,116225 190



Lampiran 4. Hasil Uji Statistik Parameter Massa Usus**One-Sample Kolmogorov-Smirnov Test**

	Hasil_0_menit	Hasil_5_menit	Hasil_15_Menit	Hasil_45_Menit	Hasil_60_Menit
N	25	25	25	25	25
Normal Parameters^{a,b}	12,3488 1,31442	12,6384 1,40675	14,4398 .89852	13,8524 1,45885	13,3192 1,97192
Most Extreme Differences	,125 ,125 ,125	,106 ,059 ,103	,087 ,070 ,087	,091 ,070 ,091	,111 ,111 ,088
Kolmogorov-Smirnov Z	,627 .827	,528 ,943	,433 ,992	,454 ,986	,554 ,918
Asymp. Sig. (2-tailed)					

a. Test distribution is Normal.

b. Calculated from data.

Test of Homogeneity of Variances

	Levene Statistic	df1	df2	Sig.
Hasil_0_menit	1,501	4	20	,240
Hasil_5_menit	1,034	4	20	,414
Hasil_15_Menit	1,051	4	20	,406
Hasil_45_Menit	,731	4	20	,581
Hasil_60_Menit	,410	4	20	,799

ANOVA

		Sum of Squares	df	Mean Square	F	Sig.
	Between Groups	31,091	4	7,773	14,986	,000
Hasil_0_menit	Within Groups	10,374	20	,519		
	Total	41,465	24			
	Between Groups	31,608	4	7,902	9,948	,000
Hasil_5_menit	Within Groups	15,886	20	,794		
	Total	47,495	24			
	Between Groups	5,316	4	1,329	1,890	,152
Hasil_15_Menit	Within Groups	14,060	20	,703		
	Total	19,376	24			
	Between Groups	28,948	4	7,237	6,541	,002
Hasil_45_Menit	Within Groups	22,130	20	1,106		
	Total	51,078	24			
	Between Groups	75,154	4	18,789	20,682	,000
Hasil_60_Menit	Within Groups	18,169	20	,908		
	Total	93,323	24			

**Multiple Comparisons**

Uni	Dependent Variable	(I) Perlakuan	(J) Perlakuan	Mean Difference (I-J)	Std. Error	Sig.	95% Confidence Interval	
							Lower Bound	Upper Bound
Uni	Hasil_0_menit	KN	KPS	,89200	,45549	,064	-,0581	1,8421
			KPV	,81600	,45549	,088	-,1341	1,7661
			VVS	3,11000*	,45549	,000	2,1599	4,0601
			VVV	2,25800*	,45549	,000	1,3079	3,2081
		KPS	KN	-,89200	,45549	,064	-1,8421	,0581
			KPV	-,07600	,45549	,869	-1,0261	,8741
			VVS	2,21800*	,45549	,000	1,2679	3,1681
			VVV	1,36600*	,45549	,007	,4159	2,3161
		KPV	KN	-,81600	,45549	,088	-1,7661	,1341
			KPS	,07600	,45549	,869	-,8741	1,0261
			VVS	2,29400*	,45549	,000	1,3439	3,2441
			VVV	1,44200*	,45549	,005	,4919	2,3921
		VVS	KN	-3,11000*	,45549	,000	-4,0601	-2,1599
			KPS	-2,21800*	,45549	,000	-3,1681	-1,2679
			KPV	-2,29400*	,45549	,000	-3,2441	-1,3439
			VVV	-,85200	,45549	,076	-1,8021	,0981
		VVV	KN	-2,25800*	,45549	,000	-3,2081	-1,3079
			KPS	-1,36600*	,45549	,007	-2,3161	-,4159
			KPV	-1,44200*	,45549	,005	-2,3921	-,4919
			VVS	,85200	,45549	,076	-,0981	1,8021
Uni	Hasil_5_menit	KN	KPS	,31400	,56368	,584	-,8618	1,4898
			KPV	,51600	,56368	,371	-,6598	1,6918
			VVS	3,03400*	,56368	,000	1,8582	4,2098
			VVV	1,74400*	,56368	,006	,5682	2,9198
		KPS	KN	-,31400	,56368	,584	-1,4898	,8618
			KPV	,20200	,56368	,724	-,9738	1,3778
			VVS	2,72000*	,56368	,000	1,5442	3,8958
			VVV	1,43000*	,56368	,020	,2542	2,6058
		KPV	KN	-,51600	,56368	,371	-1,6918	,6598
			KPS	-,20200	,56368	,724	-1,3778	,9738
			VVS	2,51800*	,56368	,000	1,3422	3,6938



		VVV	1,22800*	,56368	,041	,0522	2,4038	
		VVS	KN	-3,03400*	,56368	,000	-4,2098	-1,8582
			KPS	-2,72000*	,56368	,000	-3,8958	-1,5442
			KPV	-2,51800*	,56368	,000	-3,6938	-1,3422
			VVV	-1,29000*	,56368	,033	-2,4658	-1,1142
		VVV	KN	-1,74400*	,56368	,006	-2,9198	-,5682
			KPS	-1,43000*	,56368	,020	-2,6058	-,2542
			KPV	-1,22800*	,56368	,041	-2,4038	-,0522
			VVS	1,29000*	,56368	,033	,1142	2,4658
	Hasil_15_Menit	KN	KPS	-1,09600	,53029	,052	-2,2022	,0102
			KPV	-1,28400*	,53029	,025	-2,3902	-,1778
			VVS	-,54600	,53029	,315	-1,6522	,5602
			VVV	-,46800	,53029	,388	-1,5742	,6382
		KPS	KN	1,09600	,53029	,052	-,0102	2,2022
			KPV	-,18800	,53029	,727	-1,2942	,9182
			VVS	,55000	,53029	,312	-,5562	1,6562
			VVV	,62800	,53029	,250	-,4782	1,7342
		KPV	KN	1,28400*	,53029	,025	,1778	2,3902
			KPS	,18800	,53029	,727	-,9182	1,2942
			VVS	,73800	,53029	,179	-,3682	1,8442
			VVV	,81600	,53029	,140	-,2902	1,9222
		VVS	KN	,54600	,53029	,315	-,5602	1,6522
			KPS	-,55000	,53029	,312	-1,6562	,5562
			KPV	-,73800	,53029	,179	-1,8442	,3682
			VVV	,07800	,53029	,885	-1,0282	1,1842
		VVV	KN	,46800	,53029	,388	-,6382	1,5742
			KPS	-,62800	,53029	,250	-1,7342	,4782
			KPV	-,81600	,53029	,140	-1,9222	,2902
			VVS	-,07800	,53029	,885	-1,1842	1,0282
	Hasil_45_Menit	KN	KPS	-1,08800	,66528	,118	-2,4757	,2997
			KPV	-1,49000*	,66528	,037	-2,8777	-,1023
			VVS	1,36600	,66528	,053	-,0217	2,7537
			VVV	,75000	,66528	,273	-,6377	2,1377
		KPS	KN	1,08800	,66528	,118	-,2997	2,4757
			KPV	-,40200	,66528	,552	-1,7897	,9857
			VVS	2,45400*	,66528	,001	1,0663	3,8417
			VVV	1,83800*	,66528	,012	,4503	3,2257
		KPV	KN	1,49000*	,66528	,037	,1023	2,8777
			KPS	,40200	,66528	,552	-,9857	1,7897
			VVS	2,85600*	,66528	,000	1,4683	4,2437

		VVV	2,24000*	,66528	,003	,8523	3,6277	
		VVS	KN	-1,36600	,66528	,053	-2,7537	,0217
			KPS	-2,45400*	,66528	,001	-3,8417	-1,0663
			KPV	-2,85600*	,66528	,000	-4,2437	-1,4683
			VVV	-,61600	,66528	,366	-2,0037	,7717
		VVV	KN	-,75000	,66528	,273	-2,1377	,6377
			KPS	-1,83800*	,66528	,012	-3,2257	-,4503
			KPV	-2,24000*	,66528	,003	-3,6277	-,8523
			VVS	,61600	,66528	,366	-,7717	2,0037
	Hasil_60_Menit	KN	KPS	-1,08000	,60281	,088	-2,3374	,1774
			KPV	-1,48600*	,60281	,023	-2,7434	-,2286
			VVS	3,17600*	,60281	,000	1,9186	4,4334
			VVV	1,59400*	,60281	,016	,3366	2,8514
		KPS	KN	1,08000	,60281	,088	-,1774	2,3374
			KPV	-,40600	,60281	,508	-1,6634	,8514
			VVS	4,25600*	,60281	,000	2,9986	5,5134
			VVV	2,67400*	,60281	,000	1,4166	3,9314
		KPV	KN	1,48600*	,60281	,023	,2286	2,7434
			KPS	,40600	,60281	,508	-,8514	1,6634
			VVS	4,66200*	,60281	,000	3,4046	5,9194
			VVV	3,08000*	,60281	,000	1,8226	4,3374
		VVS	KN	-3,17600*	,60281	,000	-4,4334	-1,9186
			KPS	-4,25600*	,60281	,000	-5,5134	-2,9986
			KPV	-4,66200*	,60281	,000	-5,9194	-3,4046
			VVV	-1,58200*	,60281	,016	-2,8394	-,3246
		VVV	KN	-1,59400*	,60281	,016	-2,8514	-,3366
			KPS	-2,67400*	,60281	,000	-3,9314	-1,4166
			KPV	-3,08000*	,60281	,000	-4,3374	-1,8226
			VVS	1,58200*	,60281	,016	,3246	2,8394

*. The mean difference is significant at the 0.05 level.

**Hasil_0_menit**

Universitas	Perlakuan	N	Subset for alpha = 0.05	
			1	2
Universitas B	VVS	5	10,6540	
Universitas B	VVV	5	11,5060	
Tukey B ^a	KPS	5		12,8720
Universitas B	KPV	5		12,9480
Universitas B	KN	5		13,7640

Means for groups in homogeneous subsets are displayed.

a. Uses Harmonic Mean Sample Size = 5,000.

Hasil_5_menit

Universitas	Perlakuan	N	Subset for alpha = 0.05		
			1	2	3
Universitas B	VVS	5	10,7260		
Universitas B	VVV	5	12,0160	12,0160	
Tukey B ^a	KPV	5		13,2440	13,2440
Universitas B	KPS	5		13,4460	13,4460
Universitas B	KN	5			13,7600

Means for groups in homogeneous subsets are displayed.

a. Uses Harmonic Mean Sample Size = 5,000.

Hasil_15_Menit

Universitas	Perlakuan	N	Subset for alpha = 0.05	
			1	2
Universitas B	KN	5	13,7600	
Universitas B	VVV	5	14,2280	
Tukey B ^a	VVS	5	14,3060	
Universitas B	KPS	5	14,8560	
Universitas B	KPV	5	15,0440	

Means for groups in homogeneous subsets are displayed.

a. Uses Harmonic Mean Sample Size = 5,000.

**Hasil_45_Menit**

Universitas	Perlakuan	N	Subset for alpha = 0.05	
			1	2
Universitas B	VVS	5	12,3940	
Universitas B	VVV	5	13,0100	
Tukey B ^a	KN	5	13,7600	13,7600
Universitas B	KPS	5		14,8480
Universitas B	KPV	5		15,2500

Means for groups in homogeneous subsets are displayed.

a. Uses Harmonic Mean Sample Size = 5,000.

Hasil_60_Menit

Universitas	Perlakuan	N	Subset for alpha = 0.05		
			1	2	3
Universitas B	VVS	5	10,5840		
Universitas B	VVV	5		12,1660	
Tukey B ^a	KN	5			13,7600
Universitas B	KPS	5			14,8400
Universitas B	KPV	5			15,2460

Means for groups in homogeneous subsets are displayed.

a. Uses Harmonic Mean Sample Size = 5,000.

Tests of Within-Subjects Effects

Measure: MEASURE_1

Source		Type III Sum of Squares	df	Mean Square	F	Sig.	Partial Eta Squared
Hasil	Sphericity Assumed	73,574	4	18,394	25,550	,000	,516
	Greenhouse-Geisser	73,574	2,383	30,881	25,550	,000	,516
	Huynh-Feldt	73,574	2,663	27,630	25,550	,000	,516
	Lower-bound	73,574	1,000	73,574	25,550	,000	,516
	Sphericity Assumed	69,111	96	,720			
	Error(Ha sil)	69,111	57,181	1,209			
	Greenhouse-Geisser	69,111	63,908	1,081			
	Huynh-Feldt	69,111	24,000	2,880			

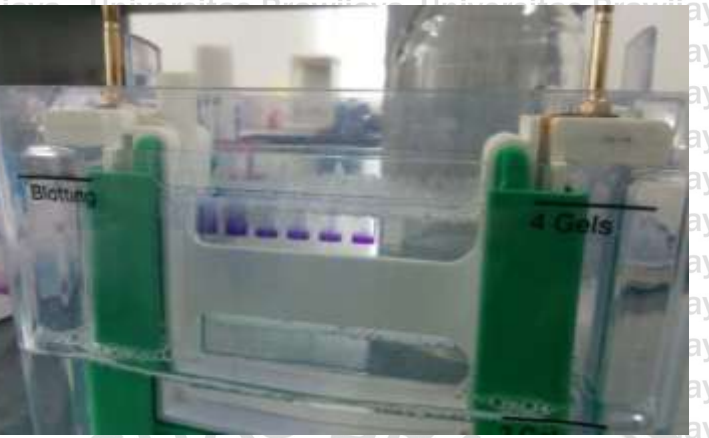
Measure: MEASURE_1

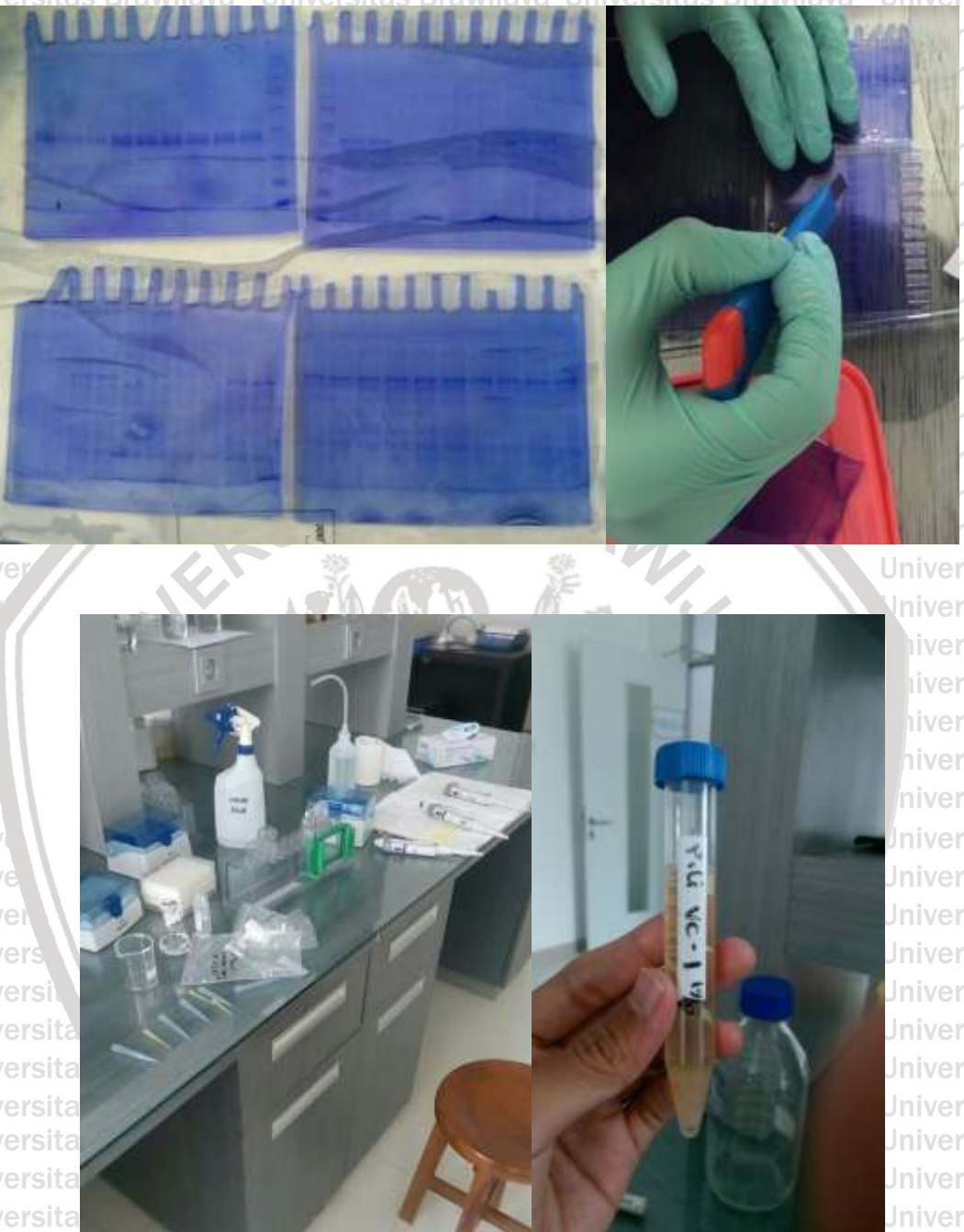
Hasil	Mean	Std. Error	95% Confidence Interval	
			Lower Bound	Upper Bound
1	12,349	,263	11,806	12,891
2	12,638	,281	12,058	13,219
3	14,439	,180	14,068	14,810
4	13,852	,292	13,250	14,455
5	13,319	,394	12,505	14,133

Estimates**Measure: MEASURE_1**

(I) Hasil	(J) Hasil	Mean Difference (I-J)	Std. Error	Sig. ^b	95% Confidence Interval for Difference ^b	
					Lower Bound	Upper Bound
1	2	-,290	,109	,135	-,625	,046
	3	-2,090*	,271	,000	-2,926	-1,254
	4	-1,504*	,230	,000	-2,214	-,793
	5	-,970*	,241	,005	-1,714	-,226
2	1	,290	,109	,135	-,046	,625
	3	-1,800*	,269	,000	-2,631	-,969
	4	-1,214*	,238	,000	-1,949	-,479
	5	-,681	,245	,103	-1,437	,075
3	1	2,090*	,271	,000	1,254	2,926
	2	1,800*	,269	,000	,969	2,631
	4	,586	,213	,112	-,073	1,246
	5	1,120*	,338	,029	,074	2,165
4	1	1,504*	,230	,000	,793	2,214
	2	1,214*	,238	,000	,479	1,949
	3	-,586	,213	,112	-1,246	,073
	5	,533	,177	,060	-,013	1,079
5	1	,970*	,241	,005	,226	1,714
	2	,681	,245	,103	-,075	1,437
	3	-1,120*	,338	,029	-2,165	-,074
	4	-,533	,177	,060	-1,079	,013

Lampiran 5. Dokumentasi







Lampiran 6. Hasil Uji Nanodrop dan rerata kadar beta-defensin

Sampel	Tanggal	Waktu	mg/mL
Vibrio cholerae	9/21/2018	10.47	2,47

Kelompok	Rata-rata (ng/mL) ± SD	Signifikansi (p)
Kontrol	$3,92 \pm 2,07$	0,03
Vaksinasi	$5,73 \pm 1,93$	

**Lampiran 7. Letter of Submission****[IJMM]:Acknowledgment
of Online
Submission:IJMM_19_411**

Inbox



Indian Journal of M... 28/10/2019

to me ▾

If you cannot see this page properly, please [click here](#).

Dear Miss. Widjani,

NOTE: This e-mail is sent to you as one of the contributing authors. If you are not corresponding author, please co-ordinate with the author designated by your group as the corresponding author for this manuscript

A manuscript has been submitted to our journal Indian Journal of Medical Microbiology by Aisyah Amalia titled 'Generating Mucosal and Systemic Immune Response Following Vaccination of Vibrio cholerae Adhesion Molecule against Shigella flexneri Infection'. A copy of the acknowledgment mail is attached here with for your reference.

Thanking you
Editorial Team
Indian Journal of Medical Microbiology



RIWAYAT HIDUP

Elsa Larissa Widyani lahir di Solo, 14 Oktober 1996. Elsa adalah putri

pertama dari Kolonel (Purn.) Yuddy Hartanto, S. IP dan dr. I Made Dewi

Kristiawati, Sp. Rad. Ia menempuh jenjang pendidikan dasar di SDN Blimbing 3

Malang (2003-2009), lalu menempuh jenjang pendidikan menengah di SMPN 3

Malang (2009-2011) yang dilanjutkan di SMAN 5 Malang (2011-2013).

Selanjutnya ia kuliah di Fakultas Kedokteran Universitas Brawijaya Malang yaitu

Program Studi S1 Pendidikan Dokter (2013-2016) dan Profesi Dokter (2017-

2019). Ia juga melanjutkan pendidikan S2 Program Studi Magister Ilmu Biomedik

di Fakultas Kedokteran Universitas Brawijaya.

Malang, 5 Februari 2020